

هیأت تحریریه:

پژوهشگاه مواد و انرژی	دکتر علیرضا آقایی
دانشگاه تبریز	دکتر محمد رضوانی
دانشگاه تربیت مدرس	دکتر رسول صراف ماموری
دانشگاه تربیت مدرس	دکتر پروین علیزاده
شرکت ایرانا	دکتر حسین مولایی
دانشگاه علم و صنعت ایران	دکتر علیرضا میرجیبی
دانشگاه علم و صنعت ایران	دکتر رحیم نقی زاده
دانشگاه تهران	دکتر علی محمد هادیان
شرکت عباس مشهد	دکتر عباس یوسفی

گروه مشاوران:

پژوهشگاه مواد و انرژی	دکتر علی اصغر بهنام قادر
فرآورده‌های دیرگلاز مهر آریان فارس	مهندس نادر خلیلی
مهندسه سیروس روشنفکر فلاخ	مهندسه سیروس روشنفکر فلاخ
انجمن تولید کنندگان کاشی و سرامیک کشور	مهندسه محمد روشنفکر فلاخ
مهندسه میر حسام الدین داعی نیاکی	شرکت گل سرخ گستر آمل
انجمن صنفی کارفرمایی صنعت مواد نسوز	مهندسه علی زاویه
انجمن صنفی صنعت شیشه	مهندسه حسین زجاجی
شرکت آرمیتاژ	مهندسه محمود سالاریه
دانشگاه بین الملل امام خمینی	دکتر ارمان صدقی
دانشگاه ایالتی نیوجرسی	دکتر احمد صفری
صنعت سیمان	مهندسه حسین عزیزیان
شرکت اشکان پارت آفرین	دکتر مهران غفاری
سازمان زمین شناسی کشور	دکتر عباس فاضلی
دانشگاه امیرکبیر	دکتر کارووس فلامکی
شرکت چنی زرین ایران	مهندسه عباسی قصاعی
دانشگاه علم و صنعت ایران	مهندسه حسین قصاعی
پژوهشگاه علوم و فناوری رنگ	دکتر ابراهیم قاسمی
دانشگاه شفیلد انگلستان	دکتر کاظم قنبری
دانشگاه بریتیش کلمبیا	دکتر مهرداد کشمیری
شرکت معدنی و صنعتی سوراوجین عقیق	دکتر علیرضا گنجی
شرکت لایران	دکتر حمیدرضا نعمتی
دانشگاه آزاد	دکتر امیر عباس نوربخش



سال دهم، شماره پنجماه

تابستان ۱۳۹۶

ISSN: ۱۷۳۵-۳۳۵۱

«با درجه علمی ترویجی»

صاحب امتیاز: انجمن سرامیک ایران

مدیر مسئول: دکتر مسعود محبی

سردیبیر: دکتر علیرضا سوری

مدیر اجرایی: سعیده علیشاھی

گردآوری مطالب: محبوبه پیریانی

نشانی: تهران، نارمک، دانشگاه علم و صنعت ایران، دانشکده

مهندسی مواد و متالورژی، دفتر انجمن سرامیک ایران

صندوق پستی: تهران، ۱۱۱-۱۶۸۴۵

تلفن: ۷۷۸۹۹۳۹۹

دورنگار: ۷۷۸۹۹۳۹۹

پست الکترونیکی: info@jicers.ir

نشانی سایت اینترنتی: www.jicers.ir

طراحی، گرافیک و صفحه‌آرایی: تمام طرح ۷۷۲۰۹۲۲۸

اصلاح و خلاصه کردن مطالب با نظر مترجمان و نویسنده‌گان انجام می‌شود. مسئولیت محتوای مقالات به عهده نویسنده‌گان و مترجمان است. مطالب ارسالی برگردانده نمی‌شود.

فهرست مطالب:

تاژه‌ها

خبر انجمن سرامیک ایران

پانزدهمین کنفرانس و نمایشگاه انجمن سرامیک اروپا

اولین نمایشگاه بین‌المللی تکنولوژی سرامیک و چهارمین کنگره سرامیک و چاپ دیجیتال

اولین نمایشگاه بین‌المللی شیشه و صنایع وابسته

اخبار شرکت‌ها

رییس کل سازمان توسعه تجارت ایران گفت کاشی و سرامیک با تخفیف ۸۰ درصدی ...

رونق دوباره هنر سفالگری در وان

برگزاری نخستین همایش بین‌المللی نانوالیاف ایران

عرضه محصولات فناوری نانو در نمایشگاه کاشی و سرامیک

نخستین نمایشگاه بین‌المللی تکنولوژی سرامیک در اصفهان برپا می‌شود

اخبار علمی

دستبند سرامیکی با یو مغناطیسی

نیترید بور

گوی سرامیکی تولید کننده یون منفی

آشنایی با سرامیک‌های پزشکی

رونمایی از خودروی پرشتاب بی ام و

ساخت ماده سرامیکی که تولید هواپیماهای با سرعت ۵ برابر صوت را آسان می‌کند.

ایجاد فرصت طلایی برای توزیع جهانی فناوری نانوسرامیک

تولید آزمایشگاهی فوم‌های آلمینیومی ضربه‌گیر در دانشگاه سمنان

شرکت‌های تولید لبینیات به دنبال تولید محصولاتی با طعم فناوری نانو

همکاری مشترک برای توسعه فناوری چاپ سه بعدی در صنعت فضایی

مقالات مروری

روش‌های پژوهشی و تولید محصولات با ترکیبات لومینسانس در معماری و فضاهای شهری

بررسی تاثیر CaO بر سینترپذیری و خواص نانو کامپوزیت‌های SiC

بررسی عوامل موثر بر خاصیت پوشش‌های فتوکاتالیستی نانو ذره اکسید تیتانیم

مروری بر سنتز مکس فاز Ti_3SiC_2 به روش سینتر بدون فشار

سرامیک اپتیکی ایتریا؛ خواص و کاربردها

اکسیدهای ردلزدن پاپر بر پایه نیکلات لانتانیدها به عنوان کاتد پیل‌های سوختی ...

تاژه‌های نشر

**معرفی پایان نامه های تحصیلات تکمیلی
لیست اعضای حقوقی انجمن سرامیک ایران
تقویم رویدادهای سرامیک**

۹۰

۹۲

۱۰۰

اخبار انجمن سرامیک ایران

پانزدهمین کنفرانس و نمایشگاه انجمن سرامیک اروپا

۱۸ الی ۲۲ تیر ماه ۱۳۹۶

بوداپست، مجارستان

پانزدهمین کنفرانس و نمایشگاه انجمن سرامیک اروپا که در ابتدا قرار بود در کشور ترکیه برگزار شود، به دلیل مسائل امنیتی در کشور مجارستان و در مرکز همایش‌های بوداپست در ۱۸ الی ۲۲ تیرماه با همکاری مشترک انجمن سرامیک ترکیه و انجمن علمی صنایع سیلیکاتی مجارستان برگزار شد.



در این کنفرانس بیش از ۸۰۰ شرکت کننده از ۶۰ کشور مختلف حضور داشتند، که بیشترین شرکت کنندگان مربوط به کشورهای اروپایی بودند. تعداد کل ایرانی‌های حاضر در این کنفرانس ۱۱ نفر از کشورهای ایران و ایرانی‌های مقیم کشورهای دیگر بودند.



از این تعداد ۶ نفر شرکت کننده از ایران بودند که خانم مهندس سلین غربیان، آقای مهندس حسام الدین محمدی و آقای مهندس پویا تراب احمدی به عنوان اعضای انجمن سرامیک ایران در این کنفرانس حضور داشتند. خانم غربیان در بخش مسابقه دانشجویی نماینده انجمن سرامیک ایران بودند که ارائه شفاهی در مورد ماشین‌کاری بدنه‌های نیترید سیلیسیومی به روش EDM را ارائه دادند.



آقایان محمدی و تراب احمدی ارائه‌های شفاهی در دو عنوان مختلف ارائه دادند.



ارائه‌های شفاهی و پوسترها به ۱۲ قسمت تحت عنوانین زیر تقسیم بندی شده بودند:

- پیشرفت‌های اخیر در زمینه فرآوری و سنتز با تأکید بر مواد افزودنی
- فرآیندهای دما بالا و روش‌های سینتر پیشرفت‌هه
- سرامیک‌های ساختاری پیشرفت‌هه
- الکتروسرامیک‌ها و مواد اپتیکی
- کاربرد سرامیک‌ها در تبدیل انرژی‌های جدید، ذخیره و استفاده از آنها
- کاربرد سرامیک‌ها و شیشه‌ها در زمینه پزشکی
- چالش‌ها و فرصت‌ها در صنایع سرامیک
- مدل‌سازی، شبیه‌سازی و آزمون‌های درجا سرامیک‌ها
- سرامیک‌های پایه بور
- میراث فرهنگی
- دیرگذارها
- هنر و سرامیک‌ها

در این همایش دو سخنرانی اصلی ارائه شد، که یکی از آنها توسط رئیس انجمن سرامیک اروپا پروفسور Povel Sajgalik، در مورد نیترید سیلیسیوم به عنوان کاندیدای مناسب برای ایمپلنت کامپوزیتی باپوکتیو بود و دیگری توسط رئیس انجمن سرامیک آمریکا پروفسور Mrityunjay Singh، در مورد سیستم‌های انرژی تجدیدپذیر ارائه شد. در کنار این دو سخنرانی اصلی، ۱۰۰ سخنران مدعو در زمینه‌های مختلف نتایج پژوهش‌های اخیر خود را ارائه کردند. در طول ۵ روز همایش ۳۰۰ ارائه شفاهی در ۶ سالن اصلی و جانبی برگزار شد.



ارائه پوسترها نیز در دو روز آخر همایش انجام شد.
در کنار کنفرانس ۶ گردهمایی جانبی نیز تحت عنوانین زیر برگزار شدند:

- سرامیک‌های پیشرفته برای کاربردهای دندانی
- سیستم‌های تولید هوشمند برای صنایع
- سرامیک‌ها و کامپوزیت‌ها در محیط خورنده هسته‌ای
- مرزهای جدید در تکنیک‌های شناسایی سرامیک‌ها
- انجمن سرامیست‌های جوان
- مسابقه سخنرانی دانشجویی

گردهمایی انجمن سرامیست‌های جوان در روز سوم کنفرانس با حضور رئیس مسابقه دانشجویی پروفسور Louis Winnubst و سردبیر مجله سرامیک اروپا پروفسور Richard Todd در کشتی برگزار شد. هدف از این گردهمایی آشنایی سرامیست‌ها جوان در مورد کارهای پژوهشی یکدیگر و تبادل اطلاعات در مورد امکانات ارائه شده در دانشگاه‌ها و مراکز پژوهشی در محیط دوستانه‌تر بود. در ابتدای گردهمایی توضیحاتی در مورد فعالیت‌های این انجمن توسط نماینده آنها از بلژیک ارائه شد. سپس پروفسور وینابست از حضور سرامیست‌ها در گردهمایی تشکر کرد و پروفسور تاد را جهت ارائه سخنرانی دعوت کردند. پروفسور تاد در حین سخنرانی خود راهنمایی‌های کاربردی را جهت نگارش، ارسال و چاپ مقاله ارائه دادند.



در بخش مسابقه دانشجویی ۲۰ کشور مختلف نماینده‌های خود را جهت شرکت در این مسابقه معرفی کرده بودند، که در این مسابقه نماینده کشور اسلوونی با پژوهشی در زمینه لایه‌های نازک سرامیکی برنده اعلام شد.
در بخش نمایشگاهی کنفرانس ۱۴ غرفه به کارخانه‌ها و شرکت‌های فعال در زمینه سرامیک از کشورهای پرتغال، آمریکا، هلند، اتریش، سوئیس، فرانسه، بلژیک و ترکیه اختصاص داده شده بود. در بین تمامی غرفه‌ها حضور تعداد زیادی از شرکت‌های فعال در زمینه چاپ سه بعدی نظیر LITHOZ، ADMATEC و 3D CERAM بسیار چشم‌گیر بود.



انجمن سرامیک اروپا شامل ۲۷ عضو از کشورهای اروپایی و ۳ عضو وابسته از کشورهای آسیایی می‌باشد. قابل ذکر است که انجمن سرامیک ایران از سال ۲۰۱۳ میلادی به عضویت انجمن سرامیک اروپا درآمده است. شرکت کردن در چنین کنفرانس‌های بین‌المللی علاوه بر افزایش دانش، به بدست آوردن تجربه‌های ارزشمند در نتیجه تعاملات علمی و اجتماعی با نماینده‌های سایر کشورها کمک شایسته‌ای می‌کند. نتیجه این تعاملات می‌تواند تأثیر زیادی بر روی پیشرفت علمی و فکری افراد در سطح بین‌المللی داشته باشد. بدیهی است که حضور در این کنفرانس‌ها می‌تواند کمک شایانی در ادامه تحصیل دانشجویان در مقاطع تحصیلات تکمیلی داشته باشد و به دست آوردن چنین تجربه‌هایی برای تمامی دانشجویان تحصیلات تکمیلی ضروری می‌باشد. امیدواریم که با حضور هرچه بیشتر نمایندگان ایران در کنفرانس‌های بین‌المللی اسم ایران بیش از پیش در مجتمع علمی بین‌المللی مطرح شود.

تهیه گزارش توسط: مهندس سلین غربیان

اولین نمایشگاه بین‌المللی تکنولوژی سرامیک و چهارمین کنگره سرامیک و چاپ دیجیتال

۱۵ الی ۱۸ شهریور ۱۳۹۶

محل نمایشگاه بین‌المللی استان اصفهان

اولین نمایشگاه بین‌المللی تکنولوژی سرامیک مربوط به تکنولوژی صنعت کاشی و سرامیک در تاریخ ۱۵ الی ۱۸ شهریور ماه ۱۳۹۶ در محل نمایشگاه بین‌المللی استان اصفهان برگزار شد. با توجه به همزمانی برگزاری این نمایشگاه با چهارمین دوره سرامیک و چاپ دیجیتال و حضور کارشناسان صنعت سرامیک خارجی و داخلی ترکیبی از، ملاقات‌های تجاری در این نمایشگاه و استفاده علمی و صنعتی در این گردهمایی گردید. برگزاری همزمان این گردهمایی با نمایشگاه CeramTech اصفهان باعث شد تا علاوه بر مباحث تکنولوژیکی و علمی ارایه شده در گردهمایی به صورت روزانه، نمایشگاهی نیز برای انجام مبادلات تجاری شرکت‌های تامین کننده ماشین آلات، مواد اولیه، رنگ و لعاب، معادن و شرکت‌های مهندسی فعال در زمینه کاشی و سرامیک و بحث و گفتگو با دست اندکاران صنعت کاشی و سرامیک فراهم گردید.

اصفهان با توجه به جاذبه‌های توریستی، وجود فرودگاه با پرواز بین‌المللی، موقعیت جغرافیایی مرکزی، نزدیکی به کارخانجات کاشی و سرامیک و شرکت‌های تامین کننده تجهیزات و ماشین آلات و همینطور مواد معدنی در منطقه، نزدیکی به منطقه خوش‌صنعتی کاشی و سرامیک از جمله یزد، میبد، اردکان و نایین، وجود امکانات نمایشگاهی مطلوب و ... این منطقه را برای برگزاری نمایشگاه تخصصی در این صنعت مناسب می‌سازد. با توجه به تمہیدات در نظر گرفته از جمله سرویس‌های رایگان رفت و آمد روزانه از منطقه یزد و میبد به اصفهان، خوشبختانه این نمایشگاه با بازدید حرفه‌ای متخصصین و صنعتگران از سراسر کشور مواجه شد.



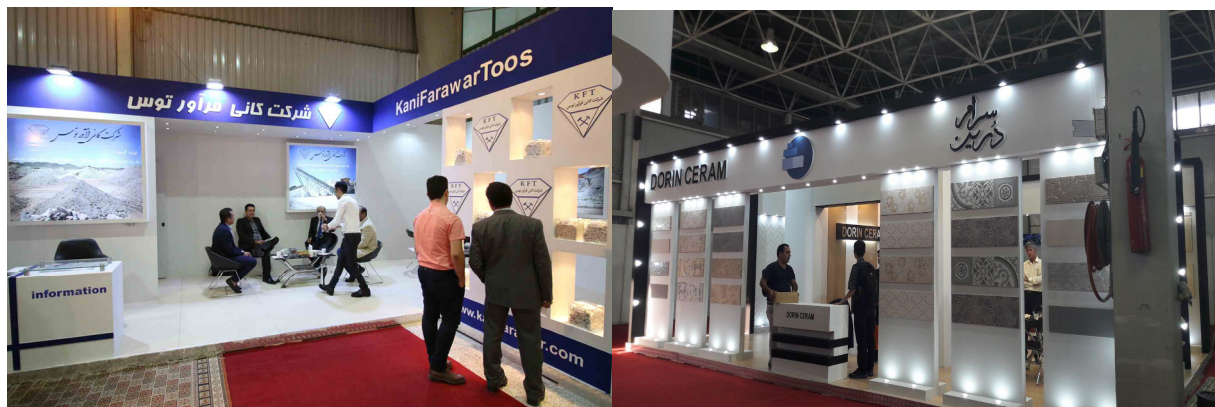
از جمله موضوعاتی که در گردهمایی و نمایشگاه سرامیک اصفهان مطرح شد می‌توان به مواردی از جمله تکنولوژی تولید کاشی‌های سایز بزرگ، کوره‌های تولید کاشی‌های سایز بزرگ، ماشین آلات چاپ دیجیتال، تکنولوژی و خدمات چاپ دیجیتال، جوهرهای چاپ دیجیتال، طراحی چاپ دیجیتال، ماشین الات تولید کاشی و سرامیک، کوره‌ها و پخت، مواد اولیه صنعت کاشی و سرامیک، مواد معدنی صنعت کاشی و سرامیک، رنگ و لعاب، حمل و نقل و بسته‌بندی، خدمات فنی مهندسی، خدمات نصب کاشی، چسب کاشی، قطعات یدکی صنعت کاشی و سرامیک، بازارگانی‌ها و شرکت‌های خدمتی اشاره کرد. در این نمایشگاه، از جمله شرکت‌ها و تولیدکنندگانی که مجوز حضور داشتند می‌توان به موارد زیر اشاره کرد:

- شرکت‌های تولیدکننده ماشین آلات تولید کاشی و سرامیک اعم از کوره، خشک کن، اسپری درایر، بالمیل، ماشین آلات

خط لعاب، سیستم چاپ دیجیتال، پرس، سامانه‌های انتقال مواد و تجهیزات، فرآیند خردایش، سامانه‌های کمکی خط اعم از ماشین آلات سرمایش خط قبل از چاپ دیجیتال و

- شرکت‌های تولیدکننده پخت سوم
- شرکت‌های تولیدکننده ماشین آلات تولید انواع آجر اعم از آجرهای ساختمانی و دیرگذار و همچنین سایر تجهیزات و مواد اولیه مرتبط با آجر و
- شرکت‌های تأمین کننده مواد اولیه و معدنی مرتبط با صنعت کاشی و سرامیک و آجر، معادن و سایر تجهیزات جانبی مرتبط.
- شرکت‌های تأمین کننده رنگ و لعاب، مواد ادیتیو و افودنی‌ها به انگوب و لعاب، جوهر دیجیتال، انواع افکت، رنگدانه، عکس برگردان و ... شرکت‌های خدمات مهندسی و ارائه دهنده مشاوره صنعتی و خدمات به شرکت‌های کاشی و سرامیک.
- ماشین آلات و تجهیزات تولید انواع چینی بهداشتی و همچنین چینی مظروف و شرکت‌های مرتبط با مواد اولیه و تجهیزات موردنیاز تولید این محصولات.
- انجمن‌ها، سندیکاهای فعال و مرتبط با صنعت کاشی و سرامیک، نشریات تخصصی و نهادهای علمی و تخصصی فعال در زمینه کاشی و سرامیک.

شرکت‌های Siti B&T, Sacmi, Tecnoferrari, Xaar, Sicer, Efi Cretaprint, Welko ICF, Kerajet, System Ceramics China Glaze و هم چنین تعداد زیادی از شرکت‌های چینی و ترکیه‌ای هم چون Projecta Engineering Refmak, Modena نیز در این نمایشگاه شرکت داشتند.



در چهارمین دوره سرامیک و چاپ دیجیتال که در چهار روز برگزار شد، محوریت موضوع به چاپ دیجیتال و کاشی‌های سایز بزرگ اختصاص داده شد و تکنولوژی‌های مربوط به تولید این کاشی‌ها و نوآوری‌های صنعت چاپ دیجیتال در اختیار شرکت‌کنندگان قرار گرفت.



انجمن سرامیک ایران نیز در سالن میرداماد مجموعه نمایشگاه‌های اصفهان با ارائه فعالیت‌ها و انتشارات و جذب اعضای جدید، حضوری فعال در این نمایشگاه داشت.





اولین نمایشگاه بین‌المللی شیشه و صنایع وابسته

۱۳۹۶ بهمن ۴

محل دائمی نمایشگاه‌های بین‌المللی تهران

شیشه به عنوان یکی از صنایع مهم و با اهمیت آن به دلیل وجود صدرصد مواد اولیه این صنعت در داخل کشور به راحتی قابل دسترسی و دستیابی است و از توجیه اقتصادی بالایی برخوردار است. سیلیس، سدیم کربنات، آهک، اکسیدمنیزیم و دولومیت مواد اولیه شیشه هستند که معدن این مواد در ایران وجود دارد و تمامی این مواد با سهولت و قیمت پایین در دسترس است و شاید همین مسئله نخستین و مهم‌ترین مزیت این صنعت به حساب می‌آید.

رسیدن به بازارهای گسترده جهانی، مستلزم حرکت به سوی اقتصاد باز، بکارگیری استراتژی‌های جهش صادراتی و نگاه مدبرانه به نیازها و خواسته‌های مشتریان گوناگون در بازارهای مختلف می‌باشد. توفیق در دستیابی به این هدف، نیازمند حضور پررنگ بخش خصوصی و نیز بخش‌های وابسته به دولتی در بازارهای مختلف می‌باشد. یکی از سکوهای بسیار مهم در معرفی و شناسایی توانایی‌ها و قابلیت‌های فنی و ایندهای تولیدی و خدماتی، نمایشگاه‌ها می‌باشند که بعنوان یک شاخه مهم بازارگانی بین‌الملل مطرح است. شرکت‌ها از طریق شرکت در نمایشگاه‌های بین‌المللی امکانات خود را به تولید کالاهایی اختصاص می‌دهند که نظر خریداران را هرچه بهتر تامین کند. چنین تولیدکنندگانی بجای تاکید روی کالایی خاص معمولاً نوع خدمتی که آن کالا ارائه می‌دهد را مورد توجه قرار می‌دهند. شرکت کنندگان در نمایشگاه بین‌المللی با درک دقیق تهدیدات، رقبا و فرصت‌های موجود و کسب ایده‌های جدید جهت ارضای نیازهای مصرف کنندگان کالاهای خود شناس خود را جهت صادرات هرچه بیشتر افزایش می‌دهند. به همین منظور اولین نمایشگاه بین‌المللی شیشه و صنایع وابسته با حضور بیش از ۴۰ شرکت داخلی و خارجی به مدت ۴ روز از ۱ الی ۴ شهریورماه ۱۳۹۶ در محل دائمی نمایشگاه‌های بین‌المللی تهران برگزار شد.



انجمن سرامیک ایران نیز در سالن ۱۰ با ارائه فعالیت‌ها و انتشارات و انجام مصاحبه‌ها، حضوری فعال در این نمایشگاه داشت. در مدت بازدید از این نمایشگاه، ملاقات‌هایی با چند شرکت داخلی انجام شد که در آنها ضمن معرفی انجمن سرامیک ایران، بر گسترش همکاری‌های آینده به شکل شرکت در سمینارها و نمایشگاه‌ها تاکید شد.



آقای مهندس امیری مدیر کل صنایع معدنی غیرفلزی وزارت صنعت معدن و تجارت به همراه مهندس روشنفکر ریاست هیئت مدیره انجمن سرامیک ایران نیز ضمن بازدید از نمایشگاه، با حضور در غرفه انجمن، در مورد فعالیت‌های انجمن نظراتی را ارایه نمودند.



در این نمایشگاه ضمن بازدید از غرفه‌های حاضر در نمایشگاه، با چند تن از مدیران و کارشناسان برخی از این شرکت‌ها از جمله شرکت شیشه لیا، بلور و شیشه کاوه، سپیده جام توس و همچنین مهندس زجاجی دبیر انجمن صنعت شیشه مصحابه‌ای انجام گرفت.





در روز شنبه آخرین روز نمایشگاه، جلسه کمیته تخصصی شیشه انجمن سرامیک ایران با حضور همه اعضاء این کمیته در غرفه انجمن صنفی صنعت شیشه برگزار شد.

در این جلسه مهندس زجاجی ضمن گزارش وضعیت صنعت شیشه و برگزاری اولین نمایشگاه شیشه از فعالیت‌های اتی این گروه صحبت نموده و نحوه برگزاری ششمین گردهمایی صنعت شیشه در محل شیشه رازی در مهر ماه به بحث و بررسی گذاشته شد.

آقای مهندس روشنفر به اهداف اصلی این دوره از هیات مدیره اشاره نمودند که قصد یافتن راهکار مناسب برای نزدیکی هرچه بیشتر صنعت و دانشگاه و رفع مشکلات در میان می‌باشد.

آقای مهندس امیری مدیر کل صنایع معدنی غیرفلزی وزارت صنعت معدن و تجارت نیز در این جلسه حاضر و با شنیدن نظرات اعضاء به ارتباط بیشتر انجمن‌های علمی و وزارت صنعت معدن و تجارت اشاره نمودند.



سپس عکس یادبود توسط اعضای کمیته تخصصی در مقابل غرفه انجمن صنفی گرفته شد.



مصاحبه با جناب آقای مهندس زجاجی، مدیر انجمن صنفی صنعت شیشه



۱- با توجه به اینکه اولین دوره برگزاری نمایشگاه شیشه بود ایا انتظارات برآورده شد؟ همیشه برای اولین نمایشگاه‌ها مخصوصاً نمایشگاه‌های تخصصی نگرانی‌هایی وجود دارد. ما نیز با درنظرگرفتن این موارد یک سطح انتظاری داشتیم. خوشبختانه صنایع به انجمن اعتماد کردند و با اینکه بیشتر آن‌ها در نمایشگاه صنعت ساختمان نیز شرکت کرده بودند با این وجود به احترام و اعتبار انجمن در این نمایشگاه نیز شرکت کردند و نمایشگاه شکل گرفت و بالاتر از سطح انتظار ما ظاهر شد. بنا به تایید

صاحبان صنایع و شرکت کننده‌های داخلی و خارجی از جمله مسئول نماشگاه دوسلدورف، این نمایشگاه از بسیاری از نمایشگاه‌ها در سراسر دنیا از جمله هند، روسیه و ... بهتر بود. البته لازم به ذکر است که مسلمان سقف انتظارات ما در این حد نیست و تنها با توجه به اینکه این دوره برگزاری نمایشگاه شیشه بود می‌توان گفت انتظارات ما را برآورده کرد. همچنین طی مذاکراتی که با مسئولین نمایشگاه دوسلدورف (جزو بزرگ‌ترین نمایشگاه‌های صنعت شیشه) انجام گرفت پیشنهاد دوسالانه برای برگزاری این نمایشگاه مطرح شد و شدیداً استقبال کردند که امور مربوط به بخش خارجی این نمایشگاه با برنده آن‌ها انجام گیرد. به هر حال لازم است تمامی امکانات در این زمینه بررسی شده و تصمیم‌گیری نهایی صورت گیرد.

۲- جایگاه صنعت شیشه در ایران از نظر واردات و صادرات را چگونه ارزیابی می‌کنید؟

کشور ما در صنعت شیشه و صنایع معدنی دارای مزیت است چرا که مواد اولیه این صنایع همه داخلی هستند و سوخت و انرژی نیز قابل دسترس است از این رو کاملاً اقتصادی می‌باشند. در کشور ما قیمت تمام شده در شیشه از محل کربنات سدیم و سوخت مصرفی زیر ۲۰٪ است در حالی که این عدد در سایر کشورها مثل ترکیه، چین و اروپا بالای ۴۵٪ است. ما در ایران جمعاً ۲/۲ میلیون تن شیشه تولید می‌کنیم. از این مقدار بیش از ۵۵۰ هزار تن صادر می‌کنیم که از این میزان صادرات، سهم شیشه تخت،

بیشترین مقدار است. به عبارتی ما به طور متوسط حدود ۳۵٪ محصولات را صادر می‌کنیم از این رو می‌توان گفت صنعت شیشه، صنعت بارور و حجیمی است. مشتری‌های ما از بسیاری از کشورها از جمله عراق، هند، ترکیه، آسیای میانه و اروپا هستند اما مشکل اصلی این است که ما هرچه بازاریابی می‌کنیم دولتها به علت محدودیت‌های موجود نمی‌توانند همکاری کنند. ما در ایران محدودیتی برای صادرات نداریم و حتی می‌توانیم به صورت کوتاه مدت (اگر مشکلات برداشته شوند) صادرات را تا سقف ۱ میلیون تن نیز بالا ببریم از این رو می‌توان گفت صنعت شیشه در کشور ما درون افزا و برون گراست.

۳- نقش انجمن‌های علمی در ارتقا جایگاه صنعت شیشه در کشور چیست؟

ما اخیرا با انجمن سرمایک ایران شروع به همکاری کردایم زیرا اعتقاد داریم که لازم است بین دانشگاه و صنعت یک پل رتباطی وجود داشته باشد زیرا همیشه از هم جدا بوده و هر دو نیز مقصرونده. زمانی که گروه شیشه تشکیل شد اعضای هیئت مدیره ترکیبی از افراد صنعتی و دانشگاهی بودند. این افراد در گردهمایی‌هایی که برگزار شد با دیدگاه‌های یکدیگر آشنا شده و ابعاد مختلفی از صنعت و دانشگاه را به یکدیگر معرفی نمودند. صنعت بایستی به دانشگاه اعتماد کرده و مشکلات و پژوهش‌های صنعتی را با دانشگاه مطرح کند. هدف گروه صنعت شیشه نیز این است که جلوی هدر رفتن پژوهش‌های کاربردی در زمینه شیشه را بگیرد. با این فعالیت‌ها می‌توان ارزش صادرات و محصولات را ۲ برابر کرد.

صاحبہ با سرکار خانم بیتا مزرعه، سپرست بازاریابی گروه صنعتی شیشه کاوه

۱- جایگاه صنعت شیشه در ایران از نظر واردات و صادرات را چگونه ارزیابی می‌کنید؟



ایران در زمینه تولید و صادرات شیشه یکی از استراتژیک‌ترین کشورها محسوب می‌شود. گروه صنعتی شیشه کاوه به ۳۵٪ کشور شامل کشورهای آسیایی و اروپایی و کل کشورهای CIS - قسمت‌های جنوبی ایران - عراق - هند - ایتالیا - رومانی - آلمان - کانادا - آفریقای جنوبی - آمریکای جنوبی و بزریل صادرات دارد. کشور ایران یکی از قطب‌های خاورمیانه در صادرات شیشه است از این

رو می‌توان جایگاه ایران را به صورت بین‌المللی تر بررسی کرد. در بین کشورهای خاورمیانه، شرکت شیشه جام در ترکیه دارای تولید شیشه با حجم عمدۀ بوده و یکی از رقبای ایران محسوب می‌شود. همچنین در کشورهای امارات، هندوستان و پاکستان نیز تولید و صادرات شیشه به میزان قابل توجهی انجام می‌گیرد. از آنجا که مواد اولیه شیشه در خود ایران تهیه می‌شوند ایران در این زمینه واردات زیادی ندارد و تنها موادی که وارد می‌شود pvd برای تولید لمینت و رنگ نقره برای آینه‌ها می‌باشد. سیلیس، دولومیت، فلدسپار و کربنات از جمله مواد اولیه‌ای هستند که در ایران تولید می‌شوند.

۲- نقش انجمن‌های علمی در ارتقا جایگاه صنعت شیشه در کشور چیست؟

از طریق انجمن‌های علمی می‌توان روی تکنولوژی‌های جدید در صنعت شیشه تمرکز کرد. با توجه به اینکه این نمایشگاه، اولین نمایشگاه در زمینه شیشه و صنایع وابسته بود نیاز به بازاریابی و اطلاع رسانی بیشتری داشت که انجمن‌های علمی می‌توانند در این راستا نقش مؤثری داشته باشند.

مصاحبه با جناب آقای مهندس اصغرزاده مدیر عامل مجتمع تولیدی چینی مقصود

۱- جایگاه صنعت شیشه در ایران از نظر واردات و صادرات را چگونه ارزیابی می‌کنید؟



یکی از زیرشاخه‌های صنعت شیشه، شیشه اپال است به طوری که از کل مجموعه شیشه، شیشه اپال تنها درصد کمی را تشکیل داده و در کل کشور تنها ۲ تولیدکننده اپال در حال فعالیت می‌باشند: پارس اپال و سپیده جام تووس. بنابراین با توجه به اینکه ما در شرکت سپیده جام تووس بیشتر در زمینه شیشه و اپال کار می‌کنیم در این مصاحبه به بررسی این بخش از صنعت شیشه می‌پردازیم.

سطح تولید شیشه اپال در کشور بالا بوده و ظرفیت مناسبی دارد طوری که می‌تواند بازارهای داخلی را ساپورت کند. بخشی از واردات اپال از کشورهایی مانند چین و اسپانیا بوده و این موضوع باعث می‌شود سهم ما از بازار اپال تحت الشاعع قرار بگیرد. در صورتی که اگر شرایط به گونه‌ای فراهم شود که دولت هزینه‌های گمرکی سنگینی را برای شیشه‌های اپالی که وارد می‌شوند ایجاد کند، طبیعتاً ما بازار خود را خواهیم داشت و می‌توانیم جایگاه خود را حفظ کنیم. تنوع اپال در کشور ما در سطح بسیار خوبی بوده و با شرکت‌های اروپایی مثل آرکوپال و اپال امارات رقابت دارد. صادرات اپال نیز به کشورهایی مثل روسیه، آسیای میانه، هندوستان، پاکستان، عراق، کشورهای عربی خلیج فارس مثل عمان و امارات و بزریل انجام گرفته و ما در بزریل، هند و روسیه نیز دفتر نمایندگی داریم. بدیهی است که تمایل ما در راستای توسعه صادرات می‌باشد اما رقابت سنگین است. مسلماً ما راغب هستیم که از بازارهای داخلی بیشتر حمایت شده و مردم به سمت خرید محصولات داخلی تشویق شوند چر اکه کیفیت محصولات داخلی ما در این زمینه هم سطح یا حتی فراتر از محصولات اروپایی است. همچنین محصولات ما از نظر خواص در مقایسه با چین، به مراتب بالاتر هستند. این ویژگی‌ها می‌تواند برای خریدار انگیزه خرید ایجاد کند. این محصولات از نظر قیمت نیز با یکدیگر قابل رقابت هستند. در چند سال اخیر نیز تغییرات قیمت چشمگیری در اپال نداشتیم. در نتیجه برای رقابت لازم است افزایش تولید داشته باشیم که این پدیده مستلزم تقویت بازارهای داخلی و قدرت دادن به بازارهای صادراتی و ارتقا بازارهای بین‌المللی می‌باشد.

در مجموع از کل صنعت شیشه، شیشه اپال زیر ۲٪ سهم دارد. این اولین نمایشگاه شیشه است که در آن حضور یافته‌یم. در نمایشگاه لوازم خانگی، حضور عامه مردم برای خرید و سایل خانه بیشتر است. از آنجا که تولیدات ما علاوه بر شیشه اپال، چینی استخوانی و فاشق و چنگال نیز می‌باشد اما در زمینه صنعت شیشه با نگرش دیگری در این نمایشگاه حضور یافته‌یم و بیشتر ارزیابی تکنولوژی مدنظر بود. در این راستا، از مجموعه ما شرکت سپیده جام تووس و همچنین آذین قالب حضور دارند که در اصل قالب‌های صنعت شیشه را می‌سازند و می‌توانیم با شرکت‌هایی که در این زمینه نیاز به کمک دارند همکاری کنیم.

در این چند روز در زمینه بازار در مقایسه با نمایشگاه لوازم خانگی اتفاق ویژه‌ای نداشتیم. تبلیغات و اطلاع‌رسانی برای این نمایشگاه ضعیف بود و نمایشگاه در این فضای هنوز جای نیافتاده است و گرنه می‌توانستیم شاهد حضور پررنگ‌تری از مردم باشیم زیرا عامه مردم وقتی اسم شیشه را می‌شنوند شیشه ساختمان، خودرو و ویترین مغازه‌ها برایشان تداعی می‌شود در حالی که لوازم خانگی بلور و اپال هم شیشه به حساب می‌آید. اپال به خانواده چینی نزدیک تر است تا شیشه و خیلی‌ها نمی‌دانند اپال زیرساخت شیشه است. در نتیجه ما هم چه در زمینه‌های تکنیکی، فرمولاسیون و فرایند تولید با تمام دغدغه‌های صنایع شیشه روبه رو هستیم و در صنعت شیشه در زمینه‌های خدمات آزمایشگاهی، مهندسی مثل کوره و ماشین آلات نیاز به کمک داریم.



۲- نقش انجمن‌های علمی در ارتقا جایگاه صنعت شیشه در کشور چیست؟

انجمان سرامیک لازم است در گروه شیشه فضای بهتری را ایجاد کند. در همایش‌های شیشه اکثراً صنعت شیشه مطرح می‌شود ولی چون سهم ما خیلی جزئی است نادیده گرفته می‌شویم و به دغدغه‌های ما رسیدگی نمی‌شود. لازم است مشکلات صنایع مطرح شده و روی آن‌ها کار شود و بین صنایع و دانشگاه‌ها یک ارتباط موثر ایجاد شود تا بتوانیم در فضای صنعتی از دانشگاه‌ها و محیط‌های علمی نیز بهره ببریم. لازم است در دانشگاه‌ها پژوهش‌های عملیاتی و پژوهشی و برای کارخانه‌ها دوره‌های آموزشی تعریف شود.

همچنین لازم است دوره‌های کارآموزی توسعه داده شود و با کاهش واحدهای تئوری و افزایش واحدهای عملی و بازدید از کارخانه‌ها، برای صنعت دانشجوهای ارزشمندی را پرورش داد لذا این مساله دو الزام دارد: ارتباط با صنعت و ارتباط با وزارت کار.

مصاحبه با جناب آقای معین افشار، مدیر عامل شرکت شیشه لیا

۱- جایگاه صنعت شیشه در ایران از نظر واردات و صادرات را چگونه ارزیابی می‌کنید؟

شیشه یکی از موادی است که تولید آن در ایران سابقه چند هزار ساله دارد اما صنعت شیشه به صورت مدرن دارای شاخه‌های گسترده‌ای می‌باشد و جز الیاف شیشه‌ای که در تولید آن ضعیف هستیم و کمبود تولید داریم در بقیه شاخه‌ها جایگاه خوبی داریم. در صنعت شیشه تخت با روش فلوت کارخانجات زیادی فعالند و ظرفیت تولید بیش از ۲ برابر نیاز کشور است و بخش زیادی از تولیدات داخلی به ۴ قاره صادر می‌شود. در زمینه بطری و ظروف شیشه‌ای و بلورجات مصرفی طرح‌های توسعه زیادی داشتیم. در زمینه ارتقا کیفیت، فعالیت‌های زیادی شده و به صادرات مناسبی رسیدیم. با توجه به مازاد تولید در اکثر شاخه‌ها باید بازارهای صادراتی بیشتری را مدنظر قرار دهیم. واردات شیشه محدود شده است زیرا بخش اعظم انواع شیشه در داخل تولید می‌شود و وزارت صنعت، معدن و تجارت فقط به شیشه‌هایی که در کشور تولید نداریم مجوز واردات می‌دهد و اکثر مصرف کننده‌ها یعنی صنایع پایین دست شیشه تمایل به استفاده از محصولات داخلی را دارند. در واردات علاوه بر مسائل حمل و نقل مثل شکستن شیشه، قیمت تمام شده بیش از خرید داخلی تمام می‌شود.

۳- نقش انجمن‌های علمی در ارتقا جایگاه صنعت شیشه در کشور چیست؟

سه سال پیش گروه تخصصی شیشه به عنوان زیرمجموعه انجمن شکیل شد. گروه تخصصی شیشه چند هدف گذاری کرد:

توسعه دانش تولید شیشه و تبادل تجربیات بین تولیدکننده‌ها و ایجاد ارتباط نزدیک بین شرکت‌های مختلف؛ این هدف با برگزاری گردهمایی‌های دورانی ۵ تا ۶ ماه ۱ بار محقق شد که شروع آن با شرکت شیشه قزوین، کاوه، آسافلوت مراغه، نوری تازه، شرکت شیشه همدان و شرکت شیشه لیا بود. در طی این گردهمایی‌ها، مقلاطی توسط اساتید و اعضای انجمن و کارشناسان صنعت شیشه ارائه شد.

هدف دیگر انجمن، برقراری ارتباط بین دانشگاه و صنعت بوده و مهم‌ترین رسالت آن نیز همین است. در ایران ارتباط منطقی بین صنعت و دانشگاه وجود ندارد و سال‌ها به همین گونه بوده و پیشرفتی حاصل نشده است. در نتیجه از اهداف مهم، برقراری رابطه نزدیک بین دانشگاه و صنایع شیشه و تعریف پروژه‌های مشترک است.

با توجه به اینکه این نمایشگاه اولین نمایشگاه صنعت شیشه بود استقبال خوب بود و عمدۀ تولید کنندۀ‌های شیشه در نمایشگاه حضور داشتند. اما مشکلی که وجود داشت اطلاع‌رسانی ضعیف در مورد نمایشگاه بود. در نتیجه لازم است در اطلاع‌رسانی همکاری بیشتری شود. در این صورت دستاوردها بهتر خواهد بود.

اگر بتوان نمایشگاه‌های خارجی در زمینه صنعت شیشه را خوب برگزار کرد و قادر باشیم نمایندگان‌شان را جذب کنیم، هزینه سفر به خارج برای شرکت در این نمایشگاه‌ها کاهش یافته و ارتباط موثر برقرار می‌شود.

بیست و چهارمین نمایشگاه بین‌المللی کاشی، سرامیک و چینی بهداشتی

بیست و ششمین دوره این نمایشگاه در فضایی به مساحت حدود ۱۸ هزار متر مربع با حضور ۱۸۳ شرکت داخلی و خارجی از بیش از ۳۵ کشور جهان از جمله آلمان، ایتالیا، بلژیک، اسپانیا، انگلستان، آمریکا، بلغارستان و... به مدت ۳ روز از ۹ تیرماه ۱۳۹۶ در محل دائمی نمایشگاه‌های بین‌المللی تهران برگزار شد.

شرکت کنندگان این نمایشگاه عمدتاً در زمینه‌های مریوط به ماشین آلات، مواد اولیه، لعب، فریت، خدمات پس از فروش و تولید کاشی و سرامیک و چینی بهداشتی فعالیت داشتند و تعداد معدودی از صنایع دیرگذار، شرکت‌های بازرگانی و نمایندگان تولید کنندگان اروپایی نیز شرکت کرده بودند.

انجمن سرامیک ایران نیز با ارائه فعالیتها و انتشارات و عضوگیری، حضوری فعال در این نمایشگاه داشت. در مدت بازدید از این نمایشگاه، ملاقات‌هایی با چند شرکت داخلی و خارجی انجام شد که در آنها ضمن معرفی انجمن سرامیک ایران، بر گسترش همکاری‌های آینده به شکل شرکت در سمتارها و نمایشگاه‌ها تاکید شد.



اعضای هیئت مدیره انجمن سرامیک ایران و اعضای حقیقی و حقوقی نیز ضمن بازدید از نمایشگاه، با حضور در غرفه انجمن، در مورد فعالیت‌های انجمن نظراتی را ارایه نمودند.







در این نمایشگاه تعدادی از اعضای حقوقی انجمن سرامیک ایران از جمله شرکت کاشی مرجان، شرکت نوین سرام یزد، شرکت صنعتی و معدنی سوراوجین عقیق، شرکت کاشی درسا سرام مبید، صنایع کاشی و سرامیک الوند، رنگدانه‌های سرامیکی گهرفام، شرکت صنایع خاک چینی ایران، چینی بهداشتی گلسار فارس، شرکت کاشی و سرامیک ستاره مبید، گروه کارخانجات لعب مشهد، درداران سریر، شرکت لعایران، شرکت سرامیکهای صنعتی اردکان، تهییه و تولید خاک نسوز استقلال آباده و شایزاد تجارت پارس شرکت داشتند که مصاحبه‌ای با چند تن از مدیران و کارشناسان برخی از این شرکت‌ها انجام گرفت.









صاحبہ با دبیر انجمن تولیدکنندگان کاشی و سرامیک کشور مهندس محمد روشنفکر



مهندس روشنفکر: یکی از بحث‌هایی که در این روزها بیشتر مورد بحث بوده و مطرح می‌باشد، تبیین اهداف نمایشگاه است تا بتوان به واسطه آن، صورت مسئله و راه حل‌های آن را بهتر مشخص کرد.

ما در حال برگزاری ۱۴امین نمایشگاه بین‌المللی کاشی و سرامیک و چینی بهداشتی هستیم. در نمایشگاه امسال، اقبال عمومی نسبت به سال‌های قبل بد نبود. نزدیک به ۲۰۰ شرکت داخلی و خارجی در این نمایشگاه شرکت کرده و حدود ۱۸۰۰۰ متر فضای سروپوشیده

در اختیار شرکت کنندگان قرار گرفت. بیش از ۳۵ کشور خارجی از جمله آلمان، ایتالیا، بلژیک، اسپانیا، انگلستان، آمریکا، بلغارستان و ... در این نمایشگاه شرکت کردند و اکثرها در زمینه‌های مربوط به ماشین آلات، مواد اولیه، لعاب، فریت، خدمات پس از فروش و تولید کاشی و سرامیک فعالیت داشتند.

تفاوت این نمایشگاه با سال‌های قبل، صادرات محور بودن این نمایشگاه بود که به علت رکود حاکم بر صنعت ساختمان، تولیدکنندگان تصمیم بر ارائه آخرین دستاوردهای مخصوصات خود داشته تا بتوانند طرف‌های تجاری خود از جمله کشورهایی مثل ارمنستان، گرجستان، آذربایجان و مکزیک را جذب کنند.

مهم‌تر از برگزاری نمایشگاه، رفع موانع صادرات برای تولیدکنندگان ایرانی می‌باشد. در نمایشگاه امسال، تولیدکنندگان، چیدمان‌های خود را برآ اساس ذاتیه بازارهای مختلف مثل ارمنستان، عراق و ... انجام داده‌اند. در انجمن‌های صنفی، هدف اصلی، برداشتن موانع موجود بر سر راه صادرات است. در طی صحبت‌هایی که در روز افتتاحیه با جناب آقای مهندس نعمتزاده، وزیر محترم صنعت و تجارت انجام گرفت، قرار بر آن شد که جلسه‌ای برای صادرکنندگان کاشی و سرامیک در محل وزارت‌خانه برگزار شده و چالش‌های موجود به ویژه در زمینه صادرات، مطرح گردد. در امر صادرات، ما در یک میدان مبارزه‌ای هستیم که لازم است هم وزن‌ها با یکدیگر رقابت کنند و اگر این تعادل برقرار نباشد، رقابت ناعادلانه خواهد شد.

این رقابت ناعادلانه چیست؟

سود بانکی بسیار سنگین در صادرات که بر تولیدکنندگان تحمیل می‌شود: در بازارهای هدف، سود بانکی برای رقبا ۱۰٪ است یعنی اگر امروز ۲۰-۲۵٪ سود بانکی به ما تحمیل شود، در بازارهای هدف، رقبا ۳-۴٪ سود بانکی می‌دهند.

حمل و نقل بسیار سنگین که حدود ۲۰-۲۵٪ قیمت تمام شده ما را تشکیل می‌دهد در حالی که در بازار جهانی، این مقدار حدود ۱۰٪ است.

صادرکنندگان از سال ۸۹ تا به امروز هیچ گونه مشوقه‌های صادراتی دریافت نکرده‌اند در حالی که برای آن مصوبه قانونی وجود داشته است.

ما به علت عدم نبودن در سازمان تجارت جهانی، در بازارهای هدف مجبور به پرداخت تعرفه‌های سنگین هستیم لذا لازم است دولتمردان با رایزنی با کشورهای دوست بتوانند بستر را به گونه‌ای فراهم آورند که ما را گرفتار تعرفه‌های سنگین نکنند.

یکی از موانعی که وجود دارد این است که اگر قرار باشد ما با دنیا ارتباط اقتصادی داشته باشیم نیازمند پیش نیازهایی می‌باشد که از جمله آن‌ها می‌توان به داشتن وابسته‌های بازرگانی قوی در بازار هدف اشاره کرد. متأسفانه تعداد وابسته‌های بازرگانی ما در

هیچ یک از بازارهای هدف، بیش از ۲ یا ۳ نفر نیست. این در حالیست که رقباً بین ۵۰ تا ۶۰ واحد نداشتند. به عنوان مثال، بازار روسیه فرصت بسیار مناسبی بود که ما به علت نداشتن مطالعات میدانی و وابسته‌های بازرگانی کافی نتوانستیم از آن استفاده کنیم. توصیه‌ای که برای دولتمردان، وزارت امور خارجه و وزارت صنایع وجود دارد این است که تعداد وابسته‌های بازرگانی را در بازارهای هدف افزایش دهند تا بتوانیم اطلاعات لازم را کسب نماییم.

در نمایشگاه امسال، مسلماً اگر همه اعضای وابسته به انجمن تولیدکنندگان کاشی و سرامیک کشور شرکت می‌کردند وضعیت بهتر بود. دلیل عدم حضور برخی از اعضاء را می‌توان به عدم امکان حضور و یا محدود بودن فضای نمایشگاهی نسبت داد. تعداد زیادی از اعضای انجمن خواهان فضای بیشتری در نمایشگاه بودند. از این رو لازم است بخش خصوصی با کمک دولت، در این زمینه سرمایه گذاری کرده و فضای بیشتر و مناسب‌تری را فراهم آورد.

مصالحه با مهندس مجnoon مدیر عامل سارا کاشی

۱- وضعیت نمایشگاه امسال را چگونه ارزیابی می‌کنید؟

سال قبل، نمایشگاه نبود. امسال از نظر کیفیت نسبت به سال‌های گذشته بهتر بود و شرکت کننده‌ها در بازار فعلی و بازار رقابت حرفی برای گفتن داشتند. از نظر بازدید بد نبود. زمانش خوب نبود یعنی اگر مصادف با تعطیلات بعد از ماه رمضان نبود بهتر بود.

۲- وضعیت فعلی صنعت سرامیک(واردادات و صادرات) چگونه است؟

در صنعت سرامیک، واردات ما را تحت الشاعع قرار نمی‌دهد زیرا در مقایسه با متراژ تولیدی در داخل کشور، خیلی قابل توجه نیست. اما با یک بازار صادرات خوب مواجه نیستیم و نمی‌توانیم صادرات داشته باشیم. به علت کمبود کیفیت کاشی‌های خودمان و ارتباطات سیاسی که با کشورهای مجاور نداریم.

۳- نقش انجمن‌های علمی و صنفی در پیشبرد صنعت سرامیک چیست؟

زمانی که اصلاً رشته تحصیلی سرامیک نداشتیم، اطلاعاتی در مورد کوره‌های پخت سریع که در سال ۱۳۷۰ وارد ایران شد نبود، فرمولاسیون کاشی پخت سریع مشخص نبود، فارغ التحصیلان از این رشته کمک خوبی به خصوص در زمینه ساخت لعاب و فرموله کردن بدنه‌ها و شناخت مواد اولیه به این صنعت کردند زیرا قبل از آن، متخصصین ما تجربی بودند. اوایل، ارتباط بین صنعت و دانشگاه ضعیف بود اما الان که عضو هیئت مدیره انجمن، صنعتگران هستند مثلاً مهندس روشنفسکر، وضعیت خیلی بهتر است. دروس دانشگاهی به تنهایی کاربرد ندارند و باید با تجربه ترکیب شوند. مثلاً در حال حاضر که کارآموزی جز واحدهای درسی است خیلی خوب است چون دانشجویان با محیط کار آشنا می‌شوند و با نکات جدیدی در صنعت آشنا می‌شوند که ترکیب این موارد با هم، یک متخصص خوب را می‌دهد.

در ایران فقط روی تولید کاشی و سرامیک مرکز شدیم اما باید روی تولید مواد اولیه هم انرژی بگذرانیم. معادن را از لحاظ کیفی بالا ببریم. مشکل در مواد اولیه است. مواد اولیه مرغوب نداریم و در معادن عملیات فرایندی انجام نمی‌گیرد. ما اگر می‌خواهیم رقیب کاشی‌های ایتالیایی و اسپانیایی باشیم باید در همه زمینه‌ها باید مثل آن‌ها باشیم تا بتوانیم رقابت کنیم. اگر تاکید فقط روی نوع ماشین آلات و واردات مواد اولیه باشد در رقابت عقب می‌افتیم. زمانی می‌شود رقابت کرد که در همه‌ی مواد و تجهیزات تولید سرامیک کیفیت داشته باشیم.

انتظار دارم انجمن سرامیک میزان اطلاع رسانی در صنایع را بیشتر کند و از صنایع بیشتر دعوت بعمل آوردد. در دانشگاه‌ها مراکزی باشد که بیشتر با صنایع ارتباط داشته باشند که بتوانند مشکلات صنایع را برطرف کنند. نه اینکه فقط خودشان کسب تجربه کند.

مصاحبه با مهندس نعمتی مدیر عامل لعایران

نظر شما راجع به نمایشگاه امسال چیست؟

نمایشگاه امسال خیلی خوب بود. چندین گروه از همکاران که در غرفه حضور داشتند جلسات متعددی برگزار کردند و تقریباً از دقایق ابتدایی نمایشگاه تا دقایق پایانی مشغول مذاکره بودیم. خیلی فرصت نکردم سالن‌های دیگر را سر بزنم. اما کلیت بسیار مفید بود. ما از عدم برگزاری نمایشگاه در سال‌هایی که برگزار نشد صدمه زیادی دیدیم. اصولاً در سال‌هایی که رکود است و شرایط بحران وجود دارد باید تمرکز ما روی مارکتینگ، مدیریت بازاریابی و تبلیغات باشد. حذف هزینه‌های تبلیغات بازاریابی از جمله اشتباہاتی است که در بخش

مدیریت صنعت سرامیک انجام داده‌اند و امید است که دیگر اتفاق تیفتند.

در صنعت سرامیک، جز صنایع محدودی هستیم که وضعیت رقابتی در سطح کشور داریم. کمتر صنعتی هست که ما در آن رتبه جهانی داشته باشیم و در این سطح، وضعیت رقابتی داشته باشد. رکود بازار مسکن باعث شد در سال‌های گذشته مشکلات زیادی داشته باشیم. مدیران، مدیریت بحران را بلد نبودند. خیلی به صنعت سرامیک آسیب زدند. تمام تمرکز صادراتی صنعت کاشی در کشور همسایه عراق و افغانستان بود که با مشکلات پیش آمده این بازار هم از دست رفت. بحث تحریم‌ها هم مشکلات زیادی را برای تامین و بحث صادرات ایجاد کرد. امروز شرایط خیلی مناسبی نداریم و صنعت تحت فشار است. با درایت و تمرکز روی مباحث علمی مدیریتی، این راه حل‌ها

پیش‌بینی شده است. در اروپا شاهد این قضایا نیستیم. بحران وجود دارد اما مدیران صنایع، مدیریت بحران در شرایط رکود را بلدند.

انجمان‌های صنفی دارای شرح وظایف مشخصی هستند از جمله: پیگیری امور صنفی با سازمان‌های خدمات رسان، با بخش‌های دولتی مسؤول، لایه‌هایی که برای قانون گذاری‌ها انجام می‌شود، پیگیری تعریفهای، شرایط خاصی که توسط بانک‌ها و مراکز تامین مالی باید انجام شود، هماهنگی‌هایی که لازم است در مباحث قیمت گذاری و فروش باشد که متسافنه در کشور ما انجام نمی‌شود. در صورتی که ۱۵ سال پیش که نقطه آغاز رشد صنعت سرامیک ترکیه بود، صنایع سرامیک ترکیه یک سالن گذاشته بودند و همه صنایع کاشی و سرامیک و جینی بهداشتی ترکیه به صورت یکجا ارائه شدند. برای همین در حال حاضر در این سطح کار می‌کنند. این‌ها مسیرهای تجربه شده است. انجمان صنفی می‌تواند این تمرکز را ایجاد کند که این امر، همکاری و هماهنگی بین واحدهای تولیدی را می‌طلبد که نیاز به آموزش دارند و سودآوری و منافعشان در کار گروهی است.

انجمان‌های علمی نیز وظایف خود را دارند. من به شخصه در انجمان سرامیک ایران، ۲ دوره نایب رئیس هیئت مدیره و ۱ دوره بازرس بودم. یکی از جاهایی که می‌شود بحث همیشگی مشکل ارتباط صنعت و دانشگاه در کشور در بخش سرامیک را تقویت کرد، انجمان سرامیک ایران است اما متسافنه در طی این مدت، در کنار کارهای خوبی که انجام گرفت، کارهای یکپارچه که نتایج درخشنانی داشته باشد اتفاق نیفتاد. علت، محیط صنعت و دانشگاه و ارتباط ناقص بین این دو می‌باشد. برای حل این مشکل، مدل‌هایی وجود دارد که پیاده سازی آن در حوزه فعالیت‌های انجمان نیست اما در یک مقیاس محدود، این ارتباط در صنعت سرامیک شدنی است. ارتباط انجمان با واحدهای تحقیق و توسعه مراکز تولیدی می‌تواند این ارتباط را به صورت معناداری بهبود بخشد، به شرطی که روی علوم کاربردی، نه صنعتی و پایه‌ای تمرکز شوند.

در راستای این پروژه، مواردی که در شرکت لعایران مطرح شده، می‌تواند برای خروج از بحران، یک case study باشد. هر چقدر هم وضعیت بحرانی باشد، با پیروی از اصول علمی و تلاش زیاد و کار هوشمندانه، قابل مدیریت است. بحث کلیدی، تمرکز بر کیفیت بالا و تمرکز شدن روی روش‌های علمی برای افزایش سطح بهره‌وری می‌باشد. مدیریت هزینه نه صرفه‌جویی در راستای افزایش بهره‌وری و بیش از ۵۰٪ ظرفیت شرکت که این ظرفیت که تا حدود ۱۰۰٪ نیز افزایش خواهد یافت، داشته باشیم. ما در ترکیه برنز ثبت کردیم و در یک ماه و نیم، بیش از ۱۰۰۰ تن محصول به ترکیه صادر کردیم در حالی که می‌دانیم ترکیه در صنعت کاشی و سرامیک از بهترین‌هاست.

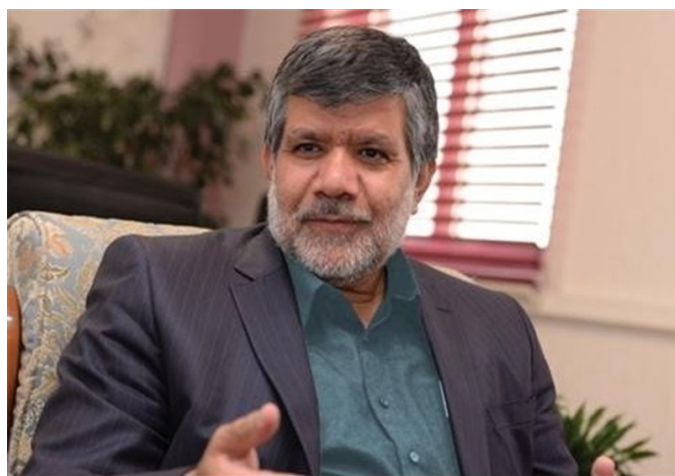


اخبار شرکت‌ها

رییس کل سازمان توسعه تجارت ایران گفت کاشی و سرامیک با تخفیف ۸۰ درصدی به اورآسیا صادر می‌شود.

رییس کل سازمان توسعه تجارت ایران با اشاره به برخی تفاقات ایران با اتحادیه اورآسیایی گفت در صورت نهایی شدن این تفاقات فرش ایران با حقوق گمرکی صفر و کاشی و سرامیک با تخفیف ۸۰ درصدی به اورآسیا صادر می‌شود.

به گزارش خبرگزاری تسنیم، مجتبی خسروتاج قائم مقام وزیر صنعت معدن تجارت و رییس کل سازمان توسعه تجارت ایران، با



حضور در آینین گرامداشت روز صنعت معدن تجارت در استان یزد، با اشاره به بخشی از وظایف حاکمیتی دولت برای بستر سازی توسعه صادرات از تفاقات گسترده با اتحادیه اورآسیا خبر داد.

در این جلسه خسروتاج، با اشاره به عواملی که بعضًا موجبات غیررقابتی شدن کالای ایرانی می‌گردد به موضوع و اهمیت اقتصادی بودن واحدهای صنعتی اشاره کرد و اظهار داشت چنانچه فضای مناسب بین‌المللی در روابط خارجی ایران با دنیا وجود داشته باشد باعث می‌شود که سرمایه گذاری در صنایع تولیدی با نگاه بازار منطقه‌ای و جهانی صورت گیرد و

در نهایت قیمت محصولات پایین و رقبای می‌شود.

وی همچنین خاطرنشان کرد: فضای مناسب بین‌المللی متکی به روابط سیاسی خارجی است که دولت تدبیر و امید با نهایی کردن بر جام قدم خیلی مهمی در این خصوص برداشته است. از سوی دیگر اقدامات، اقتصادی و تجاری است که دستگاه‌ها و تشکل‌های دولتی و خصوصی بایستی پیش قدم شوند.

وی افزود وزارت صنعت، معدن و تجارت مدت‌هاست موافقنامه‌های تجارت آزاد و تجارت ترجیحی را با تعدادی از کشورهای هدف صادراتی از جمله سوریه، لبنان، پاکستان، اندونزی، مالزی، ویتنام، روسیه و قراقستان دنبال می‌کند.

خسروتاج افزود این مذاکرات از حدود ۱۶ ماه پیش با اتحادیه گمرکی اروسیا متشكل از پنج کشور شروع شده است و خوب‌بختانه اخیراً در بخش کالاهای صنعتی تفاقات اویله بعمل آمده است که ظرفیت افزایش و توسعه نیز دارد. براساس این تفاقات چنانچه ایران به کشورهای عضو اروسیا همچون روسیه، قراقستان، قرقیزستان، بیلاروس و ارمنستان صادرات کالا داشته باشد از بخشی از این کالاهای سود بازرگانی صفر و یا با تخفیف‌های ۲۰ تا ۸۰ درصد دریافت می‌شود، البته با امتیازاتی کم و بیش مشابه با محصولات آنها در ایران اقدام خواهد شد.

رییس کل سازمان توسعه تجارت ایران خاطرنشان کرد در مذاکرات دور پنجم در ارمنستان، تا حدود زیادی کالاهای صنعتی مورد تبادل، مشمول این تفاقات شد و برای اقلام کشاورزی نیز مذاکرات ادامه خواهد یافت که به این ترتیب کلیه کف پوش‌های ایرانی از جمله فرش دستباف، ماشینی، گلیم، گبه در صورت صادرات آتی به این کشورها و پس از نهایی شدن تفاقات، حداقل تا اکتبر سال جاری میلادی، مشمول حقوق گمرکی صفر درصد در کشورهای اروسیا می‌شود.

خسروتاج در ادامه به کالاهای ساختمانی همچون انواع کاشی و سرامیک اشاره نمود که بطور میانگین مشمول هشتاد درصد تخفیف در حقوق گمرکی شده‌اند. همچنین وی در پایان تصریح کرد محصولات پایین دستی پتروشیمی، انواع ظروف شیشه‌ای، کابل و لوله و مصنوعات فلزی و سایر کالاهای نیز در سطوح مختلف مشمول کاهش شده‌اند.

منبع: <http://tn.ai/1464798>

رونق دوباره هنر سفالگری در وان



وزارت فرهنگ و گردشگری ترکیه به منظور زنده نگه داشتن هنر پنج هزار ساله سفالگری در استان وان از «پروژه عملی کارگاه سرامیک روستای بارداچی» حمایت می‌کند.

اداره هنرهای زیبای وزارت فرهنگ و گردشگری ترکیه در راستای حمایت از سفالگری و تولید سرامیک در استان وان که پیشینه آن به پادشاهی اورارتو باز می‌گردد، از «پروژه عملی کارگاه سرامیک روستای بارداچی» پشتیبانی به عمل می‌آورد.

این پروژه که توسط مسئولان رشته باستان شناسی دانشگاه یوزونجو ییل وان ترکیه راهاندازی شده است، در قالب برنامه GENÇDES-2017-1 «مورد حمایت این وزارتخانه قرار گرفته و زمینه رونق دوباره این هنر را فراهم خواهد کرد.

رفعت چاووش اوغلو، عضو هیئت علمی رشته باستان شناسی این دانشگاه در همین رابطه اظهار داشت: «هدف از این پروژه آموزش عملی تکنیک‌های سنتی هنر سرامیک به دانشجویان و زنده نگه داشتن سنت‌هایی است که با توسعه تکنولوژی رو به فراموشی گذاشته‌اند».

وی افزود: «این هنر از پنج هزار سال پیش وجود داشته، ما نیز می‌خواهیم سنت سفالگری در روستای بارداچی جانی دوباره یافته و از بین نزود».

منبع: <http://aa.com.tr/fa/>

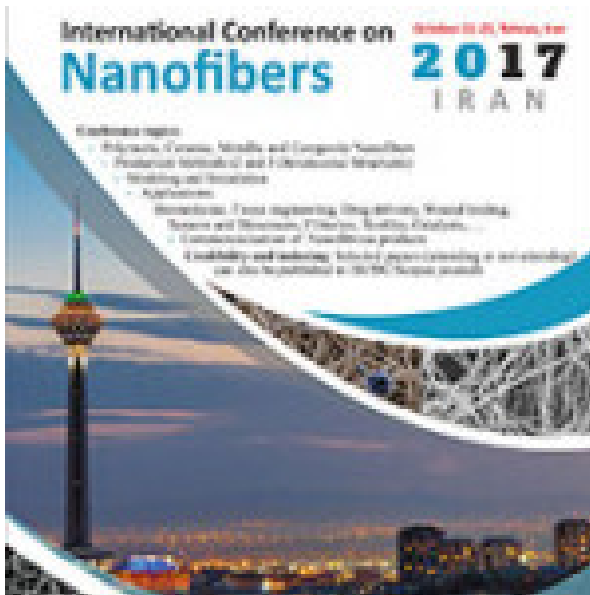
برگزاری نخستین همایش بین‌المللی نانوالیاف ایران

اولین همایش بین‌المللی نانوالیاف ایران (ICNF 2017) به همت انجمن علمی نانوفناوری پزشکی ایران و با مشارکت دانشکده فناوری‌های نوین پزشکی دانشگاه علوم پزشکی تهران در روزهای ۲۹ و ۳۰ مهرماه ۱۳۹۶ در دانشگاه علوم پزشکی تهران برگزار می‌شود.

اولین همایش بین‌المللی نانوالیاف ایران (ICNF 2017) به همت انجمن علمی نانوفناوری پزشکی ایران و با مشارکت دانشکده فناوری‌های نوین پزشکی دانشگاه علوم پزشکی تهران در روزهای ۲۹ و ۳۰ مهرماه ۱۳۹۶ در دانشگاه علوم پزشکی تهران برگزار می‌شود.

این همایش با همکاری فعالان برجسته ایرانی و با حضور شرکت‌کنندگانی از کشورهای مختلف در حوزه نانوالیاف در راستای تبادل اطلاعات و معرفی ایده‌های جدید در دو بخش علمی و تجاری‌سازی با حمایت سازمان‌های مختلف از جمله ستاد ویژه توسعه فناوری نانو، وزارت بهداشت، وزارت نیرو و شرکت‌های تولیدی و صنعتی داخلی و خارجی برگزار خواهد شد. محورهای این همایش عبارتند از:

- نانوالیاف کامپوزیتی، فلزی، سرامیکی و پلیمری



- روش‌های تولید (ساختارهای دوبعدی و سه‌بعدی)
- مدل‌سازی و شبیه‌سازی
- کاربرد: نانوپزشکی، مهندسی بافت، داروسازی، بیوهوسگرها، فیلتراسیون، منسوجات، کاتالیست و غیره
- تجاری‌سازی محصولات نanolify

روز دوم این همایش با هدف تجاری‌سازی نانوالیاف برگزار می‌شود، در این زمینه یک مسابقه علمی برای رفع مشکلات تجاری‌سازی نانوالیاف برگزار شده و شرکت‌کنندگان راهکارهای خود در این حوزه را ارائه خواهند داد. همچنین پنلی با حضور فعالان این حوزه برگزار می‌شود و در آن کاربردهای تجاری‌سازی نانوالیاف و راهکارهای قانونی این موضوع بحث می‌شود. برگزاری نمایشگاهی با حضور شرکت‌های داخلی و خارجی از دیگر برنامه‌های این همایش است. همچنین کارگاه‌های تخصصی در این حوزه در روز بعد از برگزاری همایش برپا خواهد بود.

منبع: www.nano.ir

عرضه محصولات فناوری نانو در نمایشگاه کاشی و سرامیک

محصولات فناوری نانو در حوزه کاشی و سرامیک در بیست و چهارمین نمایشگاه بین‌المللی کاشی و سرامیک و چینی بهداشتی در معرض دید علاقمندان، فعالان و صنعتگران این حوزه قرار گرفت.



با توجه به لزوم توسعه بازار محصولات فناوری نانو و رسوخ بیشتر این فناوری در صنعت کشور و نیز لزوم افزایش بهره‌وری و رقابت‌پذیری محصولات حوزه کاشی و سرامیک در بازارهای داخلی و خارجی با استفاده از فناوری نانو، ۴ محصول از محصولات فناوری نانو در این حوزه در بیست و چهارمین نمایشگاه بین‌المللی کاشی و سرامیک و چینی بهداشتی معرفی و در معرض دید علاقمندان این حوزه قرار گرفت.

محصولات ارائه شده در غرفه فناوری نانو به شرح زیر است:

- ۱- نانوسلیس کلوئیدی
نام شرکت: مهندسی پدیده شمس ایرانیان
خواص:

- افزایش مقاومت سطحی و نفوذناپذیری در مقابل آب
- ایجاد قابلیت راحت تمیزشوندگی در مقابل لک و کثیفی

- ۲- پوشش آب‌گریز کاشی و سرامیک

- نام شرکت: نانوپاد شریف
خواص:

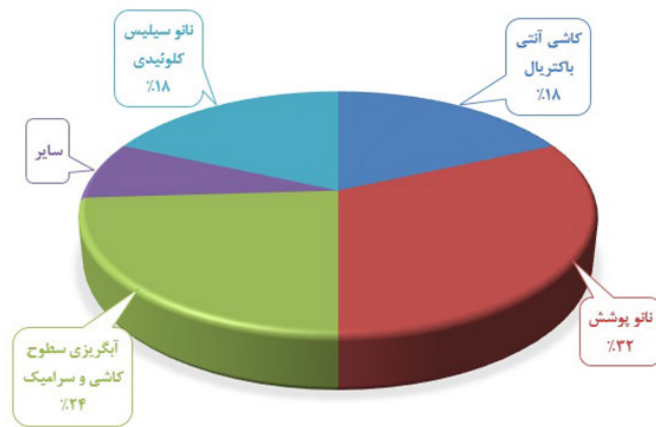
- آب‌گریز شدن سطح سرامیک
- راحت تمیز شدن در صورت کثیف شدن

- ۳- فناوری لعب آتی باکتریال بر روی کاشی و سرامیک

- نام شرکت: نانوپیشستاز پارس
خواص:

- حفظ بهداشت و میکروب‌کشی قوی با عمر دائمی
- مایع رشد باکتری‌ها، ویروس‌ها، قارچ‌ها
- مقاوم در مقابل سایش و خوردگی

- مقاوم در مقابل باکتری‌های گرم مثبت و گرم منفی
- بدون نیاز به مواد شوینده و ضد عفونی کننده
- بدون ایجاد حساسیت و اثرات جانبی
- نظافت و شستشویی آسان با آب



۴- دستگاه پوشش دهنده به روش آرک (Arc PVD)

نام شرکت: شرکت یارنیکان صالح

خواص:

- طیف‌های رنگی متنوع
- ایجاد لایه‌های فلزی و سرامیکی با تنوع بالا
- از نظر جنس لایه مقاومت به سایش بالا
- مقاومت به خوردگی بالا
- سازگاری با محیط زیست
- کاهش هزینه

علاوه بر معرفی این محصولات، شیشه کنترل کننده انرژی هم به صورت دمو در معرض دید بازدیدکنندگان قرار گرفت. روندهای حمایتی ستاد ویژه توسعه فناوری نانو از صنایع جهت به کارگیری این فناوری توسط کارشناسان این ستاد به اطلاع فعالان و صنعت‌گران این حوزه رسید که اهم آن شامل موارد زیر است:

۱- حمایت از تولید محصولات مبتنی بر فناوری نانو

تامین تسهیلات برای ایجاد / توسعه خط تولید، تامین مواد اولیه و خرید تجهیزات نانو (لیزینگ و...)، حمایت از تولید مواد اولیه نانویی و ساخت تجهیزات مورد نیاز صنایع در کشور

۲- حمایت از برنامه‌های صنعت در حوزه تحقیق و توسعه

۳- حمایت از بازاریابی و بازارسازی

در این نمایشگاه جهت آشنایی بیشتر مخاطبین غرفه فناوری نانو با این فناوری و کاربردهای و محصولات داخلی آن در حوزه کاشی و سرامیک، کتابچه محصولات فناوری نانو ساخت ایران در اختیار علاقمندان قرار گرفت.

در حوزه تبادل و انتقال فناوری نیز در این نمایشگاه، ۱۰ فرم تبادل فناوری در غرفه فناوری نانو به ثبت رسید که شرکت یارنیکان صالح بیشترین میزان ثبت تقاضا را به خود اختصاص داده است. توزیع فرم‌های تبادل فناوری در نمایشگاه کاشی و سرامیک به شکل زیر است: (کدام شکل ؟؟؟)

لازم به یادآوری است، بیست و چهارمین نمایشگاه بین‌المللی کاشی و سرامیک و چینی بهداشتی از تاریخ ۹ تا ۱۲ تیرماه ۱۳۹۶ در محل دائمی نمایشگاه‌های بین‌المللی تهران برگزار شد و در آن ۲۱۰ شرکت و واحد تولیدی شامل ۱۷۰ شرکت داخلی و ۴۰ شرکت خارجی از کشورهایی همچون ایتالیا، اسپانیا، چین، سوئیس، بلژیک، جمهوری چک، آلمان، انگلستان، آمریکا، بلغارستان و سوئد به ارائه فعالیت‌ها، محصولات و خدمات خود در حوزه حمل و نقل ریلی پرداختند.

منبع: www.nano.ir

نخستین نمایشگاه بین‌المللی تکنولوژی سرامیک در اصفهان برپا می‌شود

نخستین نمایشگاه بین‌المللی تکنولوژی سرامیک (CeramTech) کشور از ۱۵ تا ۱۸ شهریور ماه همزمان با چهارمین کنگره کاشی، سرامیک و چاپ دیجیتال کشور در شهر اصفهان برگزار می‌شود.

به گزارش خبرگزاری تسنیم از اصفهان، به‌نقل از واحد رسانه شرکت نمایشگاه‌های بین‌المللی استان اصفهان، همزمانی این دو

رویداد و حضور کارشناسان صنعت سرامیک دنیا از جمله اساتید دانشگاه بولونیا، مرکز تحقیقات سرامیک بولونیا و تنی چند از متخصصین حرفه‌ای صنعت کاشی و سرامیک کشور از جمله اساتید انجمن سرامیک ایران، بار علمی و تحقیقاتی این نمایشگاه را قوت داده و بعد تخصصی ویژه‌ای به این نمایشگاه خواهد بخشید.



کنگره کاشی، سرامیک و چاپ دیجیتال کشور در سه دوره گذشته در تهران برگزار شده و امسال برای اولین بار میزبانی خود را به اصفهان سپرده است؛ نخستین میزبانی اصفهان از این رویداد که مهمترین رویداد کشور در صنعت کاشی و سرامیک محسوب می‌شود، و همچنین رایزنی‌های انجام شده برای برگزاری همزمان این رویداد با اولین نمایشگاه تکنولوژی سرامیک کشور در اصفهان، فرصت بسیار قابل توجهی است که پس از ماه‌ها هماهنگی و مذاکره برای شهر اصفهان حاصل شده است. دیگر نکته حائز اهمیت در برگزاری این نمایشگاه

این است که نمایشگاه سرامیک بر تکنولوژی حوزه سرامیک تمرکز داشته و با نمایشگاه کاشی و سرامیک که در سال‌های گذشته در اصفهان برگزار می‌شد، متفاوت است. در واقع در این رویداد، تکنولوژی و مواد اولیه که خوراک اولیه کارخانه‌های کاشی و سرامیک است، عرضه و معرفی می‌شود و نه محصولات آن‌ها.

هدف مهم برپایی این نمایشگاه، انتقال علم، تکنولوژی و فناوری این حوزه است؛ از این رو نمایندگان کشورهای ایتالیا، ترکیه، چین و اسپانیا به عنوان کشورهای مهم و تأثیرگذار این صنعت، در این نمایشگاه حضور مستقیم دارند. همچنین حضور بیش از ۴۰ واحد تولیدی موفق کاشی و سرامیک کشور، این نمایشگاه را به رویدادی اثرگذار تبدیل خواهد کرد که پیش‌بینی می‌شود میزبان تعداد زیادی از متخصصین و صنعتگران سراسر کشور باشد.

با توجه به تعدد برندهای کاشی و سرامیک و کارخانجات مطرح این حوزه در دو استان یزد و اصفهان و همچواری این دو استان، نیاز به برگزاری این نمایشگاه به شدت احساس می‌شود

منبع: <http://tn.ai/1482119>

اخبار علمی



دستبند سرامیکی بایو مغناطیسی

این دستبند سرامیک مغناطیسی می‌تواند تعادل و قدرت بدن را بازیابی و تجدید کند. همچنین باعث کاهش خستگی، تنش عضلانی شده و موجب افزایش انعطاف پذیری، متابولیسم و سه‌زدایی و بهبود گردش خون گردد و به حفظ تناسب اندام کمک کند.

این محصولات سرامیکی در گروه بایومغناطیس‌های سرامیکی قرار دارند که عموماً با تسريع و تنظیم جریان خون به خودترمیمی و سلامتی بدن انسان کمک می‌کنند. یا بهبود گردش خون متابولیسم هم بهبود می‌یابد و در نهایت به تناسب اندام نیز کمک می‌کند.

منبع: <https://t.me/IrCeC>



نیترید بور

نیترید بور با ساختار هگزاگونال و چگالی که به گرافن سفید مشهور است مورد توجه صنایع پیشرفته قرار گرفته است به همین منظور محققان پژوهش‌های متعددی در خصوص سنتز و کاربرد این ماده ارزشمند به انجام رسانده‌اند. نیترید بور هگزاگونال دارای خواص مکانیکی و اپیکی ویژه و مقاومت در برابر اکسایش و همچنین خوردگی می‌باشد.

همچنین این ماده دارای چگالی و ضریب اصطکاک کمی می‌باشد

ساختار مشابه گرافن نیترید بور نیز کاربردهای متعددی در الکترونیک و پزشکی برای این ماده ایجاد کرده است. از سوی دیگر نیترید بور برای ساخت انواع کامپوزیت‌های پایه سرامیکی، فلزی و پلیمری که بمنظور نیل به استحکام‌های بالا و رفتار مکانیکی کنترل شده استفاده شده است. ویژگی‌های ساختاری و موفولوژیکی این ماده پتانسیل بالایی در کاربردهای نانوتکنولوژی از نیترید بور فراهم کرده که از آن جمله در زدودن آرسنیک از آب و همچنین به عنوان ماده جاذب موثر در جذب آلاینده‌های ارگانیک بکار گرفته می‌شود. نیترید بور بدلیل ساختار مشابه گرافیک به عنوان روان‌کننده در کاهش اصطکاک بین قطعات فلزی و سرامیکی بطور چشمگیری استفاده می‌شود و از پودر این ماده برای سایش و پولیش نیز به خوبی بهره گرفته می‌شود.

منبع: <https://t.me/IrCeC>

گوی سرامیکی تولید کننده یون منفی

گوی سرامیکی با بار منفی Negative Ion Ceramic Ball از سنگ‌های طبیعی ساخته شده از طریق فراوری نانوتوری است که می‌تواند به طور مداوم یون‌های منفی تولید کند. این محصول اخیراً به طور گستره‌ای در صنایع، صنایع غذایی، درمان آب، خانه

و محیط زیست تمیز استفاده می‌شود. گوی سرامیکی با بار منفی دارای سطح صاف بدون گرد، غبار یا رسوب به هنگام غوطه‌ور شدن در آب است.

کاربردها

۱- افزودن گوی سرامیکی با بار منفی در آب آشامیدنی، می‌تواند باکتری را بین برده و اکسیژن محلول را افزایش داده و آب را فعال کند. گوی سرامیکی با بار منفی را می‌توان برای گرمکن آب در حمامها استفاده کرد تا آب غنی از اکسیژن را افزایش دهد و غلظت یون‌های منفی هوا را افزایش دهد.

۲- گوی سرامیکی با بار منفی دارای سطح صاف و بدون گرد و غبار است، بنابراین می‌توان آن را برای دکوراسیون اتاق برای تغییر و بهبود کیفیت هوا استفاده کرد و باعث افزایش محتوای یونی در هوا شود. همچنین که بیماری سیستم تنفسی و سردرم کامپیوترا که هر دو مصرف کننده یون منفی موجود در هوا هستند را جلوگیری کند.

۳- گوی سرامیکی با بار منفی را می‌توان در ماشین استفاده کرد، که برای از بین بردن بوی ماشین و تمیزکردن هوا بسیار موثر است. در تولید گوی‌های سرامیکی بار منفی از مواد مختلف سرامیکی طبیعی یا سنتزی استفاده می‌شود.

منبع: <https://t.me/IrCeC>

آشنایی با سرامیک‌های پزشکی

محصولات سرامیک برای مدیریت حرارت مانند آنچه در ذوب و فرآوری فولاد وجود دارد بسیار شهرت دارند. اما یک خانواده جدید از سرامیک‌ها با خواص فوق العاده که دارای خلوص بالا، دوام و دقت تولید هستند گفته می‌شود، که می‌تواند قطعات مثلاً با دقت (بین پیستون و سیلندر) تا ۰.۰۰۰۷۵٪ اینچ تولید کند. از مهمترین گروه این مواد سرامیک‌های مصرفی در پزشکی هستند که عبارتند از: آلومینا (Al_2O_3), زیرکونیا، آلوبینای سخت شده با تیتانیا (ZTA) و همچنین زیرکونیای پایدار شده جزیی با ایتریا هستند.

این مواد نسبت به فولاد ضد زنگ (دانسیته حدود ۴ تا ۶ در مقایسه با ۸) سبکتر هستند. گفته می‌شود که بسیاری از سرامیک‌ها در دستگاه‌های الکترو جراحی به علت قدرت بالا، سختی و قدرت دی الکتریکشان کار می‌کنند. و در کارکردهای دیگر، بدليل اصطکاک کم و ویژگی‌های طولانی مدت اجازه می‌دهد تا آن‌ها بسیار طولانی‌تر از انواع‌های فلزی مشابه کار کنند.



تجهیزات پزشکی پیشرفته حاوی سرامیک‌های پیشرفته

از سوی دیگر مزیت سرامیک بر مواد پلیمری و فلزی مشابه این است که سرامیک‌های جدی، دارای مقاومت بیشتری در برابر حرارت، مقاومت، سختی و قابلیت‌های عایق حرارتی و الکتریکی هستند که می‌توان آنها را در کاربردهای ویژه بکار برد.

مدیر فنی یک شرکت تولید کننده مخصوصات پزشکی می‌گوید تا کنون ما می‌توانیم قطعات سرامیکی با قطر کوچک مثلاً تا ۱۰۰ میکرون تولید کنیم و تلوارس‌های معمول به اندازه ۵/۰٪ بدون نیاز ماشین‌کاری ثانویه بسازیم. هنگامی که تحمل سختی بیشتری لازم است، آنها را می‌توان با سنگ زنی الماس معمولی پا، در برخی موارد، روش‌های غیرمعارف تولید کرد همچنین می‌گوید: یک روش ماشین‌کاری خاص که ما برای مثال آزمایش می‌کنیم، نتایج موثری نشان می‌دهد. او اضافه می‌کند که گروه تحقیقاتی این شرکت ساخت نمونه‌های سرامیکی جدیدی را پیشنهاد می‌دهد که ضمن دارا بودن خواص کارکردی عالی در زمینه‌های پزشکی، منجر به کاهش هزینه‌ها شود همچنین دارای روش تولید ساده و بهبود کیفی عملکرد محصول بوده و در نهایت باعث حل معضلات صنایع پزشکی و درمانی می‌شود.

منبع: <https://t.me/lrCeC>

رونمایی از خودروی پرشتاب بی ام و



بالاخره پس از اخبار و شایعات منتشر شده، شرکت خودروسازی آلمانی بی ام و از جدیدترین مدل خود M، رونمایی کرد.

به گزارش ایسنا، شرکت خودروسازی بی ام و آلمان اعلام کرد که مدل جدید بی ام و M5، یکی از پیشرفته‌ترین و قدرتمندترین خودروهای این شرکت است که در فوریه سال ۲۰۱۸ به فروش خواهد رسید.

از ویژگی‌های این خودرو می‌توان به سیستم تمام چرخ محرک، پیشرانه ۸ سیلندر ۴/۴ لیتری توین‌توربو، با ۶۰۰ اسب بخار قدرت و ۷۵۰ نیوتون‌متر گشتاور، اشاره کرد. در واقع این اولین مدل از سری M است که شاسی بلند نیست ولی سیستم تمام چرخ محرک دارد. سال‌ها است که خودروهای سری M محرک عقب هستند و اکنون این خودروی جدید M ۵ آغازگر این تغییر خواهد بود.

همانظور که می‌دانیم یکی از دلایل وجود سیستم دو دیفرانسیل در سری جدید M، افزایش قدرت و توان موتور خودرو است چرا که به نظر می‌رسد محور عقب به تنها یکی از پس این قدرت بر نیامده و این خودروساز آلمانی به ناچار از این سیستم بهره گرفته است. بی ام و M ۵ با بهره گیری از سیستم تمام چرخ محرک، در ۲/۳ ثانیه به سرعت ۱۰۰ کیلومتر در ساعت رسیده که آن را به سریع‌ترین مخصوص بی ام و تبدیل می‌کند. دارا بودن چنین شتابی واقعاً برای یک خودروی سواری سدان بسیار شگفت‌انگیز بشمار می‌رود.

نکته جالب توجه در این خودرو آن است که می‌توان برای بهره گیری و لذت بردن از سیستم دریفت، سیستم تمام محرک را متوقف کرده و آن را به محور عقب تبدیل کرد. این خودروساز آلمانی این قابلیت را برای رضایت آن دسته از افرادی که عاشق دریفت کشیدن و رانندگی در پیست هستند، قرار داده است.

پدال‌های ترمز این خودرو، مزین به علامت M از نوع سرامیک کریں است. برای اطمینان از اینکه این خودرو وزن سنگینی نداشته باشد، جنس سقف از فیبر کریں است، اما کاپوت و گلگیرهای جلو از جنس آلومینیوم هستند.

این مدل جدید از بی ام و M ۵ جدید می‌تواند به یکی از شگفت‌انگیزترین و پرشتاب ترین مدل‌های بی ام و تبدیل شود که باید تا عرضه آن یعنی فوریه سال ۲۰۱۸ منتظر ماند. قیمت نهایی این خودرو، نامشخص است، اما برآورد می‌شود که بیش از ۱۰۰ هزار دلار قیمت داشته باشد. در هنگام عرضه، ۴۰۰ دستگاه از نسخه اولیه موسوم به First Edition برای فروش جهانی عرضه خواهد شد که البته فقط ۵۰ دستگاه برای فروش آمریکا در نظر گرفته شده است.

منبع: <http://www.isna.ir/new>

ساخت ماده سرامیکی که تولید هواییماهی با سرعت ۵ برابر صوت را آسان می‌کند.



دانشمندان نوع ماده سرامیکی جدیدی ارائه داده‌اند که راه را برای تحقق سفرهای هوایی و فضایی و همچنین ساخت سامانه‌های دفاعی هایپرسونیک هموار خواهد کرد. به گزارش ایسنا، این دستاورده علمی مدت زمان لازم برای سفرهای هوایی از لندن به نیویورک را به دو ساعت کاهش می‌دهد.

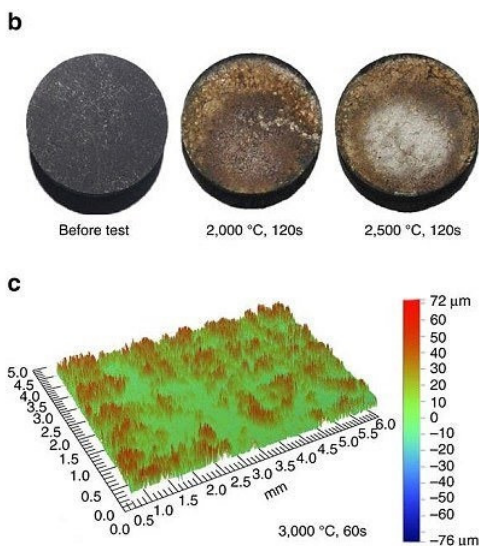
کارشناسان دانشگاه منچستر با همکاری با دانشگاه مرکزی جنوب چین پس از تلاش‌های آزمایشگاهی گسترده و آزمایش ترکیبات مختلف، ماده سرامیکی جدیدی را تولید کردند. پوشش کاربیدی آنها قادر است بهتر از هر ماده دیگری در مقابل دماهای بالا مقاومت کند.

این ماده که ترکیبی از زیرکونیم، تیتانیم، بور و کربن است، می‌تواند دماهای تا ۳ هزار درجه سانتی‌گراد را تحمل کند که حين سرعت بالای حرکت هواییماها تولید می‌شود.

سفرهای هایپرسونیک به معنای حرکت هواییماها با سرعت پنج ماخ به بالاتر است که این میزان دستکم ۵ برابر سریع‌تر از سرعت صوت است.



© Nature Communications / University of Manchester



تعدادی از پروژه‌های هایپرسونیک مسیر هوایی را پیش روی خود ترسیم می‌کنند که هدف آن‌ها رسیدن به لایه‌های فوقانی جو و لبه فضا و در نهایت بازگشت به سمت زمین و رسیدن به مقصد است.

دماهایی که در این سرعت به هواییما موجود در ارتفاع ۱۸ هزار متری اعمال می‌شوند، ممکن است از ۲ هزار تا ۳ هزار درجه سانتی‌گراد باشد. یکی از چالش‌های موجود چگونگی محافظت از اجزای کلیدی مانند موتور احتراق و نوک دماغه‌های هواییما در مقال دماهای بالاست؛ با این حال ماده

جدید می‌تواند از سامانه‌های هوایی در مقابل هر نوع آسیب ناشی از چنین دماهایی محافظت کند.

گرمای تولید شده توسط هوا و گاز موجود در جو می‌تواند تاثیر جدی بر روی سامانه هوایی یا انسجام ساختاری موشک داشته باشد و این مشکلات ساختاری عمدتاً ناشی از فرآیندهای موسوم به اکسیداسیون و فرسایش (ablation) است.

این مشکلات زمانی رخ می‌دهند که هوا و گاز بینهایت داغ لایه‌های سطحی را از مواد متالیک هواییما یا شی در حال حرکت با سرعت بالا حذف می‌کند.

برای مواجهه با این مشکل استفاده از موادی موسوم به "سرامیک‌های دمای فوق‌بالا (UHTCs)" در موتورها و سامانه‌های هایپرسونیکی مانند موشک‌ها، فضاییما و دفاعی لازم است؛ اما در حال حاضر حتی این مواد هم قادر به برآوردن کامل نیازهای هواییماها در چنین سرعت‌ها و دماهای بالایی نیستند و غلبه بر این محدودیتها جهت تحقیق سفرهای هوایی هایپرسونیک با هواییماهی مسافربری حائز اهمیت است.

منبع: <https://damadam.ir/news/>

ایجاد فرصت طلایی برای توزیع جهانی فناوری نانوسرامیک

یک شرکت انگلیسی که دارای فناوری تولید نانوسرامیک است برای گسترش بازار محصولات خود اقدام به عقد توافقنامه‌ای با یک شرکت توزیع کننده ژاپنی کرده است تا با استفاده از شبکه توزیع جهانی این شرکت، بتواند محصولات خود را در سراسر جهان توزیع کند.

کمپریج نانوترم (Cambridge Nanotherm) تولیدکننده فناوری نانوسرامیک برای استفاده در صنعت الکترونیک و LED است. این شرکت اعلام کرد که وارد همکاری مشترک با یک شرکت بزرگ ژاپنی به نام ایناباتا (Inabata) شده است تا از طریق این شرکت فروش و توزیع محصولات خود را انجام دهد. این همکاری مشترک موجب تقویت بخش فروش و توزیع این شرکت انگلیسی می‌شود. براساس این توافقنامه، شرکت ایناباتا حق فروش و توزیع فناوری مدیریت گرمایی شرکت کمپریج نانوترم را در مناطق کلیدی جهان بدست می‌آورد.

کمپریج نانوترم صاحب فناوری مدیریت گرمایی بوده که در حال حاضر محصولاتی برای شرکت‌های مطرح تولیدکننده LED ارائه می‌کند. این شرکت قصد دارد تا از شبکه توزیع جهانی ایناباتا برای فروش محصولات خود استفاده کند و در کنار این موضوع فرصت‌ها و کاربردهای جدیدی برای فناوری خود ایجاد کند.

ایناباتا یکی از شرکت‌های بزرگ توزیع کننده محصولات الکترونیکی در جهان بوده که بیش از ۶۰ دفتر در ۱۹ کشور جهان داشته و در مجموع ۳۵۰۰ نفر را در استخدام خود دارد. بخش الکترونیک و اطلاعات این شرکت هر چیزی از نمایشگر، باتری یون لیتیم و نیمه‌هادی‌های رایج گرفته تا مواد خام را در اختیار شرکت‌ها قرار می‌دهد. بخش فناوری اطلاعات و الکترونیک تقریباً ۳۸ درصد از درآمد این شرکت را در اختیار دارد.

مارک ادواردز، مدیر فروش شرکت کمپریج نانوترم می‌گوید: «ما بسیار خوشحالیم که با شرکت ایناباتا کار می‌کنیم چرا که این همکاری فرصت‌ها و بازارهای جدیدی برای فناوری‌های ما ایجاد می‌کند».

توشیهیرو ماتسو از شرکت ایناباتا می‌گوید: «این همکاری مشترک میان ایناباتا و کمپریج نانوترم دقیقاً چیزی است که این بازار در حال رشد سریع به آن احتیاج دارد. کمپریج نانوترم دارای محصولات منحصر به فردی است که می‌تواند برای شکل‌دهی آینده صنعت الکترونیک به کار گرفته شود. پتانسیل‌های بالایی برای کمپریج نانوترم در بازارهای جهانی وجود دارد و ما به دنبال تحقق این پتانسیل‌ها هستیم».

کمپریج نانوترم دارای فناوری پردازش اکسیداسیون الکتروشیمیایی است که به صورت پتنتی به ثبت رسیده است. این فناوری برای تولید لایه نانوسرامیکی بسیار نازک روی سطح آلومینیوم مورد استفاده قرار می‌گیرد تا در نهایت یک لایه دی‌کتریک با هدایت گرمایی بالا بدست آید.

منبع: www.nano.ir

تولید آزمایشگاهی فوم‌های آلومینیومی ضربه‌گیر در دانشگاه سمنان

محققان دانشگاه سمنان موفق به تولید آزمایشی فوم‌های نانوکامپوزیت آلومینیومی شدند که قابلیت ضربه‌گیری آن‌ها به کمک فناوری نانو بهبود داده شده است. این فوم‌ها در صنایع خودرو و تجهیزات الکترونیکی که در معرض بارهای دینامیکی قرار دارند مورد استفاده قرار می‌گیرند.

بشر مدت‌های طولانی در صدد ایجاد خلل و فرج دلخواه درون مواد فلزی بوده است؛ اما امروزه با پیدایش کاربردهای گسترده در این زمینه، تهیه و تولید این مواد به صورت تخصصی توسط محققان دنبال می‌شود. در دهه‌ی اخیر یک دسته از فلزات سلولی با نام فوم فلزی با

خواص مکانیکی، حرارتی، الکتریکی و صوتی جدید مطرح شده‌اند و جذابیت بسیاری یافته‌اند. فوم فلزی به سبب استحکام، سبکی، خاصیت جاذب انرژی ضربه یا صوت، ضربی انتقال بالا و حتی روغن‌کاری خودکار قطعات کاربرد فراوانی در صنایع پیشرفت‌های دارد. آلومینیم شاید اولین و اصلی‌ترین ماده‌ای باشد که فوم آن ساخته شده است. فوم‌های آلومینیومی امروزه کاربرد

بسیاری در صنایع مختلف از جمله اتومبیل، هواپیما و ... دارد.

دکتر سید مهدی حسینی ضمن اشاره به نقش ساختار سلول‌ها و حفرات در تعیین کارایی و عملکرد فوم نهایی، در رابطه با اهداف دنبال شده در این طرح گفت: «در طرح حاضر با هدف افزایش کارایی فوم‌های آلومینیومی از نانوذرات سیلیسیم کاربید استفاده شده و این نانوذرات به صورت یکنواخت در زمینه‌ی فلزی به کمک یک فرایند مکانیکی-حرارتی پراکنده شده است».

با اعمال نانوذرات سیلیسیم کاربید درون زمینه‌ی فلزی، نسبت استحکام به وزن قطعه‌ی نهایی به طور قابل توجهی افزایش می‌یابد که این موضوع کاهش مصرف فوم و متعاقب آن کاهش هزینه را در پی خواهد داشت.

وی خاطرنشان کرد: «فوم‌های فلزی دارای ساختار سلولی هستند. همان‌طور که پیش‌تر نیز اشاره شد، پارامترهای مربوط به این ساختار سلولی خواص مکانیکی قطعه‌ی نهایی را مستقیماً تحت تأثیر قرار می‌دهند. ماده‌ی اولیه‌ی فوم‌های فوم‌های تولید شده در طرح حاضر به وسیله‌ی فرایند پیوسته نورد و عملیات حرارتی تولید شده‌اند. در حین فرایند تولید فوم، یک سری جوانه حفرات درون قطعه تشکیل می‌شوند که این حفرات منشأ تولید ساختار سلولی نهایی هستند. همچنین میزان استحکام دیواره‌ی سلول‌ها نقش تعیین‌کننده‌ای در خواص مکانیکی نهایی فوم ایفا می‌کند. در این پژوهش تأثیر حضور نانوذرات سیلیسیم کاربید بر ساختار فوم آلومینیومی مورد بررسی قرار گرفته است».

حسینی روند انجام طرح را این‌گونه تشریح کرد: «پس از تولید ماده پیش‌ساخته‌ی فوم از طریق نورد پیوندی و عملیات پیوسته حرارتی، با انجام فرایند فوم‌سازی در کوره پیش گرم، محصول نانوکامپوزیتی تولید شده جهت ارزیابی‌های فیزیکی و مکانیکی تحت آزمون‌های نانوساختی سنجی، سقوط آزاد، فشار استاتیکی و خمس سه‌ نقطه قرار گرفتند. همچنین به منظور ارزیابی قابلیت میرا کردن ارتعاشات دینامیکی از آزمون مودال محیطی استفاده شد. به علاوه، به منظور بررسی ساختار سلولی فوم تولید شده و توزیع نانوذرات سیلیسیم کاربید در زمینه‌ی آلومینیومی میکروسکوپ الکترونی رویشی مورد استفاده قرار گرفت».

حضور و توزیع یکنواخت نانوذرات سرامیکی سیلیسیم کاربید در دیواره‌ی سلول‌ها موجب حذف ترک‌ها در فوم‌های نانوکامپوزیتی نسبت به فوم‌های بدون حضور نانوذرات شده است. این موضوع موجب شده تا خواص فشاری دینامیکی به میزان ۴۸ درصد، انرژی جذب شده به میزان ۳۵ درصد و خواص میراگری ارتعاش به میزان ۷۷ درصد نسبت به فوم ساده‌ی آلومینیومی بهبود یابد. این تحقیقات حاصل تلاش‌های دکتر سید مهدی حسینی-دانش آموخته‌ی مقطع دکترای دانشگاه سمنان و دکتر علی حبیب‌الهزاده-عضو هیأت علمی دانشگاه سمنان است. نتایج این کار در مجله‌ی A Materials Science & Engineering ضریب تأثیر ۰.۹۴/۳ (جلد ۲۰۱۶ سال ۷۶۰، صفحات ۳۴۲ تا ۳۵۰) منتشر شده است.

منبع: www.nano.ir

شرکت‌های تولید لبнیات به دنبال تولید محصولاتی با طعم فناوری نانو



ستاد فناوری نانو در تاریخ هفتم مردادماه میزبان نشستی با هدف معرفی یک سامانه‌ی پرکاربرد در تولید مواد لبni بود. در این نشست که با حضور شرکت‌های مطرح تولید مواد لبni برگزار شد، شرکت دانشبنیان دانش‌پژوهان صنعت نانو به معرفی سامانه‌ی نانوغشاء‌های سرامیکی برای تولید کنسانتره پروتئین‌های آب‌پنیر پرداخت.

شرکت‌های مطرح تولید مواد لبni از جمله مجموعه‌ی صنایع لبni شیر پگاه، صباح، ژال، می‌ماس، اس بی و برنانبن در نشستی با عنوان «معرفی سامانه‌ی تولید کنسانتره پروتئین‌های آب‌پنیر با نانوغشاء‌های سرامیکی» حضور یافتند. در این نشست که در محل ستاد ویژه‌ی توسعه‌ی فناوری نانو و برگزار شد، استفاده از فناوری نانو در تولید محصولات لبni مورد بحث و تبادل نظر قرار گرفت.

دکتر بابالو، مدیر عامل شرکت دانش‌پژوهان صنعت نانو، به معرفی و تشریح نحوه‌ی عملکرد سامانه‌ی تولید کنسانتره پروتئین‌های

آب پنیر با استفاده از نانوغشاء‌های سرامیکی پرداخت. جلسه‌ی پرسش و پاسخ و بازدید از نمایشگاه دائمی محصولات نانویی توسعه‌یافته، از دیگر برنامه‌های این نشست بود.

در حال حاضر بیش از صد شرکت تولید مواد لبندی در کشور در حال فعالیت هستند که سالانه ۴۵۰ هزار تن پنیر تولید می‌کنند. حجم آب پنیر تولیدی توسط این شرکت‌ها به میزان ۲ الی ۳ میلیون تن در سال می‌رسد. این شرکت‌ها عموماً آب پنیر را خشک کرده به پودر تبدیل می‌کنند. تبدیل آب پنیر به پودر از یک سو موجب ضرر اقتصادی است و از سوی دیگر رهاسازی آن در طبیعت به عنوان پساب، آلدگی زیست‌محیطی را در پی دارد. تبدیل این حجم از آب پنیر به کنسانتره پروتئین می‌تواند موجب افزایش قابل توجه ارزش‌افزوده‌ی این محصول لبندی گردد.

شرکت دانش‌پژوهان صنعت نانو، سامانه‌ای مبتنی بر نانوغشاء‌های سرامیک ساخته است که می‌توان با راهاندازی آن در مقیاس نیمه‌صنعتی، روزانه ۱۰۰ لیتر کنسانتره پروتئین آب پنیر تولید کرد.

نکته‌ی قابل توجه، عدم وجود رقیب جدی در این حوزه در سطح کشور است، بنابراین، شرکت دانش‌پژوهان صنعت نانو می‌تواند نقش کلیدی را در هدایت این فناوری بازی کند. این طرح یکی از طرح‌های برگزیده سومین برنامه‌ی نانومج بوده است که هم‌اکنون تا این مرحله از تجاری‌سازی پیش رفته است.

کنسانتره پروتئین آب پنیر یکی از محصولات آب پنیر است که به دلیل دارا بودن خصوصیاتی مانند قابلیت هضم، حلالیت بالا، قابلیت تشکیل ژل و قابلیت زدن و تشکیل کف از ارزش بالای برخوردار است و کاربردهای فراوانی در صنایع مختلف از جمله صنایع تولید محصولات لبندی، صنایع نانوایی و فرآورده‌های گوشتشی دارد. این محصول که از حذف مواد معدنی و لاکتوز از آب پنیر به دست می‌آید، می‌تواند حاوی درصدهای مختلف پروتئین باشد و به صورت محلول یا پودر در دسترس خواهد بود. خواص عمل کنندگی آن در مواد غذایی بسته به میزان پروتئین آن متفاوت خواهد بود.

منبع: www.nano.ir

همکاری مشترک برای توسعه فناوری چاپ سه بعدی در صنعت فضایی



دو شرکت نانودیمنشن و سیمپلاستیکس در قالب پروژه‌ای مشترک اقدام به تولید مواد سرامیکی برای استفاده در چاپگرهای سه بعدی می‌کنند. قرار است از این فناوری برای تولید ساختارهای مورد استفاده در مقاصد فضایی استفاده شود.

شرکت نانودیمنشن (Nano Dimension) با همکاری شرکت سیمپلاستیکس (Semplastics) روی ساخت مواد سرامیکی سه بعدی برای استفاده در فناوری چاپ جوهرافشان کار می‌کنند.

شرکت نانودیمنشن در پروژه اسپیس فلوریدا مشارکت می‌کند؛ پروژه‌ای که در ایالت فلوریدا در حال انجام است. نانودیمنشن اعلام کرد که گرفت ۵۸۵ هزار دلاری را برای مشارکت در این پروژه دریافت کرده است. اسپیس فلوریدا در سال ۲۰۱۳ اعلام کرد که یک برنامه مشترک با

همکاری نانودیمنشن و سیمپلاستیکس و بودجه ۲ میلیون دلار در سال تعریف شده است. نانودیمنشن قرار است در این پروژه مواد سرامیکی سه بعدی به منظور استفاده در فناوری جوهر افshan تولید کند. این نانوذرات سرامیکی با استفاده از چاپگر برای تولید ساختارهای مورد استفاده در صنعت هوا فضا مورد استفاده قرار می‌گیرد. براساس توافق انجام شده، نانودیمنشن به میزان حمایت دریافت شده، از محل فروش این فناوری، به مالکان فکری این فناوری پرداخت خواهد کرد.

این پروژه روی استفاده از مواد سرامیکی شرکت سیمپلاستیکس تمرکز دارد و قرار است از فناوری جوهر افshan سه بعدی منحصر به فرد نانودیمنشن برای ایجاد اجسام سه بعدی سرامیکی برای استفاده در مقاصد فضایی استفاده شود.

گزارش رسمی ارائه شده توسط دولت آمریکا نشان می‌دهد که نانودیمنشن حمایت مالی را برای وارد شدن به یک پروژه دیگر

دربافت خواهد کرد. این پروژه در اختیار شرکت هریس (Harris) است. مقدار این حمایت مالی هنوز مشخص نشده است. نانو دیمنشن روی ساخت چاپگرهای سه بعدی کار می‌کند که بازار ۷۰ میلیون دلاری دارد. امیت درور، مدیر عامل این شرکت، اعلام کرد که ۱۷ میلیون دلار از بخش خصوصی سرمایه دریافت کرده است که می‌تواند سرمایه‌گذاری انجام شده روی این شرکت را به رقم ۴۸/۵ میلیون دلار برساند. نانو دیمنشن سرمایه‌گذاران متعددی دارد که اقدام به تأمین هزینه‌های این شرکت می‌کنند.

منبع: www.nano.ir



مهندس گلشن فرضی،
نویسنده‌ی اول مقاله، دانشگاه
مازندران، بابلسر

Golshan.farz91@gmail.com

روش‌های پژوهشی و تولید محصولات با ترکیبات لومینسانس در معماری و فضاهای شهری

گلشن فرضی^{۱*}، عباسعلی شاهروodi^۲، محمدجواد چایچی^۳

^۱ دانشجوی کارشناسی ارشد فناوری معماری بیونیک، دانشکده هنر و معماری، دانشگاه مازندران،
بابلسر

^۲ استادیار گروه معماری، دانشکده هنر و معماری، دانشگاه مازندران، بابلسر

^۳ استاد گروه شیمی، دانشکده شیمی، دانشگاه مازندران، بابلسر

چکیده: تحقیق و پژوهش بر روی مواد جدید افق‌های جدیدی را بر روی طراحان معمار و سازه قرار می‌دهد. تحقیقات علمی در مورد مواد درخشان دارای سابقه‌ای طولانی به مدت بیش از ۱۰۰ سال است و تحقیق در مورد مواد درخشان و لومینسانس به طور چشمگیری تکامل یافته است. در میزیر پیشرفت روزافزون، روزی‌روز بر قابلیت‌های مصالح افزوده شده و انسان، همواره شاهد معرفی مصالح جدید به عرصه ساخت و ساز بوده است. امروزه با توجه به ذخایر محدود انرژی در جهان ازجمله سوخت‌های فسیلی، دیگر نمی‌توان به منابع موجود متکی بود. یکی از مهم‌ترین مصروف‌کننده سوخت‌های فسیلی در جهان تولید روشناهی است. روشناهی، در طراحی فضاهای و محوطه‌هایی که در شب مورداستفاده قرار می‌گیرند نقش اساسی دارد. از آنجایی که پیش‌بینی و آینده‌نگری همواره موردنیاز مهندسان و پژوهشگران بوده است، یکی از این راهکارها هوشمند سازی و به طور خاص استفاده از مواد و مصالح هوشمند است، لذا این مقاله، به معرفی مواد دارای خاصیت لومینسانس (تابناکی)، نحوی عملکرد آنها و از همه مهتم نحوی به کارگیری آنها در حوزه‌های مختلف که در کشورهای پیشرفت‌هه موردنیاز واقع شده و به مرحله اجرا درآمده‌اند، می‌پردازد. امید آنکه شناخت و استفاده از آنها به صورت عملی در حوزه‌های مختلف، ما را در به کارگیری این نوع مصالح که مهم‌ترین مزیت آن مدیریت هوشمند انرژی است ترغیب نماید.

کلمات کلیدی: لومینسانس، فسفر، فتلومینسانس، معماری، فضاهای شهری.

۱ - مقدمه

ساختمان‌ها و زندگی در آن‌ها در طی دو دهه‌ی اخیر تغییر زیادی کرده است. به استثنای چند مورد جزئی، این تغییر صرفاً مربوط به ساختمان‌های جذاب و انواع خانه‌ها که نشان‌دهنده‌ی عصر ما می‌باشد نیست و شامل تمام تغییرات در تکنولوژی و اتوماسیون ساختمان است. ما در آستانه نسل بعدی ساختمان‌ها قرار داریم. ساختمان‌هایی با مراتب مختلفی از فناوری پرتر که عملکرد آن‌ها به دلیل استفاده خردمندانه از مصالح، تولیدات و محصولات وفق پذیر با محیط‌زیست، قادر هستند در برابر تغییرات زیست‌محیطی به طور مستقیم یا غیرمستقیم واکنش نشان دهند و خود را با شرایط ورق دهند [۱]. مصالح هوشمند مصالحی هستند که دارای قابلیت مبادله انرژی هستند [۲]. مانند مصالح ساطع کننده‌ی نور که مولکول‌های درون آن‌ها با تأثیر انرژی‌هایی مثل نور یا میدان الکتریکی، برانگیخته شده و از خود نور ساطع می‌کنند [۳].

مواد دارای خاصیت فسفرسانس تابه‌حال به طور گستردگی مورداستفاده قرار گرفته‌اند. این‌گونه مواد حتی می‌توانند از انرژی‌های پنهانی که در جهان پیرامون ما وجود دارند و اغلب به آن‌ها توجهی نمی‌کنیم، مانند انرژی‌های گرمایی تابش شده از منابع مختلف، انرژی تابش‌های کیهانی، فرآیندهای شیمیایی وزیستی و غیره به جای سوخت‌ها استفاده کرده و روشناهی تولید کنند. کما اینکه به کارگیری این مصالح با توجه به پتانسیل‌هایی که دارند در برخی کشورها از حد تحقیق و پژوهش فراتر رفته است، پس امروزه شناخت و پی بردن به مشخصه‌های این‌گونه مصالح و کاربرد آن‌ها در دنیای امروزی امری اجتناب‌ناپذیر می‌نماید. لذا هدف این مقاله شناخت این نوع خواص و

ترکیب و نحوه‌ی استفاده از آن‌ها در حوزه‌های مختلف اعم از معماری شامل فضاهای تزئیناتی، پله‌ها، شیشه‌ها، روکش سرامیکی، دکوراسیون داخلی، سطوح دیوار و سایر اشیا بر جسته در داخل و خارج ساختمان، در طراحی فضاهای شهری اعم از پل‌ها، آسفالت جاده‌ها، بتون، المان‌های تزئیناتی شهر، تیرهای برقی علائم راهنمایی و رانندگی است.

۲- لومینسانس چیست؟

واژه‌ی لومینسانس^۱ از ریشه لاتین (lumen = نور) نشأت می‌گیرد. تابناک نخستین بار به عنوان لومینسنس^۲ توسط فیزیکدان و مورخ علمی به نام ایلهارد وایدمن^۳ در سال ۱۸۸۸ برای توصیف تمام پدیده‌های نوری که صرفاً به سبب افزایش دما به وجود نیامده‌اند، معرفی شد [۴,۵].

لومینسانس در لغت به معنای تابناک یا شب‌تابی است. بدین معنی که این سیستم‌ها یا مولکول‌ها می‌توانند تابش الکترومغناطیسی را جذب کرده و به‌وسیله‌ی آن برانگیخته شوند. لومینسانس ریشه‌های عمیقی در اسطوره‌شناسی و باستان‌شناسی دارد. شفق قطبی شمال، نور دریا، حیوانات درخشان (کرم شب‌تاب) و یا سنگ‌های درخشان، رعدوبرق، چوب‌های نورتاب و درخشش چشم، از جمله پدیده‌هایی هستند که نورتاب می‌باشند [۶].

تعریف کنونی لومینسانس عبارت است از انتشار خود به خودی اشعه از گونه‌های الکترونی برانگیخته شده (از یک گونه نوسانی تحریک شده) به دلیل غیر از گرما است [۵,۷,۸].

لومینسانس بر اساس منبع انرژی به کاررفته برای تحریک مولکول لومینسانس کنده انواع متفاوتی دارد که شامل موارد زیر است جدول (۱) [۸].

جدول ۱- انواع لومینسانس و منبع انرژی تحریک آن‌ها [۸].

انواع لومینسانس	انرژی تحریک
فلولومینسانس: فلورسانس، فسفرسانس	جذب نور (فوتون‌ها)، جذب نور مرئی، فرابنفش
بیولومینسانس	انرژی واکنش شیمیایی، توسط ارگانیسم‌های زنده انرژی واکنش شیمیایی
شیمی لومینسانس	
الکترولومینسانس	تولید نور با عبور جریان برق
رادیولومینسانس	تولید نور با ذرات پرانرژی مانند اشعه α و β
تریبیولومینسانس	اصطکاک
ترمولومینسانس	بازترکیب یون فعال شده به شیوه گرمایی
سونولومینسانس	انرژی امواج صوتی

۳- فسفر

اصطلاح فسفر به معنی حامل روشنایی و نور است و از قرون‌وسطی برای نامیدن موادی به کار می‌رفته است که پس از قرار گرفتن در معرض نور، در تاریکی می‌درخشیدند. گزارش‌های بسیاری درباره مواد معدنی درخشانی وجود دارد که معروف‌ترین آن‌ها فسفر بلونیا (سولفید باریم ناچالص) است که توسط یک پینه دوز (وینچنزو کاسکاریو^۴) در ۱۶۰۳، کشف شد. کشف این سنگ اولین شناسایی فسفر غیر آلی بود درواقع سولفات باریم دوپ شده با یون‌های فلزی مانند $Zn(II)$, $Cd(II)$ و $Sn(II)$ است. تولید و کشف عنصر فسفر به همراه کشف مواد معدنی نورافشان در سال ۱۶۶۹ نقاط عطفی در روند طولانی‌مدتی بودند که به درک

^۱ Luminescence

^۲ luminescenz

^۳ Eilhard Wiedemann

^۴ Vincenzo Casciarolo

درستی از پدیده‌های مربوط به انتشار نور منجر شدند [۶]. به عنصر فسفر جداشده توسط برانت در ۱۶۶۹ نیز نام فسفر اختصاص داده شده بود، زیرا زمانی که در معرض هوا، قرار می‌گرفت می‌سوزت و بخارهای درخشانی از آن آزاد می‌شد. تابش نور در این مورد نورتابی شیمیایی بوده و درخشندگی نوری یا فسفرسانس نبود [۵].

فسفرهای نورتاب ماده‌های نورتابی هستند که نور مرئی، فرابنفش و یا امثال این‌ها را جذب می‌کنند و پس از قطع منبع تابش به مدت چند دقیقه تا چند ساعت از خود نور ساطع می‌کنند [۱۱، ۱۲، ۱۳].

تا همین اواخر، شایع‌ترین رنگدانه‌های فسفر نورتاب غیر رادیوакتیو شناخته شده، سولفید روی، کلسیم، استراتیوم و کادمیوم، مثل CaS:Bi (که نور بنفش آبی ساطع می‌کند)، ZnCdS:Cu (نور آبی ساطع می‌کند) و ZnS:Cu (نور سبز ساطع می‌کند) [۱۴]. پالت رنگ پس تاب فسفرسانس، به این چند مورد رنگ محدود می‌شود [۱۳].

فسفر طولانی مدت را می‌توان به دو زیرگروه تقسیم کرد: فسفر سولفوریک با نماد $ZnS: Cu$ و قلیایی خاکی آلومینات فلز فعال با Eu^{2+} : $RO^{a+} (Al_{1-x}Ga_x)_2O_3^{b+} (Y_{1-y} Sc_y)_2O_3^{c+} B_2O_3^{d+} Eu_2^{e+} Mn^+$ (R; Ba, Sr, Ca, Mg, Zn and M; Nb, Zr, Bi, Mn, Sn, La, Ce, Pr, Nd, Sm, Gd, Tb, Dy, Ho, Er, Tm, Yb, Lu).

فسفر با خاصیت نورتابی طولانی مدت و فسفر از نوع رادیوакتیو نباید در یک دسته قرار بگیرند. فسفر از نوع رادیوакتیو می‌تواند اشعه خود را برای سال‌ها ادامه دهد. با این حال، مکانیزم این نوع از مواد درخشان با استفاده از عمل انرژی تابش‌های هسته‌ای به عنوان منبع محرک است. در نتیجه، آن‌ها از مواد درخشان امن و طولانی مدت مجزا هستند [۱۵].

۳-۱- فسفرسانس و فلورسانس

فسفرسانس و پس تاب^۱ واژگانی هستند که برای انتشار نور زمانی که منبع تحریک خاموش است، بکار می‌روند [۵]. فلورسانس تابش نور از ماده‌ای است که نور یا دیگر پرتوهای الکترومغناطیسی را جذب کرده است این تابش، هم‌زمان با پایان تحریک از بین می‌رود درحالی که در فسفرسانس ساطع شدن نور پس از پایان تحریک، ادامه می‌یابد. بعد از مدت‌زمان زیادی که اصطلاح فلورسانس توسط استوکس در اواسط قرن ۱۹ مطرح شد، تمایز بین فلورسانس و فسفرسانس بر پایه مدت‌زمان انتشار پس از پایان تحریک بود (تفاوت آن‌ها در اختلاف‌زمانی بین این در دوام تابش است).

۴- سوالات پژوهش

۴-۱- پژوهش‌های انجام‌یافته پیرامون مواد دارای ترکیبات لومینسانس به چه نتایجی منجر شده است؟

۴-۲- چگونه می‌توان از نتایج پیرامون محصولات لومینسانس در معماری و فضاهای شهری استفاده کرد؟

مواد دارای خاصیت فسفرسانس تابه‌حال به‌طور گسترده مورد استفاده قرار گرفته است. "روش‌هایی برای تولید شیشه‌های مصنوعی نورتاب" توسط اولدلم^۲ در پنجم شماره ۶, ۷۱۲B1 معرفی شده و هدف این ابداع: فراهم کردن روشی برای ترکیب ماده جامد فسفرسانس با ماتریکس شیشه بوده، بدون تأثیر مخرب بر روی فسفرسانس و همچنین تهیه ماده تابناک، شامل ترکیب همگن در ماتریس شیشه که در آن فسفرسانس تحت تابش فعال‌سازی مناسبی قرار دارد [۴].

یکی از اثرات نور را می‌توان در اشیاء شیشه‌ای اورانیومی دید شکل (۱). اشیاء شیشه‌ای اورانیومی از سال ۱۸۳۰ در هنرهای تزئینی استفاده می‌شود. نور روز به شیشه اورانیومی رنگ روشن ویژه‌ای می‌دهد که به علت اثر لومینسانس حاصل از بخش ماوراء بنفش طیف خورشیدی می‌باشد [۹].

¹ After glow
² Odlum



شکل ۱- شیشه‌های اورانیومی (سمت راست) شیشه‌های اورانیومی تحت نور UV (سمت چپ) [۱۰].

فردریش^۱ در پنجمی به شماره ۰۱۵۳۱۱۸A1 در ۲۰۱۳ تحت عنوان "ترکیبات نورتاب و استفاده از آن‌ها" ترکیب فسفرسانسی را معرفی می‌کند که شامل پودر شیشه بدون سرب و رنگ‌دانه فسفرسانس است تا برای تولید رنگ، نقاشی و شیشه‌های هنری مورد استفاده قرار گیرد.

اهداف فراتر این اختراع، رنگ‌آمیزی و نقاشی به شیوه‌ای خاص به صورت پوشش اسپری، در فضای داخلی و همچنین در فضاهای بیرونی که به صورت چسب به ماده می‌جسبد مانند، بت، شیشه، پلاستیک، چوب و آسفالت است [۱۹].

در پنجم دیگری که توسط یامازاکی^۲ و همکاران به شماره ۱,۱۲۳,۸۷۲ ثبت شده، ترکیبات اکسیدی در شیشه با گنجایش پس تاب^۳ طولانی مدت و فتوستیمیولیت لومینسانس^۴ با تحریک پذیری نوری مورد آزمایش قرار گرفت، شیشه حاوی ترکیبات اکسیدشده می‌تواند به عنوان ماده فسفرسانس، برای روشنایی شب یا عالائم دید در شب بکار رود [۱۶].

سان^۵ در پنجمی به شماره A/0035331 به شرح استفاده از پیغمونت‌های سیلیکات، فسفات، بورات و ترکیب آن‌ها با آلومینات (مانند سیلیکات آلومینات، بورات آلومینات، فسفات آلومینات) ماده‌هایی برای شکل دادن به ترکیب فسفرسانس خود تابناک با کاربردهای فراوان می‌پردازد. این ترکیب‌ها انرژی را از نور خورشیدی، نور مصنوعی (مانند لامپ‌ها و LED)، یا لیزرها، دریافت می‌کنند و زمانی که منابع برانگیختگی نور خاموش می‌شود، به مدت چند ساعت تا چند روز، بدون مصرف هیچ‌گونه انرژی الکتریکی، نورهای مرئی بارگاهی متنوعی را که با چشم غیرمسلح دیده می‌شود ساطع می‌کنند. چنین شارژ نوری و فرآیند خود تابناکی می‌تواند بیش از ۱۰۰۰ بار در دمای محیط و اتمسفر تکرار شود [۱۱].

منابع نوری کم‌صرف^۶ مانند لامپ‌های "کم‌صرف" می‌توانند با به کارگیری ترکیبات فسفرسانس بروی سطوح لامپ‌های مصنوعی، زمانی که لامپ‌ها خاموش می‌شوند به مدت طولانی خود تابناکی داشته باشند. زمانی که لامپ روشن می‌شود، آن‌ها انرژی لازم برانگیخته شدن را جذب کرده و دوباره شارژ می‌شوند. به این ترتیب، مصرف برق کمتر می‌شود و از ایجاد آسیب در محیط‌های تاریک جلوگیری می‌شود. همچنین کاغذ و خودکارهای خود تابناک به افراد کمک می‌کنند تا در تاریکی بدون نیاز به لامپ بنویسند شکل (۲) [۱۱].



شکل ۲- محصولات نورتاب بکار رفته در طراحی داخلی، پوشش مسیر پیاده با قطعات شیشه‌ای فسفرسانس و دیگر اجزای لومینسانس [۱].

^۱ Friedrich

^۲ Yamazaki

^۳ After Glow

^۴ Photostimulated Luminescence

^۵ Sun

^۶ Low Level Lighting Source

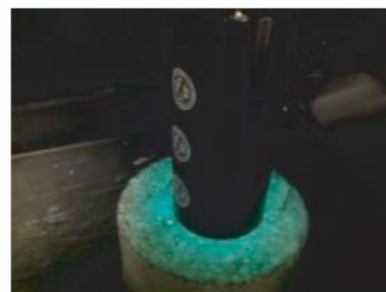
خواص شبتاب اکسیدهای لاتنییدها و شیشه‌های شبتابی که بارزگاهای مختلف تحت نور ماوراءبنفسن، نور منتشر می‌کنند، برای مدت زمان طولانی مورد بررسی قرار گرفته‌اند و در حال حاضر برای استفاده در اشیاء هنری بکار می‌روند. تابش نور با رنگ‌های مختلف تحت تابش اشعه ماوراءبنفسن از حدود طول موج ۳۸۰ نانومتر و ساخت آن با اضافه کردن مواد اولیه برای ساخت شیشه شامل عناصر اروپیم، سریم، تربیم، دیسپروسیوم، تولیوم و اکسیدهای ساماریوم است شکل (۳) [۹].



شکل ۳ - همجوشی شیشه سیلیکات سودا-لایم با اکسیدهای خاکی کمیاب. از چپ به راست: تربیوم، سریوم، تولیوم، دیسپروسیوم، ساماریوم و یوروپیوم [۹].

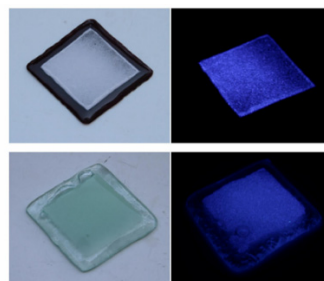
در مقاله دیگری وايس^۱ و همکاران بر روی درزگیر نورتاب برای استفاده بر روی سطوح بتن آزمایش‌هایی را انجام دادند که در آن درزگیر نورتاب شامل امولسیون متیل پلی‌استر و استرنسیوم آلومینات و پودر فسفرسانس است که بعدازاینکه به وسیله نور برانگیخته شد به آرامی نور می‌تاباند. نتایج آزمایش خاکی از آن است که سطح نورتاب به مدت تقریباً ۲۴ ساعت در یک فضای تاریک بعد از برانگیختگی می‌درخشد.

جاده‌ها، مسیرهای پیاده‌روی، اجرای دیوارهای حمال و پایه پل‌ها نشان‌دهنده برخی دیگر از کاربردهای بالقوه سطوح نورتاب می‌باشند (ترکیبات تابنده در تاریکی) با استفاده از بک درزگیر بتن شبتاب، به کاهش مصرف انرژی کمک می‌کند شکل (۴) [۱۷].



شکل ۴ - درزگیر نورتاب بر روی سطوح بتن [۱۷]

رنگ بنفش - آبی رنگ‌دانه‌های فسفرسانس ساطع شده طولانی مدت در ساختار $\text{CaAl}_2\text{O}_4:\text{Eu}^{2+}, \text{Dy}^{3+}, \text{Nd}^{3+}$ به طور موفقیت‌آمیز توسط ال کازاز^۲ و همکاران تولید شده است. یون کمیاب سه‌ظرفیتی، Dy^{3+} به طور مؤثر باعث افزایش شدت لومینسانس می‌شود، رنگ‌دانه نورتاب بنفش - آبی یا رنگ‌دانه نورتاب زرد مایل به سبز شیشه‌ای با ظاهری جذاب، در شکل (۵) نشان داده شده است [۱۸].



شکل ۵ - رنگ‌دانه فسفرسانس بنفش - آبی به کاربرده شده بر روی سطوح شیشه‌ای تخت و حضور آن‌ها در نور روز (چپ) و در تاریکی (سمت راست) [۱۸].

¹ Wiese

² Glow in the Dark

³ Kazazz

سرامیک‌های فتولومینیسنت (درخشان) و شیشه‌های فتولومینیسنت، با افرودن رنگ‌دانه فتولومینیسنت در فرآیند مشترک تولید سرامیک و شیشه توسط یسیلای^۱ و همکاران تولیدشده است شکل (۶). لاعب‌های فتولومینیسنت متشکل از لعاب، رنگ‌دانه فتولومینیسنت و همچنین کمی مواد افزودنی می‌تواند به طور مستقیم برای تولید محصولات نورتاب مورد استفاده قرار گیرد. در مقایسه با سرامیک و شیشه معمول، محصولات می‌تواند در تاریکی پس از جذب نور بدرخشند، این ویژگی سرامیک و شیشه استفاده گسترده‌تر این محصولات را در پی دارد [۱۵]. این گروه همچنین تحقیقات فراوانی از جمله بهبود پارامترهای فرایند در تولید رنگ‌دانه فسفرسانس زرد-سبز [۱۹] استفاده از لعاب فسفر در آجر و کاشی [۲۰] تولید رنگ‌دانه فسفر نورتاب طولانی‌مدت آبی و رنگ آبی مایل به بنفش را انجام داده‌اند [۲۱].

استفاده از سرامیک و شیشه‌های فتولومینیسنس در خانه‌های داخلی و ساختمان‌های عمومی نه تنها می‌تواند باعث تزئین و زیبایی خانه و محیط کار شود، بلکه می‌تواند راحتی بیشتر به ساکنان با درخشش خود در تاریکی را به ارمغان بیاورد. سرامیک و شیشه‌های فتولومینیسنس در یک طول موج نور خاص، می‌تواند از برخی از کپک زدن‌ها و بیماری‌ها جلوگیری کند [۱۵].



شکل ۶- صفحات داخلی فتولومینیسنس [۱۵].

انتشار طول موج آبی رنگ با دوپنت Ce^{3+} توسط آنапورنا^۲ و همکاران بر روی شیشه اپتیک صورت گرفته [۲۲]، در نمونه دیگر هان^۳ و همکاران در پنطی با عنوان روش و ساختار شیشه تابناک در شب، ابداعی جدید را انجام دادند [۲۳].

همچنین در ادامه می‌توان به چند نمونه پنط و مقاله برای مطالعه بیشتر برای آشنایی کامل‌تر با این حوزه از تحقیق اشاره کرد: طیف‌سنجی فلورسانس توسط رومانی^۴ و همکاران انجام گرفته شده است [۲۴]، شیشه با ترکیبات $ZnO-B_2O_3-SiO_2$ دوپنت شده با

Ce^{3+} توسط آنапورنا^۵ و همکاران صورت گرفته و در آن نشر طول موج آبی تحت منبع UV مشاهده شده است [۲۲]. هان^۶ در پنطی با عنوان روش تولید و ساختار شیشه تابناک در شب، ابداعی جدید را انجام داده است، تولید شیشه نورتاب مورد استفاده در فضاهای تفریحی، باغ‌ها، (چرا غاه‌ای ترییناتی نورتاب) شامل روش‌هایی برای تولید شیشه با رنگ‌دانه‌های نورتاب است [۲۳].

قابلیت استفاده از لعاب دارای خاصیت فسفرسانس در دمای پایین و به کارگیری آن بر روی آجر و کاشی‌های سقف و دیگر موارد مورد تحقیق و مطالعه قرار گرفت، این تحقق بر آن است که: آجرهای دارای رنگ قرمز می‌توانند دارای روکش‌های رنگی متفاوت از رنگ‌دانه‌های فسفر پوشانده شوند [۲۰]، تولید رنگ‌دانه سبز-آبی و سبز-زرد و به کارگیری آن در پوشش اپوکسی رزین ترکیب $SrAl_2O_4: Eu^{2+}, Dy^{3+}$ و رزین اپوکسی تولیدشده و بر روی تخته‌های چوبی بکار گرفته می‌شود [۱۹].

این گروه همچنین تحقیقات فراوانی از جمله بهبود پارامترهای فرایند در تولید رنگ‌دانه فسفرسانس زرد-سبز را انجام داده‌اند [۱۹]. کاشی‌های کف فتولومینیسنس: شامل پرکننده معدنی غیر شفاف است، ماده‌های فتولومینیسنس بروی سطوح قرار دارند و می‌تواند نور را جذب و سپس آزاد کنند که توسط نولت^۷ ابداع شده است [۲۵].

پوشش شیشه‌ای فلورسانس در سال ۲۰۰۴ توسط هنرمند لتنر کریستینا^۸ برای نمایشگاه استفاده شد. پوشش، مانند شیشه‌ای مات و متشکل از چند لعاب نازک از رنگ‌دانه‌های فلورسانس سفید متمایل به سبز با چسب، استفاده شد شکل (۷). پانل شیشه‌ای منحصر به فرد، توسط چهار لامپ UV، برای فعل کردن رنگ‌دانه مورد استفاده قرار گرفته شده است [۱].

⁴ Yesilay

² Annapuma

³ Han

⁴ Romani

⁵ Annapurna

⁶ Han

⁷ Nolt

⁸ Christina Leitner



شکل ۷- شیشه فلئورسانس [۱].

۵- نتیجه‌گیری

با عرضه مواد هوشمند، توانمندی‌ها و امکانات نو در اختیار مهندسان و طراحان قرار خواهد گرفت. این مصالح می‌توانند سبب بهبود روش‌های طراحی و ساخت ساختمان‌ها شوند. مواد دارای خاصیت فسفرسانس یا فسفر ذخیره کننده نور تابه‌حال به‌طور گسترده مورد استفاده قرار گرفته است. آن‌ها می‌توانند بعد از اینکه توسط یک منبع نور برانگیخته شدن، زمانی که برانگیختگی متوقف می‌شود تا مدت‌زمان طولانی به ساطع کردن نور از خود ادامه دهند، با به‌کارگیری این نوع مواد در معماری و فضاهای شهری شاهد استفاده از منابع فسیلی برای تولید انرژی‌های موردنیاز، خواهیم بود، همچنین در مقاطع زمانی که دسترسی به انرژی الکتریسیته میسر نیست، می‌توان از این نوع محصولات نورتاب استفاده کرد. همچنین این نوع مواد انرژی لازم برای برانگیخته شدن را توسط جذب نور مرئی و یا تابش نور فرابنفش و یا امثال این‌ها، به دست می‌آورند و می‌توانند برای یک‌زمان قابل توجهی اعم از چند دقیقه تا چند ساعت بعد از اینکه منبع تابشی قطع می‌شود، از خود نور ساطع کننده می‌توان از ویژگی‌های در حوزه‌های مختلف اعم از معماری شامل فضاهای تربیناتی، پله‌ها، شیشه‌ها، روکش سرامیکی، دکوراسیون داخلی، سطوح دیوار و سایر اشیا برجسته در داخل و خارج ساختمان، در طراحی فضاهای شهری اعم از پل‌ها، آسفالت جاده‌ها، بتن، المان‌های تربیناتی شهر، تیرهای برقی علائم راهنمایی و رانندگی و سایر موارد است.

مراجع

- [1] Ritter, A. "Smart materials in architecture, interior architecture and design". Birkhauser, Berlin Germany, 2007.
- [2] S. Elattar, Sh. Mohamed, "Smart Structure and Material Technologies in Architecture Applications", Academic Journals, Vol. 8, No. 13, pp.1512-1521, 2013.
- [3] P. Ohara, C. Engeson, & W.St.Peter, "Turning on the Light: Lessons from Luminescence". journal of chemical education, Vol.82, No. 1, 2005.
- [4] C. Odlum, Inventor; "Method for producing phosphorescent glass artifacts" U.S.Patent 6, 197,712B1, 2001 Mar 6.
- [5] G. A. Waychunas, "Luminescence Spectroscopy". Reviews in Mineralogy & Geochemistry, Vol.78, pp.175-217, 2014.
- [6] G. B.Jean – Claude, & P. Claude, "Taking advantage of Luminescent Lanthanide ions". Chemistry Society Reviews, Vol.34, pp. 1048- 1077, 2005.
- [7] Feldmann et al., " Inorganic luminescent material: 100 years of research and application". Advance functional materials, Vol. 13, No.7, 2003.
- [8] Al-Baldawi, M. Thabit, "Application of Smart Materials in the Interior Design of Smart Houses " Civil and Environmental Research, Vol.7, No.2, pp.2224-5790, 2015.
- [9] T.Almeida, A. Ruivo, A. Pires de Matos, R.Maria de Olivereira, , & A. Antunes, "Luminescent glasses in art". Journal of Cultural Heritage , Vol.9 , pp. e138-e142, 2008.
- [10] F.Lopes, F.Ruivo, F., V.S.F. Muralha,, A. Lima, , Duarte, P ., Paiva, I ., Trindade, R., & Pires de Matos, A. "Uranium glass in museum collections" Journal of Cultural Heritage,Vol. 9, pp. e64-e68, 2008
- [11] Sun, x-D. inventor:"Phosphorescent Blends ", U.S.Patent. 2005/0035331A1, Feb.17, 2000.
- [12] Friedrich, D. inventor."phosphorescent compositions and use thereof" .U.S. Patent.2013/0153118A1,

- Jun.20. 2013.
- [13] Phillips, T. L.& Alan Bod, J. .inventors, "Daylight/ NightGlow Colored Phosphorescent Plastic Compositions and Articles", U.S.Patent, 6,375,864B1, Apr.23,2002.
 - [14] [Yan Conga,b, Bin Lia, Bingfu Leia,b, Wenlian Lia," Long lasting phosphorescent properties of Ti doped ZrO₂, Journal of Luminescence Vol.126 , pp.822–826, 2007.
 - [15] Kaya, S. & Karasu, B, Karacaoglu, E., "General Review of application Phosphorescence pigments in ceramic industry", International Ceramic, Glass, Porcelain Enamel, Glaze and Gigkeit Congress, pp.608-616, 2009.
 - [16] Yamazaki, M., Yamamoto, Y., Sawanobori, N., & Nagahama. Sh. Inventors, "Oxide phosphorescent glass capable of exhibiting a long lasting after- glow and photostimulated luminescence", U.S.Patent. 6,123,872, Sep.26.2000.
 - [17] Wiese, A., Washington, T., Tao, B., & Weiss, W. J. "Assessing Performance of Glow – in- the- Drak Concrete", 2015.
 - [18] Kazazz, H ., Karacaoglu, E., Karasu, B., & Agatekin, M, "Production of Violet – blue Emiting Phophors via Solid State Reaction and Their Uses in Outdoor Glass Fountain", Journal of American Science, Vol. 7, No.11, 2011.
 - [19] Karasu, B., Kisacik, Y., Kaya, G., Ucar, T. and Toplutepe, N. O., "Improvement of Process Parameters in the Production of Yellowish-Green Colour Phosphorescence Pigments, 3rd Ceramics, Glass, Enamel, Glaze and Pigment Seminar with International Participation (SERES'05) Proceedings Book, 767-771, 2005.
 - [20] Karasu, B., Kaya, G. & Ozkara, O., "Application of Phosphorescence Glazes on Bricks and Roof Tiles", 2nd International Terra Cotta Symposium Proceedings Book, Eskisehir, pp. 108-13, 2002.
 - [21] Karasu, B., Kaya, G. & Kibici, A, "The Production of Long Afterglow Blue and Blueish-Purple Phosphor Pigments", 6th International Ceramic Congress, Turkish Ceramic Association, pp. 272-276, 2006.
 - [22] Annapurna, K., Dwivedi, R. N., Kunda, P., & Buddhudu, S, "Blue emission spectrum of Ce+3:ZnO-B₂O₃-SiO₂ Optical glass", Materials letter, Vol. 58, pp.787-789, 2004.
 - [23] Wen Han, CH. Inventor, "Manufacturing Method and Structure of Night Glow Glass", U.S.Patent. 2010/0107692A1, May 6, 2010.
 - [24] Romani, A., Clementi, C., Miliani, C., & Favaro, G," fluorescence spectroscopy : A Powerful Technique for the Noninvasive characterization of Artwork", Accounts of chemical research, 2009.
 - [25] Nolt, R., inventor, "Photoluminescent floor tile us.patent", No, 6.875.989B2, Apr.5.2005.



Mahdi.khodaei01@gmail.com

مهندس مهدی خدایی،
نویسنده‌ی مسئول مقاله،
دانشگاه صنعتی مالک اشتر

بررسی تاثیر CaO بر سینترپذیری و خواص نانو کامپوزیت‌های SiC

مهردی خدایی^۱، حمیدرضا بهاروندی^۲، ناصر احسانی^۳

^۱ کارشناسی ارشد مهندسی مواد مرکب، دانشگاه صنعتی مالک اشتر، تهران

^۲ دانشیار، مجتمع مواد و فناوری‌های ساخت، دانشگاه صنعتی مالک اشتر، تهران

^۳ استاد، مجتمع مواد و فناوری‌های ساخت، دانشگاه صنعتی مالک اشتر، تهران

چکیده: کاربید سیلیکون (SiC) به دلیل دارا بودن ویژگی‌های متنوعی از قبیل پایداری شیمیایی و حرارتی عالی، هدایت حرارتی خوب و سختی بسیار بالا، ضریب انبساط حرارتی نسبتاً پایین به عنوان یکی از مهم‌ترین سرامیک‌های مهندسی مطرح است. این ماده با ارزش، امروزه کاربردهای بسیار وسیعی در صنایع مختلف پیدا کرده است. با این حال متراکم نمودن SiC به علت پیوند کوالانت و ضریب نفوذ در خود پایین و نیز نیاز به دما و فشار بالا بسیار مشکل است. رایج ترین روش تولید سرامیک‌های SiC از طریق سینتر فاز مایع است که در این بین CaO یکی از رایج ترین موادی است که برای این منظور به SiC افزوده می‌شود. در این مقاله تلاش شده است تا تاثیر CaO بر سینترپذیری و خواص نانو کامپوزیت‌های SiC مورد بررسی قرار گیرد.

کلمات کلیدی: نانو کامپوزیت SiC، CaO، سینترپذیری و خواص.

۱- مقدمه

کاربید سیلیکون (SiC) به علت ترکیب منحصر به فرد خواص فیزیکی، مکانیکی، حرارتی و الکتریکی یکی از مهم‌ترین سرامیک‌های مهندسی است [۱، ۲]. چنین ترکیب بی نظیری از خواص منجر به کاربرد SiC در بخش‌های مختلف شامل قطعات پردازش نیمه هادی، فیلترهای بسیار ریز موتور دیزل، آب بندهای مکانیکی، مبدل‌های حرارتی، فیلترهای گاز داغ، ممبران‌های خالص سازی آب و آینه‌های نوری شده است [۳]. این ماده بر اساس چیش لایه‌هایش انواع مختلفی دارد که به دو شکل α و β -SiC طبقه‌بندی می‌شوند. β -SiC به شکل مکعبی بوده (3C-SiC) که در دمای پایین تر بلورین می‌شود و پایدارترین شکل SiC و انتقال فازی آن به شکل α -SiC در دمای بالاتر از ۱۶۰۰°C صورت می‌پذیرد [۴]. شکل‌های ۲H، 4H، 6H، 15R و دیگر شکل‌های هگزاگونال متعلق به دسته α -SiC هستند. انتقال فازی $\alpha \Rightarrow \beta$ در دمای بالا و در حین سینتر رخ می‌دهد. متراکم نمودن SiC به علت پیوند کوالانت و ضریب نفوذ در خود پایین و نیز نیاز به دما و فشار بالا بسیار مشکل است [۵]. سینتر SiC می‌تواند به روش‌های فاز مایع و فاز جامد انجام شود. سینتر فاز جامد نیاز به افزودن موادی دارد که سطح انرژی SiC را تغییر داده تا قادر به متراکم شدن شود. حتی با استفاده از افزودنی‌ها و دمایهای بالا به سختی متراکم می‌شود به این علت که ماده‌ای SiC با پیوندهای کوالانتی و ضریب نفوذ در خود پایین می‌باشد که این خصوصیات از مکانیزم‌های انتقال ماده که مسئول تراکم پذیری هستند جلوگیری می‌کنند [۶-۸]. افزودنی‌هایی که به طور معمول در سینتر حالت جامد به SiC افزوده می‌شوند کربن، بور و آلومینیوم هستند [۹، ۱۰]. رایج ترین روش تولید سرامیک‌های SiC از طریق سینتر فاز مایع است. حضور فاز مایع به انتقال ماده سرعت بخشیده و دما و زمان سینتر را کاهش می‌دهد و در نتیجه ریزساختاری دانه ریز و یکنواخت‌تر با عملکرد مکانیکی بهتر و به خصوص چقرمگی شکست بهتر حاصل می‌شود. ریزساختار نهایی به نسبت α -SiC \rightarrow β -SiC مقدار و نوع افزودنی‌ها و دما و زمان سینتر بستگی دارد [۷، ۱۱]. سینتر فاز مایع به ترکیب مواد پایه و افزودنی‌های تشکیل فاز مایع بستگی دارد.

راچ ترین افزودنی‌هایی که برای این منظور استفاده می‌شوند شامل Al_2O_3 - Dy_2O_3 , Al_2O_3 - La_2O_3 , Al_2O_3 - Yb_2O_3 , Al_2O_3 - Y_2O_3 , Al_2O_3 - CaO و Al_2O_3 - Y_2O_3 - CaO می‌باشند [۳].

اهمیت آلومنیا (Al_2O_3), ایتریا (Y_2O_3) و اکسید کلسیم (CaO) به عنوان افزودنی‌های مورد استفاده در سیتر SiC , به دلیل کاهش دمای سیتر، افزایش چرمگی، کمک به تشکیل فاز مایع و بهبود سینترپذیری است. این افزودنی‌ها، با تشکیل فازهای بین دانه‌ای (YAG) CaY_2O_4 و $\text{Al}_5\text{Y}_3\text{O}_{12}$ باعث افزایش خواص مکانیکی و بهبود ریزساختار می‌شوند. علاوه بر موارد بیان شده Al_2O_3 و CaO و Y_2O_3 با مکانیزم‌هایی نظیر انحراف ترک، پل زنی ترک، استحاله فازی، افزایش استحکام مرز دانه‌ها و تغییر سازو کار شکست از بین دانه‌ای به درون دانه‌ای سبب بهبود خواص مکانیکی قطعه نسبت به حالت بدون افزودنی می‌گردد [۱۲]. از طرف دیگر Al_2O_3 و Y_2O_3 رایج ترین افزودنی‌های سیتر هستند که می‌توانند با SiO_2 که بر سطح پودرهای SiC وجود دارد واکنش داده و با تشکیل ترکیب یوتکتیکی منجر به افزایش سینترپذیری شوند. CaO برای کاهش فشار بخار کل مایع‌ها و همچنین کاهش دمای افروده شده است. این امر می‌توانند منجر به کاهش سرعت رشد دانه و نیز کاهش اتلاف وزن در طول آزمون‌ها شود [۱۳]. به همین علت در این مقاله تلاش شده است تا تاثیر CaO بر سینترپذیری و خواص نانو کامپوزیت‌های SiC مورد بررسی قرار گیرد.

۲- تاثیر CaO بر سینترپذیری و خواص نانو کامپوزیت‌های SiC

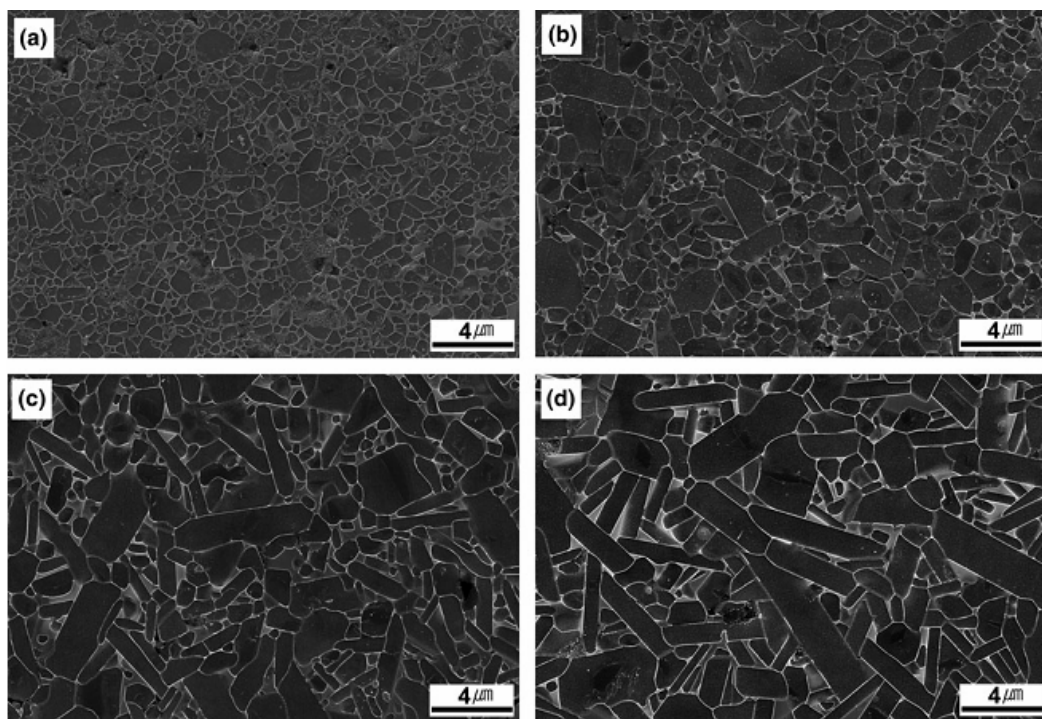
با توجه به بررسی‌های صورت گرفته تاکنون تاثیر افزودنی CaO بر کامپوزیت‌های SiC به دو روش سینتر بدون فشار و پرس داغ مورد بررسی قرار گرفته که در ادامه سینترپذیری و خواص حاصل از این دو روش گزارش شده است.

۲-۱- روش سینتر بدون فشار

اوم^۱ و همکارانش [۱] سینترپذیری و خواص حرارتی و مکانیکی سرامیک‌های SiC سینتر شده به وسیله روش بدون فشار را با افرودن Al_2O_3 , Y_2O_3 , CaO در دماهای مختلف مورد بررسی قرار داده‌اند. مواد اولیه مورد استفاده شامل $\beta\text{-SiC}$ درصد وزنی ۹۱٪، افزودنی‌های Al_2O_3 , Y_2O_3 (به ترتیب $5/5$ و $3/1$ درصد وزنی) و $4/0$ درصد وزنی CaO بوده است. طبق نتایج بدست آمده توسط این محققین، سرامیک‌های حاصل که در محدوده دمایی 1750°C تا 1900°C سینتر شده بودند، دارای دانسیته‌ای تا بیش از ۹۷٪ دانسیته تئوری بوده‌اند. ریزساختار نمونه‌های سینتر شده در شکل ۱ نشان داده شده است. اندازه دانه این نمونه‌ها در دماهای 1750°C , 1800°C , 1850°C و 1900°C درجه سانتی‌گراد به ترتیب $0/9$, $1/5$, $1/8$ و $2/8$ میکرومتر به دست آمده است. زمانی که دمای سینتر از 1750°C به 1800°C افزایش یافته ریزساختاری چقرمه که شامل دانه‌های کشیده شده نسبتاً بزرگ (دانه‌های صفحه‌ای در سه بعد) و دانه‌های هم محور نسبتاً ریز است تغییر یافته است. رسیدن به ریزساختارهای چقرمه تحت چنین شرایطی نتیجه ترکیب شیمیایی مواد افرودنی است. با افزایش بیشتر دما اندازه هر دو دانه‌های کشیده شده و هم محور بزرگ‌تر شده و ریزساختار حاوی دانه‌های کشیده شده بیشتر با نسبت ابعادی^۲ بالاتر است. با افزایش دما به 1900°C همه دانه‌های هم محور تا پذید شده و ریزساختار تهها حاوی دانه‌های کشیده شده است. تغییرات ریزساختار به شدت به استحاله فازی SiC با افزایش دما مرتبط است. استحاله فازی $\alpha\beta \Rightarrow 6\text{H} \Rightarrow 4\text{H}$ منجر به رشد دانه‌های کشیده شده با نسبت ابعادی بالا می‌شود.

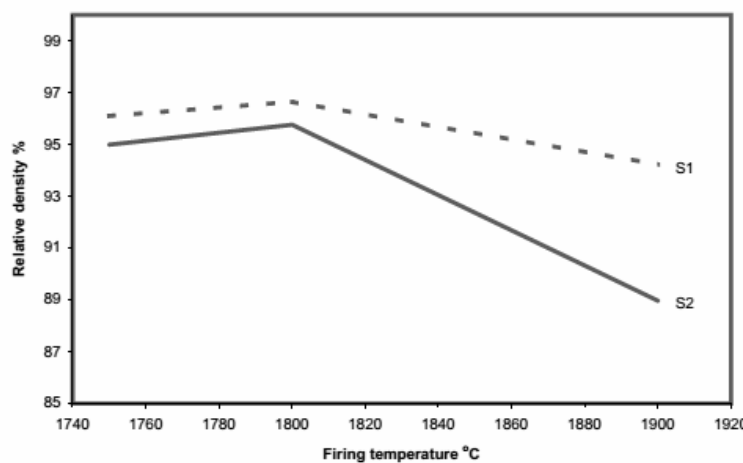
همچنین هدایت حرارتی سرامیک‌های SiC با افزایش دمای سینتر افزایش یافته که علت آن کاهش مقدار اکسیژن شبکه در دانه‌های SiC است. دانسیته، استحکام خمشی، چرمگی شکست، سختی و هدایت حرارتی SiC سینتر شده در دمای 1850°C که حاوی $62/2$ درصد 4H , $35/7$ درصد 6H و $2/1$ درصد 3C بود به ترتیب برابر با 99 MPa , $5/3 \text{ MPa.m}^{1/2}$, 628 W.(m.K)^{-1} و $29/1$ گزارش شده است.

¹ Eom
² aspect ratio



شکل ۱- ریزساختارهای سرامیکهای SiC سینتر شده در دماهای مختلف به مدت ۲ ساعت در اتمسفر آرگون:
۱۹۰۰ °C (a)، ۱۸۵۰ °C (c)، ۱۸۰۰ °C (b)، ۱۷۵۰ °C (d)

زارا^۱ و همکارانش [۱۲] نیز سینتر فاز مایع α -SiC را در حضور CaO به روش سینتر بدون فشار مورد بررسی قرار داده‌اند. این محققان از مقادیر بیشتر CaO استفاده نمودند و دو نمونه S1 و S2 از جنس SiC را که حاوی مقادیر ثابتی از افزودنی‌های Al_2O_3 ، Y_2O_3 (به ترتیب ۷ و ۲ درصد وزنی) و مقادیر مختلفی از CaO (۱ و ۳ درصد وزنی که S1 حاوی ۱ درصد وزنی و S2 حاوی ۳ درصد وزنی) بودند در محدوده دمایی بین ۱۷۵۰ و ۱۹۰۰ درجه سانتی‌گراد تا رسیدن به بیش از ۹۵ درصد دانسیته تئوری سینتر نمودند. چگال شدن توسط یک فاز مایع تشکیل شده از Al_2O_3 ، Y_2O_3 و CaO انجام شد. ریزساختاری با دانه‌های کشیده و هم محور و ریز (با متوسط اندازه دانه حدود $10 \mu\text{m}$) حاصل شد. دانسیته نسبی نمونه‌های S1 و S2 در شکل ۲ نشان داده شده است. همانطور که مشاهده می‌شود تراکم در دمای ۱۷۵۰ °C رخ داده است که دمایی نزدیک به دمای ذوب YAG است. دانسیته نمونه S1 بیشتر از نمونه S2 به دست آمده است که مربوط به میزان CaO کمتر در نمونه S1 می‌باشد و به نظر می‌رسد که تبخیر گازهای Al_2O ، SiO و CO افزایش یافته و منجر به کاهش دانسیته نسبی شده است.



شکل ۲- دانسیته نسبی سرامیکهای کاربید سیلیکون S1 و S2 سینتر شده در دماهای مختلف [۱۲].

^۱ Zawrah

در جدول ۱ تأثیر شکست، سختی و مدول الاستیک نمونه‌های سینتر شده در دماهای مختلف گزارش شده است. همانطور که مشاهده می‌شود این خواص تا 1800°C افزایش یافته و سپس در 1900°C کاهش یافته است که منطبق با دانسیته نمونه‌ها می‌باشد.

جدول ۱- تأثیر شکست، سختی و مدول الاستیک نمونه‌های سینتر شده در دماهای مختلف [۱۲]

Properties	Firing temperature ($^{\circ}\text{C}$)					
	1750		1800		1900	
	S1	S2	S1	S2	S1	S2
K_{IC} (MPa $\text{m}^{1/2}$)	4.1	3.9	5.7	4.2	4.5	4.0
HV (GPa)	20.7	19.2	23.2	22.12	22.6	20.0
E (GPa)	290	280	410	380	330	310

۲-۲- روش پرس داغ

یوشیدا^۱ و همکارش [۱۴] و لی^۲ و همکارانش [۱۶، ۱۵] تاثیر CaO را بر پرس داغ کامپوزیت‌های زمینه SiC تقویت شده با الیاف SiC مورد بررسی قرار داده‌اند. میتومو^۳ و همکارانش [۱۷]، کیم^۴ و همکارانش [۱۸] و ناگانو^۵ و همکارش [۱۹] نیز تاثیر این ماده را بر ساخت نانو کامپوزیت‌های SiC به روش پرس داغ مطالعه نموده‌اند. در ادامه فعالیت‌های این پژوهشگران مورد بررسی قرار گرفته است.

۲-۲-۱- پرس داغ کامپوزیت‌های زمینه SiC تقویت شده با الیاف SiC

یوشیدا و همکارش [۱۴] خواص کامپوزیت زمینه β -SiC تقویت شده با الیاف SiC سینتر شده تحت فشار را در دمای بالا و دمای اتاق مورد بررسی قرار داده‌اند. کامپوزیت‌های SiC تقویت شده با الیاف SiC بافتی شده به صورت 2D اشباع شده با پلی‌کربوسیلان با ۵۲ درصد حجمی الیاف SiC به روش پرس داغ و به مدت ۱ ساعت در دماهای ۱۶۵۰، ۱۷۰۰ و ۱۷۵۰ درجه سانتی‌گراد تحت فشار ۴۰ MPa و با استفاده از مواد افزودنی Al_2O_3 - Y_2O_3 -CaO (به میزان ۲۰ درصد وزنی) تهیه شده‌اند. شکست کامپوزیت‌ها به صورت غیر ترد بوده است. بیشترین استحکام کامپوزیت‌های پرس داغ شده در دمای 1700°C یا 1750°C تا دمای آزمون 1200°C کاهش نیافته است. انرژی شکست با افزایش دمای آزمون افزایش یافته و در دمای 1200°C به حداقل مقدار خود رسیده است. هدایت حرارتی با افزایش دانسیته حجمی افزایش یافته و به مقدار $7-14 \text{ W/m}^2$ در دمای اتاق گزارش شده است.

لی و همکارش [۱۵] کامپوزیت‌های SiC تقویت شده با الیاف کوتاه را بوسیله نفوذ پلی‌کربوسیلان (PCS) تهیه کرده‌اند. این محققین، ورق‌های خام (اولیه) کامپوزیتی را با استفاده از الیاف‌های کوتاه SiC (Tyranno SA) (پوشش داده شده) نفوذ داده شده (PCS) با پلی‌کربوسیلان، پودر SiC زیر میکرون و مخلوط‌های Al_2O_3 - Y_2O_3 -CaO (حاوی ۱۴٪ وزنی Al_2O_3 ، ۴٪ وزنی Y_2O_3 و ۲٪ وزنی CaO) به عنوان مواد افزودنی سیتر به وسیله ریخته‌گری نواری تهیه کرده‌اند. این ورق‌های خام در دمای 1750°C تحت اتمسفر آرگون و فشار ۴۰ MPa به مدت ۱ ساعت تحت پرس داغ قرار گرفتند. جهت‌گری بیشتر الیاف‌های کوتاه SiC در امتداد جهت ریخته‌گری نواری بوده است. دانسیته حجمی کامپوزیت‌ها در حدود $2/66 \text{ g/cm}^3$ حاصل شده است. همچنین استحکام خمی در دمای اتاق و دماهای بالا اندازه‌گیری شده و بالاترین مقدار آن در حدود 260 MPa در دمای اتاق و دمای 1000°C گزارش شده است. رفتار شکست کامپوزیت‌ها، شکست کاملاً تردی را در دمای اتاق و دماهای بالا تا 1400°C نشان داده است.

¹ Yoshida

² Lee

³ Mitomo

⁴ Kim

⁵ Nagano

لی و همکارانش [۱۶] همچنین تأثیر کسر حجمی الیاف را بر خواص حرارتی و مکانیکی کامپوزیت‌های SiC تقویت شده با الیاف کوتاه با ردیف‌های غیرجهت‌دار^۱ را مورد بررسی قرار داده‌اند. این کامپوزیت‌ها از طریق پرس داغ با استفاده از مخلوط ۱۴ Al₂O₃-Y₂O₃-CaO (۴ درصد وزنی Al₂O₃, ۴ درصد وزنی Y₂O₃ و ۲ درصد وزنی CaO) به عنوان ماده افزودنی تهیه شده‌اند تا تأثیر پارامترهای فرایند بر خواص حرارتی و مکانیکی کامپوزیت‌های SiC/SiC حاوی الیاف کوتاه-Hi-نیکالون^۲ پوشش‌دار با BN مورد مطالعه قرار گیرد. الیاف عمدتاً در صفحاتی عمود بر جهت پرس داغ به صورت ردیفی قرار گرفتند. در جدول ۲ دانسیته بالک و خواص مکانیکی کامپوزیت‌های پرس داغ شده SiC/SiC آورده شده است. همانطور که مشاهده می‌شود دانسیته بالک کامپوزیت‌های SiC/SiC معمولاً با افزایش دمای سینتر افزایش یافته است. کامپوزیت‌های سینتر شده در دمای ۱۷۰۰ °C به دانسیته نزدیک به دانسیته کامل رسیده‌اند [۱۶]. دمای یوتکتیک پایین اکسیدهای بر پایه Si-Al-Y-Ca-O عامل موثری برای افزایش دانسیته در دمای کم است [۱۷]. طبق نتایج بدست آمده، چهارمگی شکست کامپوزیت‌های SiC/SiC با مواد افزودنی CaO - Y₂O₃ - Al₂O₃ ۱/۶ برابر بیشتر از SiC یکپارچه سینتر شده به وسیله روش پرس داغ در دمای ۱۷۵۰ °C است [۱۶].

جدول ۲-دانسیته بالک و خواص مکانیکی کامپوزیت‌های پرس داغ شده SiC/SiC [۱۶]

Fiber volume fraction	Sintering temp. / °C	Bulk density / Mg/m ³	Flexural strength at RT / MPa	Fracture toughness at RT / MPa · m ^{1/2}
10vol%	1650	2.96	291	2.57
	1700	3.10	373	3.12
	1750	3.09	330	3.23
20vol%	1650	2.80	237	2.63
	1700	3.06	372	3.23
	1750	3.12	367	3.24
30vol%	1650	2.96	269	2.94
	1700	3.13	287	3.17
	1750	3.13	311	3.30

استحکام اتصال با افزایش دمای سینتر افزایش یافته و با افزایش دمای آزمون کاهش یافته است. رفتار شکست کامپوزیت‌های SiC/SiC شکست کاملاً تردی را نشان داده است. نتایج میکروسکوپ الکترونی روشنی (SEM) نشان دهنده این است که الیاف در ناحیه تنفس کششی سطح شکست بیرون کشیده شده‌اند اما درجه بیرون کشی^۳ کم بوده است. همچنین هدایت حرارتی کامپوزیت‌های SiC/SiC پرس داغ شده در دمای ۱۷۵۰ °C با افزایش کسر حجمی الیاف به مقدار ۷/۸ W/m K در دمای اتاق کاهش یافته که به علت هدایت کم الیاف می‌باشد. هدایت حرارتی الیاف-Hi-نیکالون به مقدار K ۱۰/۱ W/m در ۵۰۰ °C در دمای ۱۰ °C گزارش شده است [۱۴]. در کاری دیگر از این محققان هدایت حرارتی SiC یکپارچه با افزودنی‌های شده است که بسیار کمتر از مقدار سرامیک SiC است. علت هدایت حرارتی کم به ریزساختار و فازهای زمینه نسبت داده شده است. فاز شیشه‌ای، اکسیدها و ترکیبات آن‌ها مانند YAG که از افزودنی‌های سینتر حاصل شده است؛ هدایت حرارتی کمی دارند [۲۰].

۲-۲-۲- پرس داغ نانو کامپوزیت‌های SiC

میتومو و همکارانش [۱۷] تأثیر افزودنی‌های مختلف را بر سینترپذیری نانوسرامیک‌های SiC بررسی کرده‌اند. این محققین، دو نوع پودر SiC را با نام‌های F و S به ترتیب با اندازه ذرات ۹۰ و ۲۸۰ نانومتر با استفاده از روش پرس داغ و با افزودن ۷ درصد وزنی Al₂O₃, ۲ درصد وزنی Y₂O₃ و ۱ درصد وزنی CaO در دمای ۱۷۵۰ °C و ۱۹۰۰ °C در فشار ۲۰ MPa و در زمان‌های

¹ unidirectionally Aligned

² Hi - Nicalon

³ Pull-out

متفاوت به ترتیب ۱۵ و ۳۰ دقیقه متراکم کرده‌اند. خواص مواد اولیه در جدول ۳ و شرایط پرس داغ برای رسیدن به بیشترین دانسیته در جدول ۴ آورده شده است. همانطور که مشاهده می‌شود پودرهای بسیار ریز در حدود ۱۵۰ °C کمتر از پودرهای با ابعاد زیر میکرون متراکم شده‌اند.

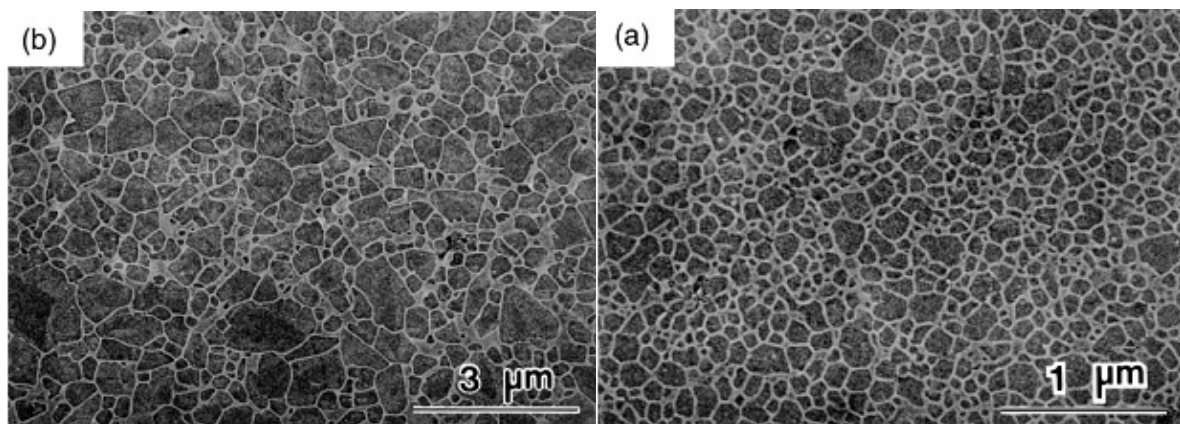
جدول ۳- خصوصیات مواد اولیه [۱۷]

Powder	F	S
Average particle size (nm)	90	280
β content (wt. %)	98	97
Oxygen content (wt. %)	1.00	0.18
Free carbon (wt. %)	1.88	0.16

جدول ۴- شرایط تولید و خواص مواد سینتر شده [۱۷]

Powder	F	S
Hot-pressing		
temperature (°C)	1750	1900
time (min)	15	30
Relative density (%)	97.2	99.0
Average grain size (nm)		
Area base (d_s)	110	510
Number base (d_n)	70	200

همچین نانو سرامیک‌های ریز دانه با میانگین اندازه دانه ۱۱۰ و ۵۱۰ نانومتر به ترتیب از پودرهای F و S حاصل شده‌اند که در شکل ۳ نشان داده شده است.



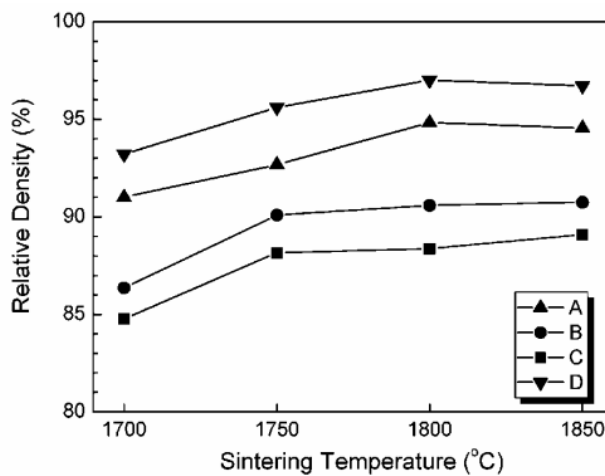
شکل ۳- ریزساختار مواد سینتر شده از پودرهای (a) F و (b) S [۱۷]

کیم و همکارانش [۱۸] نیز سینترپذیری نانو پودرهای β -SiC را به روش پرس داغ در محدوده دمایی ۱۷۰۰ تا ۱۸۵۰ درجه سانتی‌گراد در اتمسفر آرگون به مدت ۳۰ دقیقه و تحت فشار ۲۵ MPa مورد بررسی قرار داده‌اند. این محققین، قابلیت سینتر کردن سه نوع نانو پودر SiC تجاری (پودرهای A، B و C) و یک نانو پودر SiC (پودر D) را که روی آن عملیات حذف کربن آزاد در دمای ۶۰۰ °C و در ادامه غوطه ور کردن پودرهای در محلول HF برای حذف SiO_2 بود را با استفاده از Al_2O_3 - Y_2O_3 - CaO به عنوان مواد افزودنی سینتر مورد مطالعه قرار داده‌اند. این ۴ نوع پودر شامل ۹۰٪ وزنی SiC، ۷٪ وزنی Al_2O_3 ، ۲٪ وزنی Y_2O_3 و ۱٪ وزنی CaO بودند. خصوصیات پودرهای SiC اولیه در جدول ۵ آورده شده است.

جدول ۵- خصوصیات پودرهای SiC اولیه [۱۸]

Designation	Average particle size (nm)	Specific surface area (m^2/g)	Impurity (mass%)		Phase	Manufacturer
			Oxygen	Free carbon		
A	~30	48	0.45	3.73	β	Sumitomo-Osaka Cement Co., Japan
B	~25	71	1.30	6.92	β	Materials Institute Tech. Inc., Richmond, CA
C	~20	94	1.08	6.00	β	Nanostructured & Amorphous Materials, Inc., Los Alamos, NM
D	~30	52	1.83	1.75	β	Oxidized and acid-treated powder A

شکل ۴ تغییرات دانسیته نمونه‌های سینتر شده را بر حسب دماهای مختلف نشان می‌دهد. همانطور که در این شکل مشاهده می‌شود بیشترین دانسیته در پودرهای A و D در دمای $1800^\circ C$ حاصل شده و پس از آن تغییری مشاهده نشده است. در مقابل در پودرهای B و C بیشترین دانسیته در دمای $1850^\circ C$ به دست آمده که افزایش اندکی در بالاتر از $1800^\circ C$ نیز رخ داده است. نانو پودرهای SiC تجاری با استفاده از پرس داغ به سختی به دانسیته نسبی بالای ۹۵ درصد رسیدند. تأثیر ناخالصی‌های SiO_2 و کربن آزاد در پودرهای اولیه بر قابلیت سینتر کردن نانو پودرهای SiC مشابه با پودرهای SiC کمتر از میکرون بود. اگرچه که مقدار بالای کربن آزاد و دانسیته کم قطعه خام نانو پودرهای SiC تجاری منجر به سینترپذیری ضعیف آنها شده است. کاهش مقدار کربن آزاد به وسیله اکسیداسیون و کنترل مقدار SiO_2 بوسیله عملیات اسیدشوبی برای افزایش قابلیت سینتر کردن نانو پودرهای SiC در حین سینتر کردن در فاز مایع موثر بوده است. در نهایت نمونه‌های ساخته شده از پودر D بیشترین دانسیته را داشته‌اند که به میزان حدود ۹۷ درصد دانسیته تئوری بعد از سینتر در دمای $1800^\circ C$ به مدت ۳۰ دقیقه بوده است [۱۸].



شکل ۴- دانسیته سرامیک‌های SiC ساخته شده از ۴ نوع نانو پودر اولیه (مطابق با جدول ۵) [۱۸].

ناگانو و همکارش [۱۹] تأثیر اتمسفر را بر کاهش وزن در ۹۰ نانومتر در حین عملیات حرارتی مورد بررسی قرار داده‌اند. این محققین عملیات حرارتی را روی $\text{SiC} - \beta$ با مواد افزودنی مختلف شامل ۷٪ وزنی Al_2O_3 ، ۲٪ وزنی Y_2O_3 و ۱٪ وزنی CaO برای سینتر در محدوده دمایی $1600 - 1800^\circ\text{C}$ در هر دو اتمسفر گاز نیتروژن و آرگون با فشار ۳۰ MPa و به مدت زمان ۴۰ دقیقه انجام داده‌اند. در نمونه‌های عملیات حرارتی شده در دمای 1800°C در اتمسفر آرگون، کاهش وزن بیشتر از وزن کل مواد افزودنی سینتر گزارش شد. از طرف دیگر، کاهش وزن در اتمسفر نیتروژن از حدود یک سوم به نصف کاهش یافت. طبق نتایج بدست آمده تقلیل وزن عمدتاً به واکنش در فصل مشترک میان دانه‌های SiC و فاز مرزدانه‌ای بستگی داشته است.

مراجع

- [1] Eom JH, Seo YK, Kim YW. Mechanical and Thermal Properties of Pressureless Sintered Silicon Carbide Ceramics with Alumina-Yttria-Calcia. *Journal of the American Ceramic Society*. 2016.
- [2] Kim KJ, Lim KY, Kim YW. Electrical and thermal properties of SiC ceramics sintered with yttria and nitrides. *Journal of the American Ceramic Society*. 2014;97:2943-9.
- [3] Ribeiro S, Gênova L, Ribeiro G, Oliveira M, Bressiani A. Effect of heating rate on the shrinkage and microstructure of liquid phase sintered SiC ceramics. *Ceramics International*. 2016;42:17398-404.
- [4] Sugiyama S, Togaya M. Phase Relationship between 3C - and 6H - Silicon Carbide at High Pressure and High Temperature. *Journal of the American Ceramic Society*. 2001;84:3013-6.
- [5] Lodhe M, Chawake N, Yadav D, Balasubramanian M. On correlation between $\beta \rightarrow \alpha$ transformation and densification mechanisms in SiC during spark plasma sintering. *Scripta Materialia*. 2016;115:137-40.
- [6] Noviyanto A, Yoon D-H. Metal oxide additives for the sintering of silicon carbide: Reactivity and densification. *Current Applied Physics*. 2013;13:287-92.
- [7] Noviyanto A, Yoon D-H. Rare-earth oxide additives for the sintering of silicon carbide. *Diamond and Related Materials*. 2013;38:124-30.
- [8] Biswas K, Rixecker G, Aldinger F. Gas pressure sintering of SiC sintered with rare-earth-(III)-oxides and their mechanical properties. *Ceramics international*. 2005;31:703-11.
- [9] Zhang J, Jiang D, Lin Q, Chen Z, Huang Z. Properties of silicon carbide ceramics from gelcasting and pressureless sintering. *Materials & Design (1980-2015)*. 2015;65:12-6.
- [10] Tatarko P, Lojanová Š, Dusza J, Šajgalík P. Influence of various rare-earth oxide additives on microstructure and mechanical properties of silicon nitride based nanocomposites. *Materials Science and Engineering: A*. 2010;527:4771-8.
- [11] Liang H, Yao X, Zhang J, Liu X, Huang Z. The effect of rare earth oxides on the pressureless liquid phase sintering of α -SiC. *Journal of the European Ceramic Society*. 2014;34:2865-74.
- [12] Zawrah M, Shaw L. Liquid-phase sintering of SiC in presence of CaO. *Ceramics international*. 2004;30:721-5.
- [13] Gu H, Nagano T, Zhan GD, Mitomo M, Wakai F. Dynamic Evolution of Grain - Boundary Films in Liquid - Phase - Sintered Ultrafine Silicon Carbide Material. *Journal of the American Ceramic Society*. 2003;86:1753-60.
- [14] Yoshida K, Yano T. Room and high-temperature mechanical and thermal properties of SiC fiber-reinforced SiC composite sintered under pressure. *Journal of nuclear materials*. 2000;283:560-4.
- [15] Lee J-S, Yano T. Fabrication of short-fiber-reinforced SiC composites by polycarbosilane infiltration. *Journal of the European Ceramic Society*. 2004;24:25-31.
- [16] Lee J-S, 吉田克己, 矢野豊彦. Influence of Fiber Volume Fraction on the Mechanical and Thermal Properties of Unidirectionally Aligned Short-Fiber-Reinforced SiC Composites. *Journal of the Ceramic Society of Japan (日本セラミックス協会学術論文誌)*. 2002;110:985-9.
- [17] Mitomo M, Kim Y-W, Hirotsuru H. Fabrication of silicon carbide nanoceramics. *Journal of materials research*. 1996;11:1601-4.
- [18] Kim Y-W, Lee Y-I, Mitomo M. Sinterability of nano-sized silicon carbide powders. *Journal of the Ceramic Society of Japan (日本セラミックス協会学術論文誌)*. 2006;114:681-5.
- [19] Nagano T, Kaneko K, Zhan GD, Mitomo M. Effect of atmosphere on weight loss in sintered silicon carbide during heat treatment. *Journal of the American Ceramic Society*. 2000;83:2781-7.
- [20] Yoshida K, Imai, M. and Yano, T. *Journal of the Ceramic Society of Japan*. 2001;109:863-67.

بررسی عوامل موثر بر خاصیت پوشش‌های فتوکاتالیستی نانو ذره اکسید تیتانیم

نوید اعلمی فریمان^{۱*}، بهزاد کوزه‌گر کالجی^۲، ابراهیم یوسفی^۳، سعید پورخیاط^۴

^۱ کارشناسی ارشد، گروه مهندسی مواد-سرامیک، دانشکده فنی و مهندسی، دانشگاه ملایر

^۲ عضو هیات علمی، استادیار گروه مهندسی مواد، دانشکده فنی و مهندسی، دانشگاه ملایر

^۳ دانشجوی دکترای نانو مواد، پژوهشکده مواد معدنی، دانشگاه شهید باهنر کرمان

^۴ دانشجوی کارشناسی ارشد، گروه مهندسی مواد-سرامیک، دانشگاه آزاد علوم تحقیقات واحد

شاھرود

مهندس نوید اعلمی فریمان،
نویسنده مسئول مقاله، دانشگاه
ملایر

Navid.alami66@yahoo.com

چکیده: نانو تکنولوژی تولید کارآمد مواد و دستگاه‌ها و سیستم‌ها با کنترل ماده در مقیاس طولی نانومتر و بهره برداری از خواص و رفتارهای نو ظهوری است که در مقیاس نانو توسعه یافته‌اند. افزایش روز افزون آلاینده‌های گازی و آبی در سال‌های اخیر، منجر به توسعه زمینه‌های مطالعاتی و کاربردی پوشش‌های فتوکاتالیستی شده است. فتوکاتالیست‌ها جز آن دسته از کاتالیست‌هایی هستند که با تابش نور فعال شده و آلاینده‌های موجود در هوا یا آب را به مواد کم ضرر مانند آب و دی‌اکسید کربن تبدیل می‌کنند. در میان تمامی فتوکاتالیست‌های موجود، اکسید تیتانیم به دلیل خواص منحصر به فردی چون پایداری شیمیایی و نوری، قیمت ارزان، عدم انحلال در آب، غیر سمی بودن و غیره بسیار مورد توجه می‌باشد. با این حال به دلیل قرار گرفتن شکاف انرژی آن در محدوده فرابنفش و چون تنها (۳/۵-۵/۵٪) امواج خورشید حاوی پرتوهای فرابنفش است، کاربرد آن محدود می‌شود. برای غلبه بر این محدودیت، مطالعات اخیر روی افزایش بازدهی آن با استفاده از کامپوزیت‌های اکسید تیتانیم - نانو فلز، کاتالیست‌های الکتروشیمی، اکسید تیتانیم ذوب شده یا کامپوزیت‌های سرامیکی مختلف معطوف شده است. خاصیت فتوکاتالیستی نانو ذره اکسید تیتانیم باستگی شدیدی به اثر ضخامت در پوشش‌ها، شکل و اندازه ذرات، شرایط کلیسیاسیون، عناصر و افزودنی‌های دوپ شده دارد که در این مقاله به صورت مروری به هر یک از آن‌ها پرداخته شده است و استفاده از دوپندهای همزنان در شبکه تیتانیا بر روی زیرلایه‌های مختلف با بازده فتوکاتالیستی بالاتر از چالش‌های این مقاله می‌باشد.

کلمات کلیدی: فتوکاتالیست، نانو اکسید تیتانیم، اثر افزودنی‌ها، شکاف انرژی.

۱- مقدمه

یکی از مواردی که در حال حاضر فناوری نانو در آن به طور گستردگی مورد استفاده قرار گرفته است، فرآیند پوشش‌دهی و به دنبال آن خاصیت فتوکاتالیستی و تولید مواد نانو ساختار است. تحقیقات انجام گرفته بر روی این پوشش‌ها که خواص فتوکاتالیستی دارند نشان می‌دهد که خواص پوشش‌های فتوکاتالیستی نانو ساختار در بسیاری موارد نسبت به پوشش‌های معمولی بهبود چشمگیری دارد. مواد نانومتری به علت بروز پدیده‌های کوانتوسومی در ابعاد زیر ۱۰۰ nm دارای خواص منحصر به فرد هستند. پوشش‌های نانوساختار در مقایسه با پوشش‌های میکرومتری از خواص فتوکاتالیستی، ضریب ابساط حرارتی، سختی و چرمگی بالاتر و مقاومت بیشتر در برابر خوردگی، سایش و فرسایش برخوردارند. کاهش اندازه دانه تا حدود چند ده نانومتر سبب افزایش سختی و استحکام ماده می‌شود. در میان این پوشش‌ها، اکسید تیتانیم به عنوان یکی از پوشش‌ها با خواص فتوکاتالیستی مطرح است [۱]. پوشش‌های فتوکاتالیستی اکسید تیتانیم یکی از مواردی است که امروزه به آن توجه زیادی شده است. این پوشش‌ها بر روی زیرلایه‌های مختلف فلزی، سرامیکی، شیشه‌ای و پلاستیکی اعمال می‌شوند که با توجه به نوع زیرلایه و فرآیند پوشش‌دهی کاربردهای مختلفی دارند.

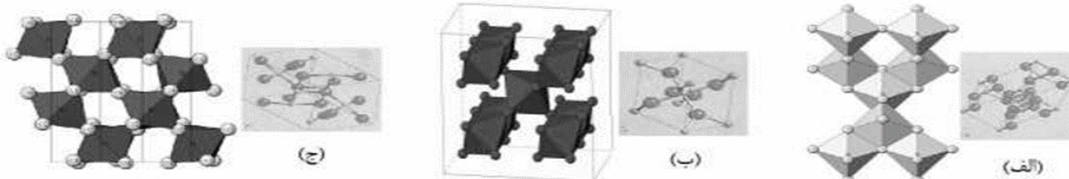
نانوذرات تیتانیا توجه بسیاری از پژوهشگران را به دلیل دارا بودن مزایایی مانند پایداری شیمیایی

یا خنثی بودن شیمیایی و بیولوژیکی، سمی بودن، قیمت ارزان، زیست سازگاری و خواص فیزیکی، نوری و الکتریکی به عنوان ماده فتوکاتالیست در تخریب بسیاری از ترکیبات آلی، باکتری‌ها، ویروس‌ها و تصفیه آب مورد توجه قرار گرفته داده است [۳]. هنگامی که تیتانیا در لایه‌های بسیار نازک یا ذرات میکروسکوپیک و در معرض نور خورشید به کاررود، باعث فعال شدن یکی از مهمترین خواص تیتانیا یعنی خاصیت فتوکاتالیستی می‌شود که باعث استفاده از آن در بخش‌های وسیعی همچون تصفیه آب و فاضلاب و محصولات کاربردهای آبدوستی و آبگریزی شامل سطوح خود تمیز شونده و ضد مه‌گرفتنگی از قبیل شیشه‌ها و کاشی‌های سرامیکی شده است [۲].

این ماده قابلیت تجزیه مواد آلی مختلف در اثر تابش اشعه ماوراء بنفش را دارد. علی‌رغم اینکه اکسید تیتانیم یکی از مواد پر مصرف در کاربردهای فتوکاتالیستی است، اما با توجه به باند ممنوعه وسیع آن ($Eg = 3/2 \text{ eV}$) همواره تحت تابش نور ماوراء بنفش خاصیت فتوکاتالیستی از خود نشان می‌دهد. به همین منظور بسیاری از کاربردهای این پوشش که در محیط‌های آزاد و تحت تابش نور خورشید قرار دارند، بکارگیری این نوع پوشش، کارایی بالای ندارند. به همین دلیل تلاش‌های زیادی توسط محققین جهت بهبود خواص فتوکاتالیستی تیتانیا تحت تابش نور مرئی انجام شده و یا در حال انجام است. بسیاری از فعالیت‌های تحقیقاتی انجام شده، تلاش بر افزودن دوپندها در شبکه تیتانیا بوده است [۴].

۲- اکسید تیتانیم

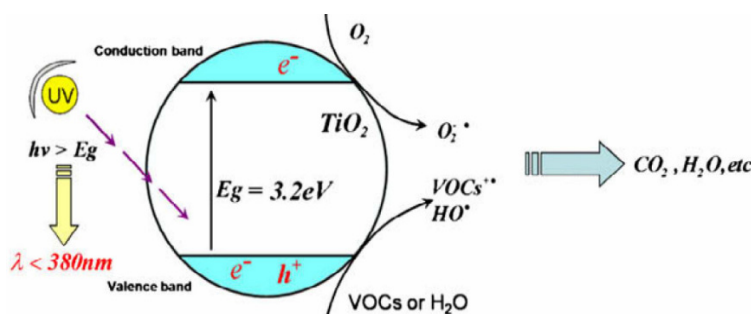
تیتانیا دارای سه پلیمرف اصلی آناتاز، روتایل، بروکیت است. تشکیل این سه نوع ساختار شدیداً وابسته به دما است. دو فاز آناتاز و روتایل دارای ساختار بلوری تراگونال و فاز بروکیت دارای ساختار بلوری اورتوفرموبیک است [۱]. در اکسید تیتانیمی درشت دانه، روتایل پایدارترین فاز کربیستالی در همه دماهای بالاتر از صفر کلوین و تحت فشار معمولی بوده و دو فاز آناتاز و بروکیت فازهای نیمه پایدار این سیستم به شمار می‌روند که فاز بروکیت کمیاب بوده و سریعاً به روتایل تبدیل می‌شود [۳]. واحد پایه ساختار بلوری در هر سه فاز، هشت وجهی‌های TiO_6 است که تفاوت این سه فاز در نحوه آرایش این هشت وجهی‌ها در کنار یکدیگر است [۲]. همان طور که در شکل ۱ نشان داده شده است در هر سه ساختار هر یون تیتانیم در مرکز یک هشت وجهی مت Shank از اکسیژن قرار دارد.



شکل ۱- شماتیکی از سلول‌های واحد فاز تیتانیا، (الف) آناتاز، (ب) روتایل، (ج) بروکیت [۵].

۳- خاصیت و مکانیزم فتوکاتالیستی اکسید تیتانیم

فتوکاتالیست ماده‌ای است که قابلیت استحالت‌های شیمیایی در مواد واکنش دهنده را توسط جذب کوانتموهای نور داشته و مکررا به همراه مواد اولیه در واکنش‌های شیمیایی وارد شده و ترکیب شیمیایی خود را پس از هر چرخه این واکنش‌ها باز می‌یابد. اگر تیتانیا توسط فوتون‌هایی با انرژی بیشتر از 3.2 eV مورد تشعشع قرار گیرد، باند ممنوعه آن تحریک شده و یک الکترون از باند ظرفیت به باند هدایت می‌رود، در نتیجه این فرآیند تشکیل جفت الکترون-حفره می‌دهد [۶]. اگر چه اکثر این الکترون‌ها و حفره‌ها دوباره با هم ترکیب می‌شوند ولی بعضی از آنها به سطح مهاجرت می‌کنند. بنابراین حفره‌ها سبب اکسیداسیون مولکول‌های آلی جذب شده روی سطح شده، در حالی که الکترون‌ها سرانجام با اکسیژن اتمسفر ترکیب شده و رادیکال‌های سوپر اکسیدی می‌دهند، که به سرعت به مولکول‌های آلی حمله می‌کنند، که نتیجه آن تمیز شدن سطح در دمای اتاق به وسیله احتراق سرد می‌شود که مولکول‌های آلی تبدیل به دی‌اکسیدکربن و آب می‌شوند. مکانیزم فتوکاتالیستی تیتانیا به طور شماتیک در شکل ۲ نشان داده شده است [۷].



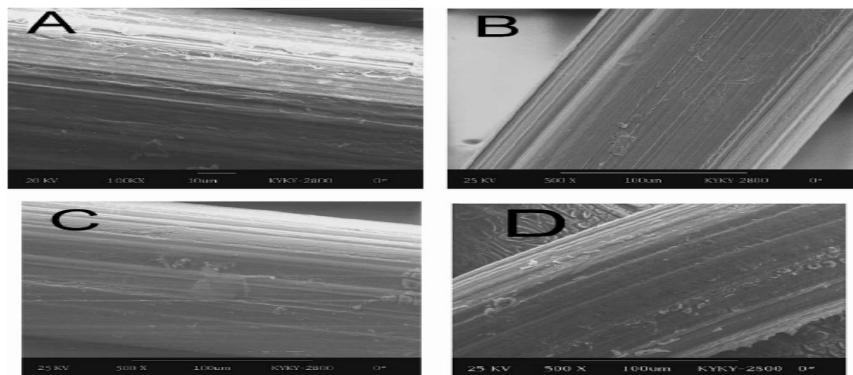
شکل ۲- مکانیزم فتوکاتالیستی تیتانیا

۴- عوامل موثر بر خاصیت فتوکاتالیستی

عوامل مختلفی بر خواص فتوکاتالیستی تیتانیا تاثیر می‌گذارند که بعضی از این عوامل بارز عبارتند از:

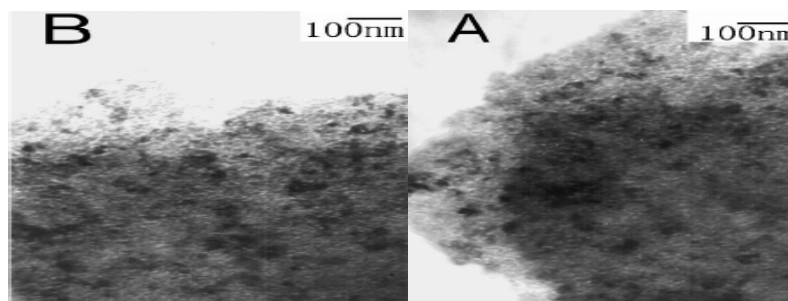
۴-۱- اثر ضخامت در پوشش‌های فتوکاتالیست

یکی از عوامل موثر بر روی خاصیت فتوکاتالیستی این پوشش‌ها، ضخامت پوشش است. شانگ و همکارانش اثر ضخامت پوشش فتوکاتالیست تیتانیا را بر روی تجزیه فرمالدئید در اثر تابش ماءوae بنفش بررسی کردند [۶]. نتایج حاصل از آزمایش‌ها نشان داد که با افزایش زمان تابش، غلظت فرمالدئید تجزیه شده افزایش می‌یابد [۳۵]. همچنین مشاهده شد که افزایش ضخامت پوشش نیز همان اثر را دارد. شکل ۳ مورفولوژی سطح ماده پایه (فولاد زنگ نزن) و پوشش با ضخامت‌های مختلف را نشان می‌دهد. همانطور که مشاهده می‌شود تا ضخامت ۲۵۰ nm، پوشش به صورت یکنواخت بر روی ماده پایه قرار گرفته است، اما در ضخامت ۳۶۰ nm، اگریگیت‌ها بر روی سطح تشکیل شده‌اند (شکل ۳، D). شکل ۴ تصویر TEM از لایه تیتانیا را نشان می‌دهد. این لایه از ذرات کروی شکل تیتانیا با اندازه حدود ۱۰ nm تشکیل شده است. با افزایش ضخامت، پیک‌های مربوط به فاز آناتاز قوی‌تر شده و پیک آهن حذف می‌شود. در نتیجه با افزایش کریستالیزاسیون بهتر صورت می‌گیرد و ضخامت موجب پوشاندن اثر نفوذ آهن به درون ساختار شده است [۶].



شکل ۳ - تصاویر SEM از (A) پایه فولاد زنگ نزن و پوشش‌های تیتانیا به ضخامت‌های (B) ۵۰، (C) ۲۵۰ (D) ۳۶۰ نانومتر [۶]

بعضی از استرآژی‌هایی که برای بهبود این پوشش‌ها بکار بردۀ می‌شود، افزایش مساحت سطح لایه، افزایش تعداد الکترون-حفره‌های تولید شده و افزایش میزان ماندگاری این جفت‌ها در مواد به وسیله کاهش سرعت ترکیب جفت الکترون-حفره‌های تولید شده می‌باشد. یک روش سریع و واضحی که می‌توان به وسیله آن ضریب جذب نور UV را افزایش داد و در نتیجه آن میزان بارهای تحریک شده را افزایش داد، افزایش ضخامت لایه می‌باشد در حالی که لایه‌های ضخیم هم گران بوده و هم زمان پوشش‌دهی آن بالا است و میزان موادی که برای پوشش نیاز داریم زیاد می‌باشد. ماندگاری، وضوح نوری و خواص مورد نیاز برای یک پوشش روی شیشه، در لایه‌های ضخیم ضعیفتر می‌باشد، در حالی که برای اکثر کاربردهای دیگر این مشکلات کمتر مورد توجه می‌باشد [۶].



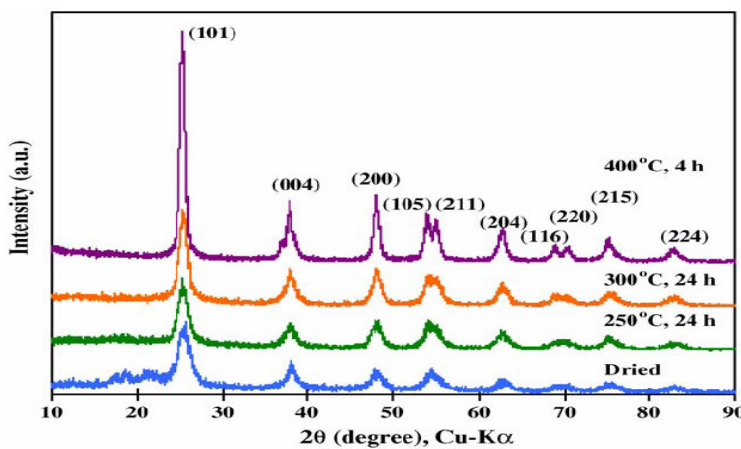
شکل ۴- تصاویر TEM از لایه‌های تیتانیا با ضخامت‌های (A) 50، (B) 360 نانومتر.

۴-۲- اثر شکل و اندازه ذرات بر خاصیت فتوکاتالیستی

شکل و اندازه ذرات با توجه به اثری که بر روی سطح ویژه پودر دارند، خاصیت فتوکاتالیستی تیتانیا را شدیداً تحت تأثیر قرار می‌دهند. به همین علت محققان به فکر تهیه پودرهای متخلخل با سطح ویژه بسیار بالا افتادند. پس از ساخت پودرهای مزوپور^۱ برای اولین بار توسط ینگ و انتونیلی که با استفاده از یک سورفکتانت فسفری تهیه شد، روش‌های مختلفی برای ساخت ذرات مزوپور ابداع شده است [۱۰]. پودرهای مزوپور پودرهایی هستند که تخلخل در ابعاد حدود ۱۰ nm دارند. از خواص این پودرها سطح ویژه بسیار بالا و توزیع یکنواخت اندازه حفره‌های درون ذرات است [۱۱]. تجربیات آزمایشگاهی کوشیتانی و همکارانش نشان داده‌اند که تهیه پودرها به صورت مزوپور خواص فتوکاتالیستی آن‌ها را تا چندین برابر افزایش می‌دهد [۱۲].

۴-۳- اثر شرایط کلسیناسیون بر خاصیت فتوکاتالیستی

واضح است که با بالا رفتن زمان و دمای کلسیناسیون، تمایل به تشکیل فازهای پایدارتر افزایش می‌یابد. پس در سنتز به روش سل-ژل که در اثر کلسیناسیون ابتدا فاز نیمه پایدار آناتاز و سپس فاز پایدار روتایل تشکیل می‌شود. دما و زمان نامناسب می‌تواند موجب عدم تشکیل فاز روتایل شود. همان‌طور که گفته شد فاز آناتاز خاصیت فتوکاتالیستی بهتری نسبت به روتایل از خود نشان می‌دهد. بنابراین شرایط کلسیناسیون در پروسه ساخت نانو ذرات تیتانیا از اهمیت ویژه‌ای برخوردار است. شکل ۵، اثر شرایط مختلف کلسیناسیون را بر تشکیل فاز آناتاز از ژل نشان می‌دهد. همان‌طور که انتظار داریم انالیز XRD نشان می‌دهد که افزایش زمان و دمای کلسیناسیون موجب بهمود تشکیل فاز کریستالی آناتاز از ژل خشک شده است [۱۲]. همان‌طور که گفته شد تیتانیا به فرم‌های آمورف، بروکیت، آناتاز و روتایل وجود دارد. روتایل تنها پلی‌مورف تیتانیا است که در محیط از لحاظ ترمودینامیکی پایدار است، در حالی که دو فاز دیگر یعنی آناتاز و بروکیت به دلیل شرایط سینتیکی به وجود می‌آیند و از لحاظ ترمودینامیکی نیمه پایدار هستند. فازهای روتایل و آناتاز از این ماده بیشتر شناخته شده و مورد استفاده هستند. فاز آناتاز فعالیت فتوکاتالیستی بیشتری از خود نشان می‌دهد [۱۳] و ساختار این فاز از اهمیت بیشتری برخوردار است [۱۴].



شکل ۵- اثر شرایط کلسیناسیون بر شدت پیک فاز آناتاز

^۱ Mesoporous

در اثر کلسیناسیون، تیتانیا از حالت آمورف به آناتاز و از آناتاز به روتایل تغییر شکل می‌دهد. دمای انجام استحاله‌های فازی در تیتانیا با توجه به نوع ماده اولیه و روش سنتز متفاوت است. در مراجع دمای تبدیل فازی از حالت آمورف به ساختار کریستالی آناتاز حدود 400°C – 350°C ذکر شده است^[۱۵]. دمای استحاله آناتاز– روتایل در محدوده 600°C – 900°C ذکر شده است^[۱۶]. در حالی که در برخی دیگر دمای این استحاله فازی در محدوده دمایی 800°C – 600°C ذکر شده است^[۱۷]. در تحقیقی که توسط جیانگنگ و همکارانش صورت گرفت، دمای استحاله آناتاز – روتایل بین 500°C – 600°C به دست آمد^[۱۸]. کیم و همکاران نیز به بررسی اثر دمای کلسیناسیون روی ساختار کریستالی پوشش تیتانیا روی شیشه کوارتز پرداختند. نتایج آنالیز XRD از نمونه‌های سنتز شده حاکی از این بود که در دماهای کلسیناسیون پایین‌تر از 300°C ساختار تیتانیای حاصل آمورف بوده^[۳۶]. ولی وقتی دمای کلسیناسیون به 400°C افزایش یافت، ساختار از حالت آمورف به ساختار کریستالی آناتاز تبدیل شده و با افزایش بیشتر دما تا 1000°C ساختار کریستالی روتایل حاصل گردید^[۱۸].

۴-۴-اثر افزودنی‌ها بر خاصیت فتوکاتالیستی

متخصصان سعی بر آن دارند که خواص تیتانیا را با افزودن یون‌های فلزات مختلف بهبود بخشدند^[۳۵]. افزودن یون‌های فلزات به درون این ماده دو اثر می‌تواند^[۳۶] داشته باشد:

الف) تغییر طول موج جذبی توسط ماده: با تغییر طول موج نور جذبی از اشعه ماوراء بنفش به نور مرئی، می‌توان بازده را افزایش داد. با توجه به این که نور مرئی 45% و اشعه ماوراء بنفش فقط 5% از نور خورشید را تشکیل می‌دهند، بنابراین تلاش محققان در جهت کاربرد تیتانیا تحت تابش نور خورشید برای بهبود خواص فتوکاتالیستی بوده است.

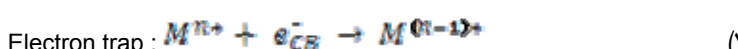
ب) افزایش بازده فتوکاتالیست: با مانع شدن از ترکیب مجدد^۱ ناقل‌ها با یکدیگر.

فلزات نجیب^[۲۷]، مثل Cu, Ni, Ag, Pt, Au, Pd, Rh فرمی افزایش فعالیت فتوکاتالیستی بسیار موثر هستند^[۳۱]. وقتی سطح فرمی فلزات نجیب پایین‌تر از سطح فرمی تیتانیا می‌باشند، الکترون‌های تهییج شده در اثر تابش فوتون‌ها، می‌توانند از باند هدایت تیتانیا به باند هدایت ذرات فلزی رسوب داده شده در سطح تیتانیا انتقال داده شوند، در حالی که حفره‌های تولید شده در باند ظرفیت تیتانیا باقی می‌مانند. این فرآیند احتمال ترکیب مجدد جفت الکترون – حفره را کاهش داده و بدین ترتیب بازده واکنش‌های فتوکاتالیستی را افزایش می‌دهد^[۸].

دوب کردن^۲ یون فلزات انتقالی و یون فلزات کمیاب خاکی نیز جهت افزایش خواص فتوکاتالیستی^[۲۴] مورد بررسی قرار داده شده‌اند^[۲۵]. دوب کردن یون‌های فلزی می‌تواند گستره‌ی اثر گذاری فوتون را در محدوده نور مرئی بهتر کند. یا قرارگیری یون‌های فلزی در شیکه تیتانیا، سطوح انرژی ناخالصی در باند ممنوعه تیتانیا تشکیل می‌شود^[۳۵] که به صورت روابط زیر توصیف می‌شوند:



که در روابط بالا M^{n+} و $M^{(n+1)+}$ فلز و یون فلزی ذوب شونده می‌باشند^[۳۶]. همچنین انتقال الکترون (حفره) بین یون‌های فلزی و تیتانیا می‌توانند ترکیب مجدد الکترون – حفره را به صورت زیر تغییر دهند:



سطح انرژی M^{n+} / $M^{(n+1)+}$ باید از لبه باند هدایت تیتانیا با علامت منفی، کمتر باشد در حالی که سطح انرژی M^{n+} / $M^{(n-1)+}$ علامت مثبت کمتر از لبه باند ظرفیت تیتانیا باشد.

¹ Recombination
² Doping

در واکنش‌های فتوکاتالیستی، حامل‌های بار به همان اندازه حامل‌های به دام افتاده مهم بوده و در میزان فعالیت فتوکاتالیستی موثر می‌باشند. تنها در صورتی واکنش‌های فتوکاتالیستی اتفاق می‌افتد که الکترون و حفره‌های به دام افتاده به سطح منتقل شوند. بنابراین دوب کردن یون‌های فلزی باید در نزدیکی سطح باشد تا انتقال بار بهتری در فرایندهای فتوکاتالیستی صورت پذیرد [۳۵]. در مواردی که دوب کردن در لایه به صورت عمیق باشد، یون‌های فلزی به صورت مراکز ترکیب مجدد الکترون‌ها و حفره‌ها عمل کرده و سبب کاهش فعالیت فتوکاتالیستی می‌شود. همچنین یک میزان بهینه‌ای برای غلضت یون‌های دوب شونده فلزی می‌باشد که در مقادیر بالای این حد، به علت افزایش ترکیب مجدد حامل‌های بار، فعالیت فتوکاتالیستی کاهش می‌یابد [۳۶]. در میان ۲۱ یون فلزی مطالعه شده، یون‌های فلزی Ru , Fe , Mo , V , Re می‌توانند فعالیت فتوکاتالیستی را افزایش دهند [۳۴]. تاثیرات مختلف یون‌های فلزی از میزان توانایی یون‌های فلزی در به دام انداختن یا انتقال الکترون – حفره‌ها مشخص می‌شود. به عنوان مثال یون‌های Mn و Al نه تنها الکترون‌ها بلکه حفره‌ها را نیز می‌توانند به دام بیندازند. در این حالت انرژی ناچالص تولید شده در نزدیکی باند هدایت به خوبی لبه‌های باند ظرفیت تیتانیا می‌باشد. بنابراین دوب شدن یون‌های فلزی Mn و Al آهن جهت افزایش خواص فتوکاتالیستی پیشنهاد شده است [۳۴]. ناچالص‌ها به صورت عمدۀ می‌توانند روی خواص فتوکاتالیستی تیتانیا و در غلظت‌های پایین تاثیرگذار باشند. مطالعه بر روی فتوکاتالیست‌های ویژه نشان داده که حضور 10% روتایل در زمینه آناتاز میزان فتوکاتالیستی در ذرات میکرو اندازه را بیشتر از ذرات نانویی کاهش می‌دهد. بسته به روش استفاده شده جهت پوشش‌دهی، دوب شونده می‌تواند به صورت تک فاز ترکیب شده با اکسید یا یک فاز جداگانه وجود داشته باشد و دوب شونده‌های ویژه بسته به نوع آنها رفتارهای متفاوتی از خود نشان می‌دهند. دوب شونده‌های فلزات انتقالی به طور گسترده‌ای مورد استفاده قرار گرفته است و زمانی که به صورت ترکیب شده با فاز اکسید باشد بر اساس تاثیرشان به دو حالت، حالت اکسیداسیون پایین و حالت اکسیداسیون بالا تقسیم می‌شوند. فلزات با حالت اکسیداسیون پایین‌تر از $+4$ مثل Co^{2+} , Fe^{3+} , Ni^{2+} , W^{6+} , Mo^{5+} میزان فعالیت فتوکاتالیستی را کاهش می‌دهند [۷]. روش‌های مختلفی جهت بهبود خاصیت فتوکاتالیستی پوشش‌های تیتانیا، تحت نور مرئی استفاده شده که از جمله آنها می‌توان به روش‌های زیر اشاره کرد:

- روشی جهت جایگزینی Ti در تیتانیا با یکی از فلزات انتقالی [۲۶].
- روشی جهت شرکت جاهای خالی اکسیژن در تیتانیا.
- روشی جهت جایگزینی اکسیژن در تیتانیا با نیتروژن.
- روشی جهت جایگزینی اکسیژن در تیتانیا با کربن.

می‌توان نانوذرات را در پوشش‌هایی که به وسیله سل-ژل یا رسوب‌دهی چرخشی سنتز شده‌اند، وارد شبکه تیتانیا نمود. نانوذرات فلزی طلا و پلاتین می‌توانند در افزایش میزان فتوکاتالیستی تیتانیا با عمل بارهای جداگانه همکاری کنند. بدین صورت که الکترون تحریک شده از باند هدایت نیمه هادی به فلز انتقال می‌یابد و بدین ترتیب مانع از ترکیب مجدد الکترون – حفره می‌شوند [۳۵]. سپس الکترون‌های تجمع کرده روی ذرات فلز به روی سطح ذرات جذب شده‌ای که روی سطح احیا شده‌اند، رفته و منجر به افزایش سرعت خودتیمیزشوندگی شوند زیرا میزان احیاء روی سطح ذرات فلزی سریع‌تر از میزان احیاء روی ذرات نیمه هادی می‌باشند. نیمه هادی‌هایی با فازهای جدا از هم می‌توانند هم به صورت نانوذرات مشارکت کرده و هم به صورت لایه‌های جدا از هم، با تیتانیا جفت شوند [۳۶]، که منجر به اتصال غیر همگنی نیمه‌هادی‌ها می‌شود. در چنین فصل مشترک‌هایی، الکترون‌ها و حفره‌ها بسته به میزان انرژی بین باند هدایت و ظرفیت، بین فازها مهاجرت می‌کنند. این فرآیند فاز تیتانیا را بر حسب ماهیت نیمه‌هادی، اکتیو و غیر اکتیو می‌سازد. بر حسب جفت شوندگی نیمه‌هادی‌های جذب کننده نور مرئی مثل CdS , WS_2 یا تیتانیا، نور مرئی می‌تواند بارهای حامل را به فاز تیتانیا انتقال داده که در نهایت سبب افزایش فتوکاتالیستی و آبدوستی می‌شود [۷].

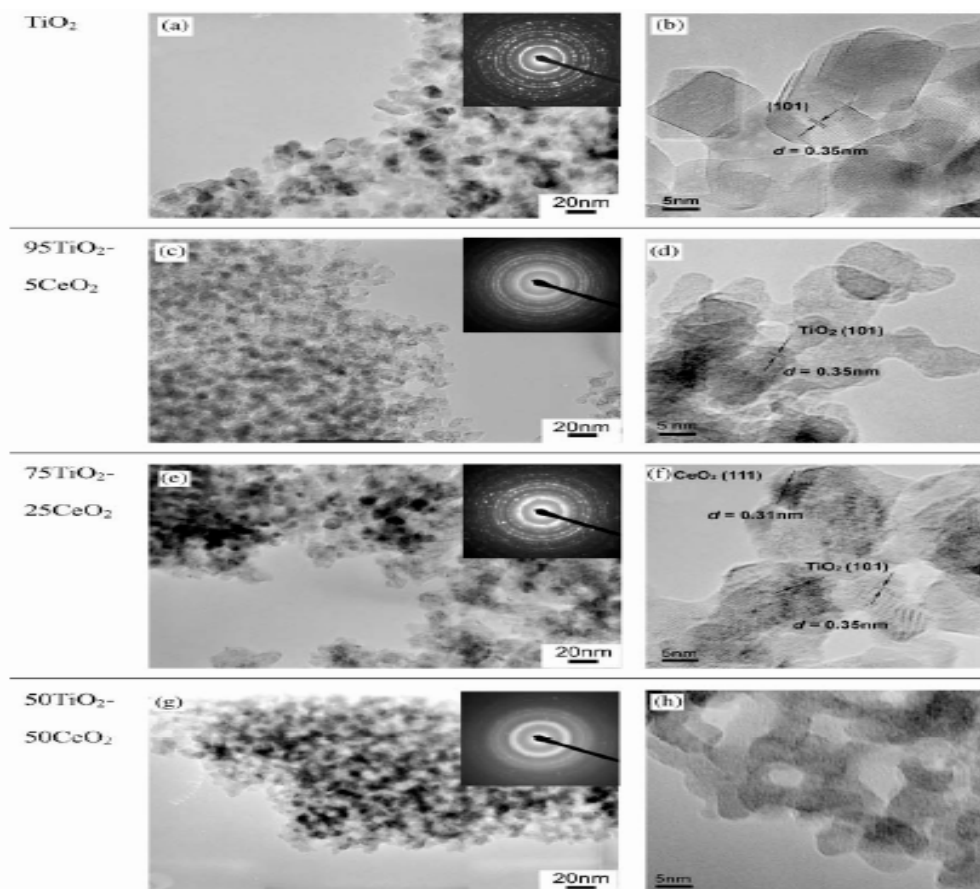
پاآسپوره و همکارانش اکسیدهای فلزی مختلفی را در کنار تیتانیا مورد بررسی قرار دادند و دریافتند که با افزودن مقدار مناسب از CeO_2 به تیتانیا می‌توان طول موج جذبی را به سمت طول موج‌های مرئی تغییر داد. مشاهدات این گروه نشان داد که با افزودن این اکسید تا ۵٪ مولی، فاز آناتاز همچنان تشکیل می‌شود و هنوز اثری از تشکیل فاز مکعبی CeO_2 مشاهده نشده است

[۲۷]. عکس‌های TEM گرفته شده از این پودرها نشان می‌دهد که با افزایش مقدار CeO_2 اندازه ذرات کمی کوچکتر شده‌اند (شکل ۶).

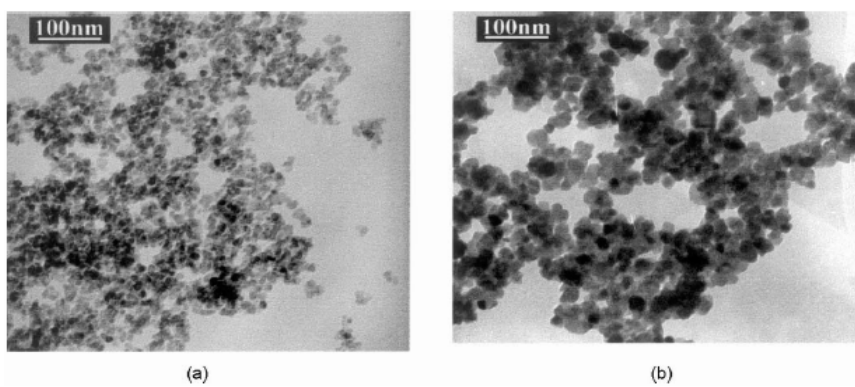
یوآن و همکارانش نشان دادند، افزودن همزمان یون‌های Fe^{+3} و Zn^{+2} به درون ساختار تیتانیا موجب بمبود چشمگیر خواص فتوکاتالیستی آن می‌شود [۲۸]. تصاویر TEM مربوط به (الف) با و (ب) بدون دوب شدن همزمان این دو یون به داخل ساختار در شرایط آنیل در دمای 500°C به مدت ۲ ساعت در شکل ۷ نشان داده شده است.

تحقیقات زیادی برای اصلاح تیتانیا پیشنهاد شده که شامل:

- تیتانیای القاء شده با یون فلزی [۲۹] (استفاده از فلزات انتقالی: Pt)
- فتوکاتالیست TiO_X احیا شده (Reduced TiO_X photocatalysts)
- فتوکاتالیست تیتانیای دوب شده با غیر فلزات (مثل: I)

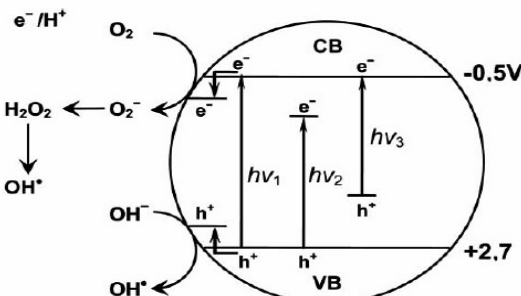


شکل ۶- تصاویر TEM و SAED از نانو پودرهای سنتز شده [۲۷].



شکل ۷- تصاویر TEM مربوط به (الف): با و (ب): بدون دوب شدن همزمان [۲۸].

فتواکتیویتی تیتانیای دوب شده با فلز تحت نور مرئی می‌تواند با ایجاد یک سطح انرژی جدید در باند منوعه تیتانیا به وسیله پراکنده سازی نانوذرات فلزی در زمینه تیتانیا توجیه گردد [۳۳]. با توجه به شکل ۸، الکترون می‌تواند با انرژی برابر $h\nu_2$ به CB تیتانیا برود [۳۵]. علاوه بر این ویژگی فلزات انتقالی (پایین آوردن سطح CB تیتانیا)، اضافه شدن فلزات انتقالی در زمینه تیتانیا، باعث به دام افتادن الکترون‌ها و کاهش ترکیب مجدد جفت الکترون- حفره می‌شود که منجر به افزایش فعالیت فتوکاتالیستی می‌گردد [۳۶].



شکل ۸- مکانیزم فتوکاتالیست تیتانیا: $h\nu_1$: تیتانیای خالص و $h\nu_2$: تیتانیای دوب شده با فلز، $h\nu_3$: تیتانیای دوب شده با غیرفلزات [۳۴] و [۳۳].

۵- نتیجه‌گیری

نانوذرات تیتانیا به دلیل دارا بودن خواصی از قبیل قیمت پایین، پایداری شیمیایی یا خشی بودن شیمیایی و بیولوژیکی، در دسترس و غیرسمی بودن، زیست سازگاری و خواص فیزیکی، نوری و الکتریکی پرکاربردترین فتوکاتالیست در تخریب بسیاری از ترکیبات آلی، باکتری‌ها، ویروس‌ها و تصفیه آب می‌باشد. بهبود عملکرد فتوکاتالیست‌ها به شدت به فناوری نانو وابسته است. نانوفتوکاتالیست‌ها خواص فتوکاتالیستی و استفاده‌های تجاری بهتری دارند و پژوهشگران در جستجوی روش‌های جدیدی برای تهییه نانوفتوکاتالیست‌های جامدی هستند که به طور موثر بتوانند انرژی خورشید را به انرژی شیمیایی تبدیل کنند لذا در این مقاله موری سعی شده به بررسی مختصاتی از عوامل موثر بر خاصیت پوشش‌های فتوکاتالیستی نانو ذره اکسید تیتانیم پرداخته شود که با افزایش ضخامت پوشش فتوکاتالیست تیتانیا پیک‌های مربوط به فاز آناتاز قوی‌تر شده در نتیجه با افزایش ضخامت تیتانیا، کریستالیزاسیون بهتر صورت می‌گیرد و ضخامت موجب پوشاندن اثر نفوذ یون دوبنت فلزی به درون ساختار شده است. یکی دیگر از عوامل مهم بر خاصیت پوشش‌های فتوکاتالیستی که در این چند دهه تحقیقات فراوانی بر روی آن نجات شده، دوب کردن انواع یون‌های فلزی و غیرفلزی در ساختار تیتانیا است که باعث تعییر طول موج نور جذبی از اشعه ماوراء بنفش به نور مرئی و مانع شدن از ترکیب مجدد ناقل‌ها با یکدیگر می‌شود که این امر منجر به افزایش خاصیت فتوکاتالیستی نانوذرات تیتانیا می‌شود. عواملی دیگری همچون تهییه پودرها به صورت مزوپور خواص فتوکاتالیستی آن‌ها را تا چندین برابر افزایش می‌دهد و اثر کلسانیاسیون که تیتانیا را از حالت آمورف به آناتاز و از آناتاز به روتایل تعییر شکل می‌دهد. دمای انجام استحاله‌های فازی در تیتانیا با توجه به نوع ماده اولیه و روش سنتر متفاوت است.

مراجع

- [1] Gnaser. H, Huber. B, and Ziegler. C., "Encyclopedia of Nanoscience and Nanotechnology", American Scientific Publisher, New York, (2004).
- [2] Thompson. T. L, and Yates. J. T., "Surface Science Studies of the Photoactivation of TiO₂-New Photochemical Processes", Chem. Rev., 106, 4428-4453, (2006).
- [3] هوابی، م و کاظمی، د، پایان نامه‌های فناوری نانو مرتبط با دی اکسید تیتانیوم. مجله فناوری نانو، سال ۹ شماره ۴ ص ۳۰-۳۵ .۱۳۸۹
- [4] Chen. X, Mao. S.S, "Titanium Dioxide Nanomaterials: Synthesis, Properties, Modification and Applications", Chem. Rev. 107 (2007) 2891-2959.
- [5] Carp, O., Huisman, C. L., & Reller, A Photoinduced Reactivity of Titanium Dioxide. Journal of Progress in

- Solid State Chemistry, 32, 33-177, (2004).
- [6] Kavan. L, GraTzel. M, Gilbert. S.E, Klemenz. C, Scheel. H.J, "Electrochemical and Photoelectrochemical Investigation of Single-Crystal Anatase", J. Am. Chem. Soc. 118 (1996) 6716-6723.
- [7] Parkin. I. P, Palgrave. R. G, "Self-Cleaning Coatings", Journal of Materials Chemistry, 15 (2005) 1689–1695.
- [8] Ni. M, Leung. M.K.H, Leung. D.Y.C, Sumathy. K, "A Review and Recent Developments in Photocatalytic Water-Splitting Using TiO₂ For Hydrogen Production", Renewable and Sustainable Energy Reviews, 11 (2007) 401–425.
- [9] Shang. J, Li. W, Zhu. Y, "Structure And Photocatalytic Characteristics of TiO₂ Film Photocatalyst Coated on Stainless Steel Webnet"; Journal of Molecular Catalysis A: Chemical 202 (2003) 187–195.
- [10] Antonelli. D. M, Ying. J. Y, "Synthesis of Hexagonally Packed Mesoporous TiO₂ By A Modified Sol-Gel Method", Angewandte Chemie, 34 (1995) 2014-2017.
- [11] Sreethawong. T, Yamada. Y, Kobayashi. T, Yoshikawa. S, "Catalysis of Nanocrystalline Mesoporous TiO₂ On Cyclohexene Epoxidation With H₂O₂: Effects of Mesoporosity and Metal Oxide Additives", Journal of Molecular Catalysis A: Chemical 241 (2005) 23–32.
- [12] Koshitani. N, Sakulkhaemaruethai. S, Suzuki Y, Yoshikawa. S, "Preparation of Mesoporous Titania Nanocrystals Using Alkylamine Surfactant Templates", Ceramics International, 32 (2006) 829-824.
- [13] Melghit. K, Al-Rabiah. S. S, Al-Amri. I, "Low Temperature Preparation and Characterization of Nanospherical Anatase TiO₂ and Its Photocatalytic Activity on Congo Red Degradation Under Sunlight" Ceramics International 34 (2008) 479-483.
- [14] Sivalingam. G, Nagaveni. K, Hegde. M.S, Madras. G, "Photocatalytic Degradation of Various Dyes By Combustion Synthesized Nano Anatase TiO₂", J. Applied Catalysis B: Environmental 45 (2003) 23-38.
- [15] [2 Thin Films Prepared By Sol-Gel Dip Coating", Materials Letters, 57 \(2002\) 355-360.](http://www-scopus-com.ezlibproxy1.ntu.edu.sg/record/display.url?eid=2-s2.0-3042732317&origin=resultslist&sort=plf-f&src=s&st1=Influence+of+calcination+temperature+on+structural+and+optical+properties+of+TiO2+thin+films+prepared+by+sol-gel+dip+coating&sid=wqXklAzP81Ub3_LkpzPRTvy%3a220&sot=b&sdt=b&sl=139&s=TITLE-ABS-KEY%28Influence+of+calcination+temperature+on+structural+and+optical+properties+of+TiO2+thin+films+prepared+by+sol-gel+dip+coating%29&relpos=0&relpos=0&searchTerm=TITLE-ABS-KEY%28Influence%20of%20caKim. D.J, Hahn. S.H, Oh. S.H, Kim. E.J,)
- [16] Bala. H, Guo. Y, Zhao. X, Zhao. J, Fu. W, Ding. X, Jiang. Y, Wang. Z, "Controlling the Particle Size of Nanocrystalline Titania Via A Thermal Dissociation of Substrates With Ammonium Chloride"; Materials Letters 60 (2006) 494–498.
- [17] Negishi. N, Takeuchi. K, "Structural Changes of Transparent TiO₂ Thin Films With Heat Treatment", J. Mater. Lett. 38 (1999) 150-153.
- [18] Li. J, Ye. Y, Shen. L, Chen. J, Zhou. H, "Densification and Grain Growth During Pressureless Sintering of TiO₂ Nanoceramics"; Materials Science and Engineering A 390 (2005) 265–270.
- [19] Wu. N.L, Lee. MS, "Enhanced TiO₂ Photocatalysis By Cu in Hydrogen Production From Aqueous Methanol Solution" Int. J. Hydrogen Energy, 29 (2004) 1601–1605.
- [20] John. St. MR, Furgals. A.J, Sammells. A.F, "Hydrogen Generation By Photocatalytic Oxidation of Glucose By Platinized N-TiO/Sub2/Powder", J. Phys Chem, 87 (1983) 801-805.
- [21] Park. H, Lee. J, Choi. W, "Study of Special Cases Where the Enhanced Photocatalytic Activities of Pt/TiO₂ Vanish Under Low Light Intensity", Catalysis Today 111 (2006) 259–265.
- [22] Tseng. I.H, Chang. W.C, Wu. J.C.S, "Photoreduction of CO₂ Using Sol-Gel Derived Titania and Titania-Supported Copper Catalysts", Appl Catal B Environ, 37 (2002) 37-48.
- [23] Kamat. P.V, Flumiani. M, Dawson. A, "Metal-Metal and Metal-Semiconductor Composite Nanoclusters", Colloids and Surfaces A-Physicochemical and Engineering Aspects, 202 (2002) 269-279.
- [24] Choi. W.Y, Termin. A, Hoffmann. M.R, "The Role of Metal-Ion Dopants in Quantum-Sized TiO₂: Correlation Between Photoreactivity and Charge-Carrier Recombination Dynamics", J Phys Chem, 84 (1994) 13669-13679.
- [25] Xu. J.C, Shi. Y.L, Huang. J.E, B.Wang. Li. H.L, "Doping Metal Ions Only Onto the Catalyst Surface", J Mol Catal A: Chem, 219 (2004) 351-355.
- [26] Maruska. H.P, Ghosh. A.K, "Transition-Metal Dopants for Extending the Response of Titanate Photoelectrolysis Anodes", Solar Energy Materials, 1 (1979) 237-247.
- [27] Pavasupree. S, Suzuki. Y, Pivsa-Art. S, Yoshikawa. S, "Preparation and Characterization of Mesoporous MO₂ (M = Ti, Ce, Zr, and Hf) Nanopowders By A Modified Sol-Gel Method"; Ceramics International 31 (2005) 959–963.
- [28] Yuan. Z.H, Jia. J.H, Zhang. L.D, "Influence of co-doping of Zn²⁺ and Fe³⁺ on the Photocatalytic Activity of TiO₂ For Phenol Degradation", Materials Chemistry and Physics 73 (2002) 323–326.
- [29] Anpo. M, "Use of Visible Light. Second-Generation Titanium Dioxide Photocatalysts Prepared By the Application of an Advanced Metal Ion-Implantation Method", Pure Appl Chem, 72 (2000) 1787-1792.
- [30] Fuerte. M, Maira. A.J, Martinez-Arias. A, Fernandez-Garcia. M, Conesa. J.C, Soria. J, "Visible Light-Activated Nanosized Doped-TiO₂ Photocatalysts", Chem Commun 24 (2001) 2718-2719.
- [31] Yamashita. H, Harada. M, Misaka. J, "Application of Ion Beam Techniques For Preparation of Metal Ion-Implanted TiO₂ Thin Film Photocatalyst Available Under Visible Light Irradiation: Metal Ionimplantation and Ionized Cluster Beam Method", J Synchrotron Rad 8 (2001) 569-571.
- [32] Ohno. T, Mitsui. T, Matsumura. M., Photocatalytic Activity of S Doped TiO₂ Photocatalyst under Visible

- Light. Chem Lett 32 (2003) 364-365.
- [33] Hoffmann. M.R, Martin. S.T, Choi. W, and Bahnemann. D.W, "Environmental Applications of Semiconductor Photocatalysis", Chem. Rev., 95 (1995) 69-96.
- [34] Fujushima. A, Rao. T.N, Tryk. D.A, "Titanium Dioxide Photocatalysis", J Photochem Photobiol C Photochem Rev, 1 (2000) 1-21.
- [۳۵] اعلمی فریمان، ن، اثر افزودنی‌های همزنان Nb و V بر خواص ساختاری و نوری لایه نازک اکسید تیتانیم، پایان نامه کارشناسی ارشد، دانشگاه ملایر، ص ۹۹-۱۲، شهریور، ۱۳۹۴.
- [36] Koozegar Kaleji. B, A'Alami Fariman. N, Hosseiniabadi. N, "Fabrication of Nb/V co-doped TiO₂ thin film and study of structural, optical and photocatalytic properties" Int. J. Nano Dimens., 8 (3): 265-273, Summer 2017.



مهندس نوید عطازاده،
نویسنده اول مقاله، دانشگاه
صنعتی مالک اشتر

Atazadeh_navid@yahoo.com

مروری بر سنتز مکس فاز Ti_3SiC_2 به روش سینتر بدون فشار

نوید عطازاده*، مینا سعیدی حیدری، حمیدرضا بهاروندی

دانشگاه صنعتی مالک اشتر

چکیده: تیتانیوم سیلیکون کاربید (Ti_3SiC_2) یکی از متدائل ترین مکس فازها است که به علت ساختار لایه‌ای دارای خواص منحصر به فردی است. جالب ترین خاصیت Ti_3SiC_2 این است که می‌توان آن را به صورت شکل‌های پیچیده ماشین کاری نمود. همچنین به دلیل کاربردهای متنوع مانند روکش‌های ضد تشبع در صنایع هسته‌ای، سروپیس دهی در دماهای بالا و متوسط، سروپیس دهی در شرایط مقاوم در برابر ضربه و شوک حرارتی و المنت‌های گرمایی؛ این نوع از مکس فاز بیشتر مورد توجه قرار گرفته است. طیف گسترده‌ای از روش‌های سینتر مختلف در دماهای بالا برای سنتز این ماده به کار برده می‌شود که در این بین روش سینتر بدون فشار برتری های بسیاری دارد. در این مقاله سعی شده است تا تاثیر دماهای سینتر و افزودنی‌های مختلف بر سینتر بدون فشار مکس فاز Ti_3SiC_2 مورد بررسی قرار گیرد.

کلمات کلیدی: مکس فاز، Ti_3SiC_2 ، سینتر بدون فشار..

۱- مقدمه

تحقیقات دانشمندان علم مواد به کشف دسته‌ای از مواد با عنوان «مکس فازها»^۱ منجر شده است. مکس فازها (که به آنها سرامیک‌های فلزی نیز گفته می‌شود) دارای رفتارهای دوگانه‌ای از خواص فلزات و سرامیک‌ها می‌باشند. این بدان معنا است که این دسته از مواد نه تنها خواص سرامیک‌ها را دارند، بلکه برخی از خواص فلزات را نیز دارا می‌باشند. به همین دلیل، این مواد نسبت به مواد دیگر، خاص‌تر هستند. مکس فازها مجموعه‌ای از خواص بی‌نظیر را ارائه می‌دهند که حلال بسیاری از مشکلات امروزه می‌باشند. این مواد مانند یک فلز قابلیت ماشین کاری دارند و هدایت حرارتی و الکتریکی مناسبی از خود نشان می‌دهند. همچنین در برابر شوک‌های حرارتی مقاوم هستند و در دماهای بالا در شرایط اعمال بارهای دینامیکی نیز خواص خود را حفظ می‌کنند و مانند سرامیک‌ها، دیرگذار، در برابر اکسیداسیون مقاوم و سفت^۲ هستند و دانسیته نسبتاً کمی دارند. این ویژگی‌ها باعث شده است که مکس فازها کاندیدای مناسبی برای جایگزینی فلزات دما بالا و سرامیک‌ها در صنعت هوا فضا و ... باشند [۱]. این خواص شگفت‌آور از ساختار لایه‌ای مکس فازها و ماهیت پیوندهای کووالانسی فلزی که باندهای M-X M-A در آن‌ها فوق العاده قوی و باندهای M-A نسبتاً ضعیف هستند، سرچشمه می‌گیرند [۴-۲]. ترکیب Ti_3SiC_2 خواص سرامیکی برجسته‌ای مانند نقطه ذوب بالا (3000°C)، سفتی الاستیک (مدول یانگ 320 Gpa ، دانسیته پایین (مقدار تقریبی $4/53\text{ g/cm}^3$ ، مقاومت عالی در برابر خوردگی و مقاومت شیمیایی را از خود نشان می‌دهد. هم چنین دماهای پایداری حرارتی آن در اتمسفر گاز خنثی یا در محیط خلا دست کم 1700°C می‌باشد. از طرف دیگر Ti_3SiC_2 از خود خواص فلزی مانند هدایت الکتریکی نسبتاً بالا (مقدار تقریبی $10.6\Omega^{-1}\text{ m}^{-1}$ ، هدایت حرارتی مناسب ($9/6\text{ W/mk}$)، سختی پایین تر (مقدار تقریبی 4 Gpa ، مقاومت مناسب در برابر شوک‌های حرارتی و هم چنین مقاومت خوب در برابر آسیب نشان می‌دهد. علاوه بر این Ti_3SiC_2 بعد از اعمال بار فشاری 1 Gpa کاملاً برگشت پذیر

¹ MAX phase
² Stiff

است و جالب‌ترین خاصیت Ti_3SiC_2 این است که می‌توان آن را به صورت شکل‌های پیچیده ماشین کاری نمود [۳]. سنتز این ماده با استفاده از روش‌های بسیاری مانند رسوپ شیمیایی بخار، روش قوس، پرس ایزوتاتیک گرم، پرس گرم و سینتر جرقه پلاسمایی صورت گرفته است [۵]. این روش‌ها نیازمند تجهیزات خاص و مصرف انرژی بالا می‌باشند؛ به طوری که بازده تولید پایین می‌آید. فرایند عملیات در این روش‌ها پیچیده، وقت‌گیر و گران قیمت است. در این بین روش سینتر بدون فشار یک روش تجاری و مقرون به صرفه است و همچنین دارای مزایایی از جمله آماده‌سازی نمونه‌ها با اندازه بزرگ و شکل پیچیده می‌باشد، که برای ارتقای سرامیک‌هایی که در صنعت مورد استفاده قرار می‌گیرند دارای اهمیت ویژه می‌باشد. تلاش‌های متعددی بر روی سینتر بدون فشار سرامیک‌های مکس فاز صورت گرفته است. برای سینتر بدون فشار پودرهای Ti_3SiC_2 , Ti_3Si_2 , تجزیه و چگالش بطور همزمان و به شکل رقابتی در حین فرایند سینتر رخ می‌دهد. بنابراین سینتر بدون فشار برای به دست آوردن دانسیته کامل و خواص مکانیکی خوب باید در درجه حرارت پایین‌تر انجام شود. با توجه به اینکه در روش سینتر بدون فشار عوامل مختلفی نظری دما و زمان سینتر، افزودنی‌های مختلف و ... دارای اهمیت بسیاری می‌باشند در این مقاله سعی شده است تا گزارشی از کلیه فعالیت‌هایی که در خصوص سنتز مکس فاز Ti_3SiC_2 با استفاده از روش سینتر بدون فشار صورت گرفته است انجام گیرد.

۲- تأثیر دمای سینتر بر سنتز مکس فاز Ti_3SiC_2

لی^۱ و همکارانش [۶] تاثیر زمان‌ها و دماهای مختلف حرارت‌دهی را بر سنتز Ti_3SiC_2 به روش سینتر بدون فشار پودرهای عنصری مورد بررسی قرار داده‌اند. این محققان قطعات سیزرنگی از پودرهای Ti , Si و C را با نسبت مولی ۲:۳:۱ در دماهای ۱۳۴۰°C تا ۱۷۵۰°C به مدت ۱۸۰-۲۰۰ دقیقه در خلا سینتر نمودند. نتایج بیانگر این است که فاز قالب در محصولات حاصل، فاز Ti_3SiC_2 بوده و TiC نیز متناول ترین ناخالصی است. این در حالی است که قطعاتی که در دماهای بیش از اندازه بالا یا کم سینتر شده‌اند، به ترتیب حاوی فازهای Ti_5Si_2 و Ti_5Si^3 بودند. علاوه بر ترمودینامیک و سینتیک واکنش، فقدان Si و آلودگی C ممکن است از دلایل اصلی برای حضور ناخالصی‌ها باشد. در جدول ۱ محصولات حاصل از سینتر نمونه‌ها در دماها و زمان‌های مختلف اورده شده است. نمونه‌های سینتر شده در دمای ۱۴۵°C به مدت ۱۲۰ دقیقه شامل بیشترین میزان مکس فاز Ti_3SiC_2 و به مقدار ۸۱ درصد حجمی بودند.

جدول ۱- محصولات حاصل از سینتر در دماها و زمان‌های مختلف

Sintering schedule		Sintering products
Sintering temperature (°C)	Sintering time (min)	
1340	10	Ti_3SiC_2 , TiC , Ti_5Si_3
1380	10	Ti_3SiC_2 , TiC , Ti_5Si_3
1400	20	Ti_3SiC_2 , TiC , Ti_5Si_3
1450	20	Ti_3SiC_2 , TiC , $TiSi_2$, Ti_5Si_3
1500	30	Ti_3SiC_2 , TiC , $TiSi_2$
1550	30	Ti_3SiC_2 , TiC , $TiSi_2$
1600	60	Ti_3SiC_2 , TiC , $TiSi_2$
1700	60	TiC , Ti_3SiC_2 , $TiSi_2$
1750	360	TiC , $TiSi_2$

لی^۲ و همکارانش [۷] تاثیر استوکیومتری را نیز در دماهای ۱۳۸°C و ۱۴۵°C بر سنتز پودر Ti_3SiC_2 به روش سینتر بدون فشار مورد بررسی قرار داده‌اند. این محققان برای سنتز Ti_3SiC_2 از پودرهای عنصری Ti , Si و C استفاده نموده‌اند. بر اساس ترکیبات فازی و خلوص محصولات به دست آمده با پراش اشعه X ، ترکیب پودرهای عنصری و شرایط سینتر بهینه شده است. ترکیب مخلوط مواد اولیه (نسبت مولی)، کسر حجمی مکس فاز Ti_3SiC_2 سنتز شده از ترکیبات مختلف و نیز فازهای حاصل از سینتر بدون فشار این ترکیب‌ها در جدول‌های ۲ و ۳ آورده شده است. این محققان دریافت‌هایی که نمونه‌های سینتر شده در دمای ۱۴۵°C به مدت زمان ۲۴۰ دقیقه از ترکیب $3Ti/1.75Si/2C$ حاوی ۹۳ درصد حجمی از مکس فاز Ti_3SiC_2 هستند.

¹ Li
² Li

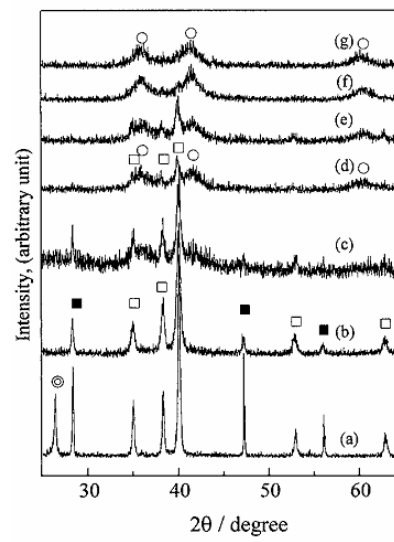
جدول ۲- ترکیب مخلوط مواد اولیه (نسبت مولی) و کسر حجمی مکس فاز Ti_3SiC_2 سنتز شده از ترکیبات مختلف

Sintering conditions		Volume fraction of Ti_3SiC_2 (%)		
T (°C)	t (min)	TSC1 ($3Ti + Si + 2C$)	TSC2 ($3Ti + 1.5 Si + 2C$)	TSC3 ($3Ti + 1.75Si + 2C$)
1380	20	-	-	-
1450	60	-	-	-
	120	81	82	87
	180	-	91	89
	240	-	91	93
	300	-	87	90

جدول ۳- فازهای حاصل از سینتر بدون فشار ترکیب‌های مختلف

Resulting phases identified by XRD		
TSC1 ($3Ti + Si + 2C$)	TSC2 ($3Ti + 1.5 Si + 2C$)	TSC3 ($3Ti + 1.75Si + 2C$)
Ti_3SiC_2 , TiC , Ti_5Si_3 , C	Ti_3SiC_2 , TiC , Ti_5Si_3 , C	Ti_3SiC_2 , TiC , Ti_5Si_3 , $TiSi_2$, C
Ti_3SiC_2 , TiC , Ti_5Si_3 , $TiSi_2$, C	Ti_3SiC_2 , TiC , Ti_5Si_3	Ti_3SiC_2 , TiC , Ti_5Si_3 , $TiSi_2$
Ti_3SiC_2 , TiC	Ti_3SiC_2 , TiC	Ti_3SiC_2 , TiC
Ti_3SiC_2 , TiC , Ti_5Si_3 , $TiSi_2$	Ti_3SiC_2 , TiC	Ti_3SiC_2 , TiC
-	Ti_3SiC_2 , TiC	Ti_3SiC_2 , TiC
-	Ti_3SiC_2 , TiC	Ti_3SiC_2 , TiC , $TiSi_2$

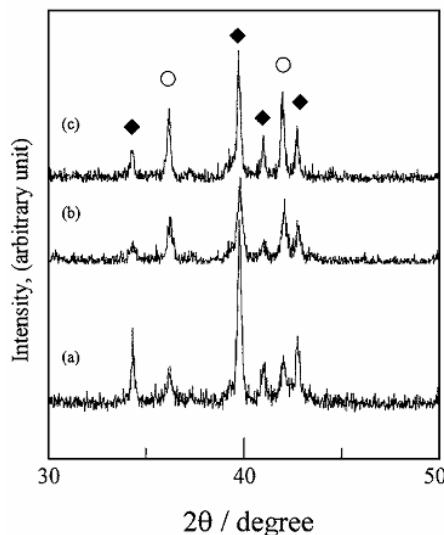
لی^۱ و همکارانش [۸] تاثیر زمان‌های مختلف آسیاب را در دماهای مختلف بر سنتز Ti_3SiC_2 به روش سینتر بدون فشار پودرهای عنصری Ti , Si و C مورد بررسی قرار داده‌اند. آسیاب پودرها با استفاده از یک آسیاب ارتعاشی با بدنه‌ای از جنس فولاد زنگ نزن و گلوله‌های کروم - فولاد به قطر ۱۲/۷ میلی‌متر صورت گرفت. ترکیب استوکیومتری Ti_3SiC_2 با نسبت گلوله به پودر ۱۰۰ به ۱ و در بازه‌های زمانی مختلف ۶ تا ۸۰۰ ساعت آسیاب شد. این محققان دریافتند که آلیاژسازی مکانیکی هر دو حالت تشکیل فاز و چگالش Ti_3SiC_2 را در طول فرایند سینتر افزایش می‌دهد. شکل ۱ الگوهای XRD مخلوط‌های پودری که در مدت زمان‌های مختلف آلیاژسازی مکانیکی شدن را نشان می‌دهد. همان‌طور که مشاهده می‌شود ابتدا پیک‌های متعلق به کربن در مدت زمانی کوتاه بدیل تراشکیل کربن آمورف ناپدید شده‌اند [۱۷]. هنگامی که مدت زمان آلیاژسازی به ۴۸ ساعت افزایش یافته پیک‌های سیلیکون و تیتانیوم بطور قابل توجهی ضعیف شدند و در نهایت پس از ۲۰۰ و ۴۰۰ ساعت آسیاب تنها فاز TiC حاصل شده است.



شکل ۱- الگوهای XRD مخلوط‌های پودری Ti , Si و C که در مدت زمان‌های مختلف آلیاژسازی مکانیکی شدن: [۸] ($TiCx$:○, Ti :□, Si :■, C :○). ۰h (a), ۲۴h (b), ۴۸h (c), ۷۲h (d), ۱۰۰h (e), ۲۰۰h (f) و ۴۰۰h (g).

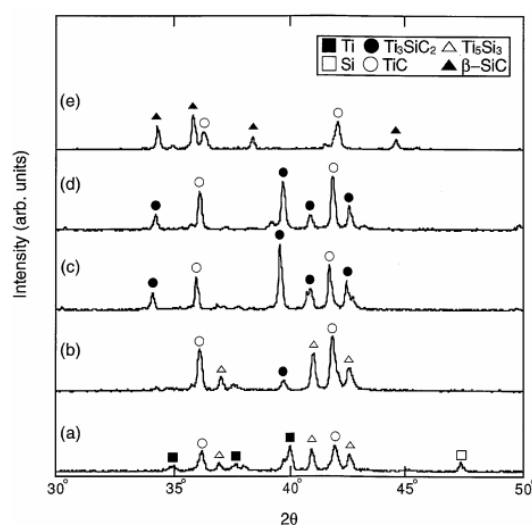
¹ Li

شکل ۲ الگوهای XRD نمونه‌های سینتر شده در دماهای مختلف با استفاده از مخلوط‌های پودری پس از ۴۰۰ ساعت آلیاژسازی مکانیکی را نشان می‌دهد. در همه دماها فاز Ti_3SiC_2 به عنوان فاز اصلی تشکیل شد؛ اگرچه که میزان فاز ثانویه TiC_x با افزایش دمای سینتر افزایش یافته است. همچنین در شکل (a) مشاهده می‌شود که به دلیل اثرات کمکی آلیاژسازی مکانیکی، مقدار قابل توجهی از فاز Ti_3SiC_2 در یک دمای نسبتاً کم نزدیک $1100^{\circ}C$ تشکیل شده است.



شکل ۲-الگوهای XRD نمونه‌های پودری Ti, Si و C که به مدت زمان ۴۰۰ ساعت آلیاژسازی مکانیکی و سپس در دماهای مختلف سینتر شدن. (a) $1100^{\circ}C$, (b) $1300^{\circ}C$, (c) $1400^{\circ}C$, (d) $1500^{\circ}C$ و (e) $1700^{\circ}C$ [۸]

ساتو^۱ و همکارانش [۹] تأثیر روش اختلاط مواد اولیه را بر سنتر Ti_3SiC_2 از مخلوط استوکیومتری پودرهای عنصری Ti, Si و C به روش سینتر بدون فشار در دماهای $1000^{\circ}C$ تا $1700^{\circ}C$ مورد بررسی قرار داده‌اند. اختلاط در سه روش (۱) اختلاط دستی با هاون، (۲) اختلاط تر با آتانول به وسیله آسیاب گلوله‌ای به مدت زمان ۱۰۰ ساعت و (۳) اختلاط خشک با آسیاب گلوله‌ای تحت اتمسفر آرگون به مدت زمان ۵۰۰ ساعت انجام شده است. ضمن اینکه جنس بدنه و گلوله‌های آسیاب، سرامیک‌های Si_3N_4 با خلوص ۹۷٪ بودند. شکل ۳ الگوهای XRD نمونه‌های سینتر شده از پودرهای عنصری مخلوط شده به روش بالمیل تر به مدت ۱ ساعت را نشان می‌دهد.

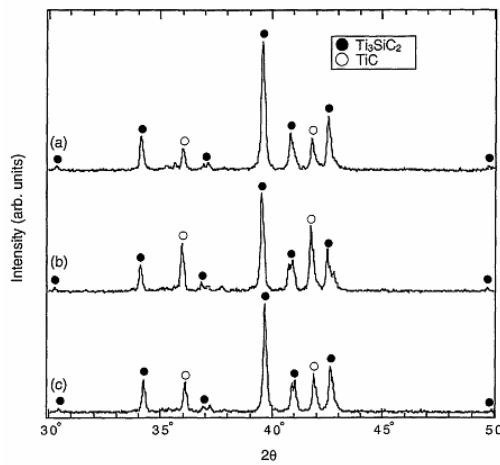


شکل ۳- الگوهای XRD نمونه‌های سینتر شده در دماهای مختلف: (a) $1000^{\circ}C$, (b) $1100^{\circ}C$, (c) $1300^{\circ}C$, (d) $1400^{\circ}C$ و (e) $1500^{\circ}C$ [۸]

^۱ Sato

در محدوده دمایی 1000°C تا 1300°C فازهای Ti_3SiC_2 و TiC قابل هستند. تشکیل مکس فاز Ti_3SiC_2 در دمای حدود 1500°C شروع شده و مقدار آن به طور قابل توجهی در محدوده دمایی 1400°C و 1500°C افزایش می‌یابد. با این حال سینتر در دمای بالاتر منجر به عدم تشکیل فاز Ti_3SiC_2 و تشکیل فازهای SiC و TiC شده است. در شکل ۴ الگوهای XRD نمونه‌های حاصل از روش‌های مختلف اختلاط پودرهای اولیه سینتر شده در دمای 1400°C نشان داده شده است.

با آنکه به نظر می‌رسد که خلوص بیشتر Ti_3SiC_2 باید با استفاده از بالمیل بیشتر پودرهای اولیه حاصل شود ولی نتایج XRD بیانگر آن است که میزان فاز Ti_3SiC_2 در نمونه حاصل از اختلاط پودرها به صورت دستی بیشتر می‌باشد. این نتیجه نشان دهنده آن است که همگنی اختلاط احتمالاً به علت تشکیل مایع در سراسر نمونه اهمیت کمتری دارد. به بیان دیگر، مخلوط کردن بیشتر مواد اولیه، تشکیل فاز TiC را افزایش داده و در نتیجه احتمالاً تشکیل فاز Ti_3SiC_2 به سبب کاهش میزان فاز مایع یوتکنیکی به علت کاهش مقدار Ti مشکل می‌شود.



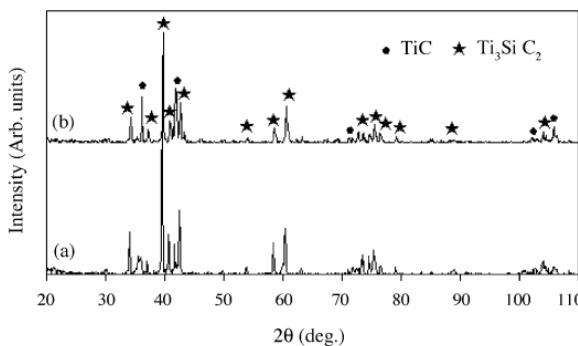
شکل ۴-الگوهای XRD محصولات واکنشی بدست آمده از سینتر بدون فشار پودرهای حاصل از اختلاط به روش‌های مختلف:
(a) اختلاط دستی به مدت زمان $5/0$ ساعت، (b) اختلاط تر به مدت زمان 100 ساعت، (c) اختلاط خشک به مدت زمان 500 ساعت [۹].

۳- تأثیر افزودنی‌های مختلف بر سنتز مکس فاز Ti_3SiC_2

لی^۱ و همکارانش [۱۰] سنتز بدون فشار مکس فاز Ti_3SiC_2 از پودرهای عنصری Ti , Si و C را با بکارگیری فرایند سینتر فعال شده مکانیکی مورد بررسی قرار داده‌اند. پودرهای بسیار ریز بعد از آسیاب هر دو مخلوطهای پودری با ترکیب استوکیومتری و نیز ترکیبی با 20 درصد مولی Si اضافی و به مدت $1/5$ ساعت به دست آمدند. آلیاژسازی مکانیکی در یک آسیاب سیارهای با بدنه و گلوله‌هایی از جنس فولاد زنگ نزن انجام شد. سرعت چرخش آسیاب 500 rpm و همچنین نسبت گلوله به پودر $20:1$ بود. به دلیل یک واکنش خود اخترaci القا شده مکانیکی (MSR) در طول آلیاژسازی مکانیکی، پودرهای آسیاب شده متشکل از TiC , Ti_3SiC_2 و سیلیسیدها بودند. هدف از اینکه Si اضافی به ترکیب اولیه افزوده شد، مطالعه اثر آن روی تشکیل Ti_3SiC_2 بود. شکل ۵ الگوهای XRD نمونه‌های سینتر شده در دماهای 1250°C و 1350°C را نشان می‌دهد. همانطور که مشاهده می‌شود پس از سینتر پودرهای آسیاب شده در دمای نسبتاً کم 1250°C مقدار زیادی از Ti_3SiC_2 بدست آمده است در حالی که در فعالیت دیگری از این محققان سنتز این مکس فاز بدون عملیات آسیاب در دماهای بالای 1400°C صورت گرفته است [۱۸]. این نتیجه تایید کرده است که با استفاده از پودرهایی با ساختار ریز دمای سنتز کاهش یافته است. با این وجود، TiC بعنوان یک فاز ناخواسته در پودرهای نهایی همواره وجود داشته است، و مقدار آن با دما افزایش یافته است، بالاتر از 1350°C (شکل ۵(b)، احتمالاً به تجزیه Ti_3SiC_2 مربوط بوده باشد. دلیل اصلی برای تشکیل Ti_3SiC_2 در دمای نسبتاً کم با استفاده از پودرهای آلیاژسازی مکانیکی شده می‌تواند به این واقعیت نسبت داده شود که در فرایند پودرهای آلیاژسازی مکانیکی مساحت سطح زیاد و همچنین عیوب و

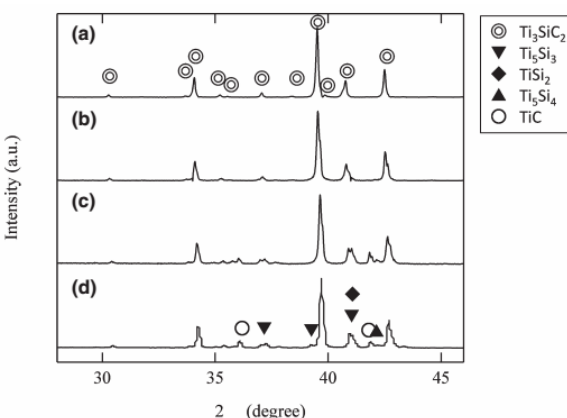
¹. Li

کرنش‌های داخلی نیز تشکیل شده است. پس از سینتر پودرهای آسیاب شده با افزودن Si در 135°C نیز مقدار زیادی از ویسکرهای Ti_3SiC_2 یافت شده است. تشکیل ویسکرهای Ti_3SiC_2 به ظهور فازهای مذاب یوتکتیک در آن دما بستگی داشت.



شکل ۵-الگوهای XRD پودرهای آسیا شده و سینتر شده در دماهای (a) 125°C و (b) 135°C .

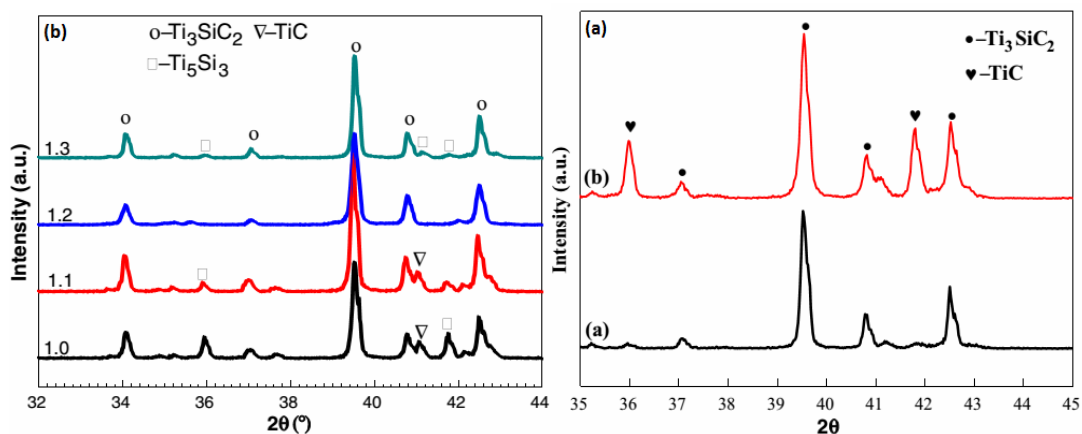
ژو^۱ و همکارانش [۵] سنتز Ti_3SiC_2 را از طریق سینتر بدون فشار در دمای 1400°C به مدت 30 دقیقه مورد بررسی قرار داده‌اند. این محققان تاثیر Sn و Al را با استفاده از مخلوطهای پودری $3\text{Ti}/1.2\text{Si}/2\text{C}/0.1\text{Sn}$ ، $3\text{Ti}/1.2\text{Si}/2\text{C}$ و $3\text{Ti}/1.2\text{Si}/2\text{C}/0.1\text{Al}$ بر سنتز مکس فاز Ti_3SiC_2 بررسی نموده‌اند. نتایج بیانگر این است که افزودن مقدار مناسبی از Al، میزان سنتز Ti_3SiC_2 را افزایش داده است. مکانیسم سنتز Ti_3SiC_2 از $3\text{Ti}/1.2\text{Si}/2\text{C}/0.1\text{Al}$ با فرض واکنش‌های ما بین فازهای میانی $\text{Ti}-\text{Al}$ و بین فلزی‌های $\text{Ti}-\text{Si}$ و دیگر واکنش‌دهنده‌ها در پودر اولیه انجام شده است. وقوع بر هم کنش مذاب $\text{Ti}-\text{Si}$ و Al در دماهای بالا به سنتز واکنشی Ti_3SiC_2 کمک کرده است. ساتو^۲ و همکارانش [۱۱] تاثیر Al را بر سنتز مکس فاز Ti_3SiC_2 به روش سینتر بدون فشار در دمای 1200°C مورد بررسی قرار داده‌اند. شکل ۶ الگوهای XRD پودرهای سنتز شده با مقادیر مختلف آلومینیوم را نشان می‌دهد (ترکیب‌های پودری $1\text{Ti}-0.3\text{Al}$ ، $0.2\text{Ti}-0.3\text{Al}$ و $0.1\text{Ti}-0.9\text{Al}$). همانطور که مشاهده می‌شود در نسبت‌های $0/2$ و $0/3$ آلومنیوم پیک‌های اصلی متعلق به Ti_3SiC_2 هستند. پودر Al در اینجا به عنوان عامل دی اکسیداسیون عمل کرده و فازی مذاب را برای واکنش فراهم کرده است.



شکل ۶-الگوهای XRD پودرهای سنتز شده با نسبت‌های مولی مختلف از Al: (a) $0/1$ (b) $0/2$ (c) $0/3$ و (d) $0/0$.

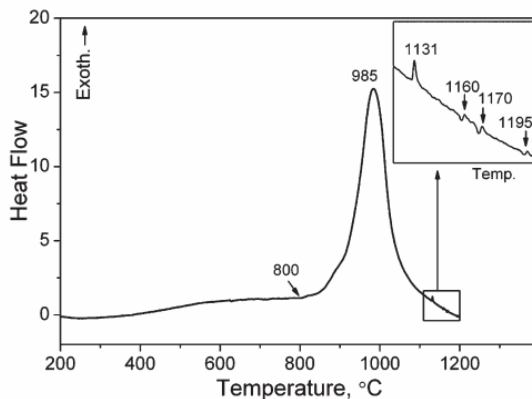
لیو^۳ و همکارانش [۱۲] تاثیر TiH_2 و نیز مقادیر مختلف Si را بر سنتز مکس فاز Ti_3SiC_2 به روش سینتر بدون فشار در 1350°C به مدت 3 ساعت مورد بررسی قرار داده‌اند. پودرهای واکنش‌دهنده را در یک آسیاب غلتی به مدت زمان 12 ساعت با سرعت 60 rpm مخلوط کرده‌اند. در شکل ۷ الگوهای XRD پودر مکس فاز سنتز شده نشان داده شده است. همانطور که مشاهده می‌شود با استفاده از TiH_2 به عنوان منع تیتانیوم خلوص فاز Ti_3SiC_2 بیشتر شده است. همچنین در شکل ۷ (b) مشاهده می‌شود که بیشترین میزان مکس فاز با افزودن $1/2$ سیلیسیم حاصل شده است.

¹ Xue
² Sato
³ Liu



شکل ۷- الگوهای XRD پودر مکس فاز سنتز شده (a) با تغییر منبع تیتانیوم: (a) TiH_2 و (b) Ti مقادیر مختلف از Si.

پانیگراهی^۱ و همکارانش [۱۳] سنتز پودر Ti_3SiC_2 را به روش سینتر بدون فشار مورد بررسی قرار داده‌اند. این محققان پودرهای تیتانیوم، گرافیت و سیلیسیم را به عنوان مواد اولیه مورد استفاده قرار دادند. آزمایش‌ها در دو مرحله مختلف سنتز پودر $\text{TiC}_{0.67}$ و Ti_3SiC_2 انجام شد. در ابتدا پودرهای تیتانیوم و گرافیت در یک نسبت مولی ۳:۲ در یک آسیاب گلوله‌ای با بدنه و گلوله‌هایی از جنس کاربید تنگستن (قطر گلوله تقریباً ۱۰ میلی‌متر) به مدت زمان ۳۰ دقیقه با سرعت تقریباً ۲۰۰ rpm و نسبت ۲۰۰:۱ در همان آسیاب گلوله‌ای به مدت زمان ۱ ساعت با سرعت ۲۰۰ rpm سنتز شده و پودر Si در یک نسبت مولی ۳:۱ در همان آسیاب گلوله‌ای به مدت زمان ۱ ساعت با سرعت ۲۰۰ rpm سنتز شده و پودر $\text{TiC}_{0.67}$ مخلوط پودرهای برای اختلاط همگن و همچنین برای کنترل حرارت آزاد شده در طول فرایند آسیاب استفاده شد. آنالیز DSC مخلوط پودرهای $\text{TiC}_{0.67}$ سنتز شده و Si در شکل ۸ نشان داده شده است. همانطور که مشاهده می‌شود در دمای حدود 800°C آغاز می‌شود که بیشترین شدت آن در دمای 985°C رخ می‌دهد و پس از آن پیک‌های کوچکی نیز حاصل شده‌اند. پیکی که در دمای 985°C حاصل شده نشان دهنده یک واکنش حالت جامد سریع بین $\text{TiC}_{0.67}$ و Si است. پیک‌های کوچک نیز بیانگر واکنش‌های ثانویه شامل مواد اولیه باقیمانده، محصولات واکنش و همگنی شیمیایی می‌باشند. با استفاده از پودرهای TiC_x و Si تحت فرایند سینتر بدون فشار به مدت زمان ۱ ساعت در دمای 1500°C ، پودر Ti_3SiC_2 با خلوصی در حدود ۹۶ درصد حاصل شد [۱۳].

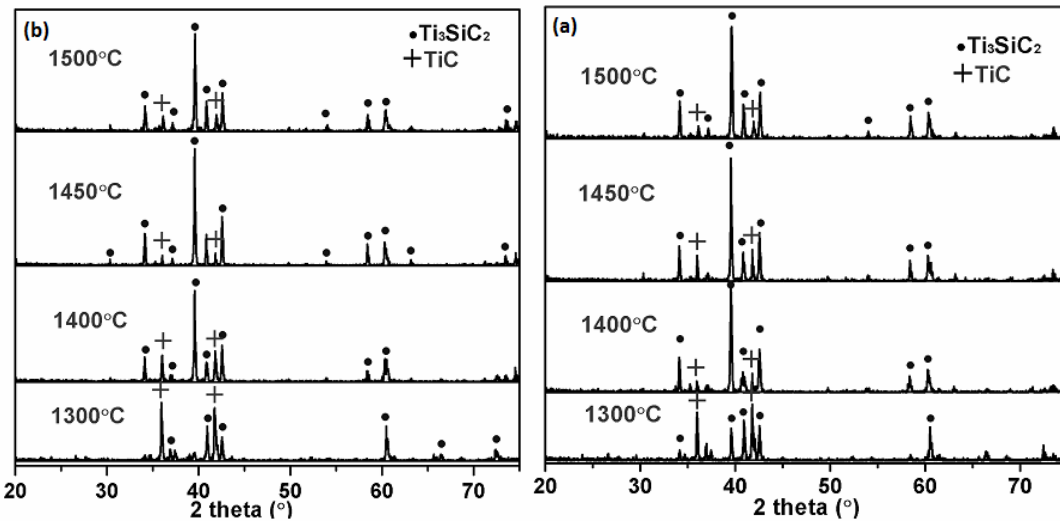


شکل ۸- نمودار DSC مخلوط پودر $3\text{TiC}_{0.67} + \text{Si}$ حرارت داده شده در یک نرخ $10^{\circ}\text{C}/\text{min}$. برچسب‌ها درجه حرارت‌ها را بر حسب $^{\circ}\text{C}$ نشان می‌دهد [۱۳].

لی و همکارانش [۱۴] سنتز Ti_3SiC_2 از TiH_2 را با استفاده از روش سینتر بدون فشار مورد بررسی قرار داده‌اند. این محققان با سینتر تحت جریان اتمسفر گاز آرگون بدون هیدروژن زدایی اولیه، پودرهای Ti_3SiC_2 را از TiH_2 به عنوان منبع Ti سنتز نموده‌اند.

^۱ Panigrahi

مواد اولیه مخلوطهای پودری با نسبت مولی $3\text{TiH}_2/\text{SiC/C}$ یا $3\text{TiH}_2/\text{Si}/2\text{C}$ در یک کوره تیوبی در یک محدوده دمایی از 1300°C تا 1500°C در مدت زمان ۱۸۰ دقیقه تحت جریان اتمسفر گاز آرگون سینتر شده‌اند. الگوهای XRD این پودرها در شکل ۹ نشان داده شده است. همانطور که مشاهده می‌شود با سینتر بدون فشار پودرهای $3\text{TiH}_2/\text{Si}/2\text{C}$ در 1400°C و پودرهای Ti_3SiC_2 فاز $3\text{TiH}_2/\text{SiC/C}$ در $1425^{\circ}\text{C}-1500^{\circ}\text{C}$ سینتر شده است.

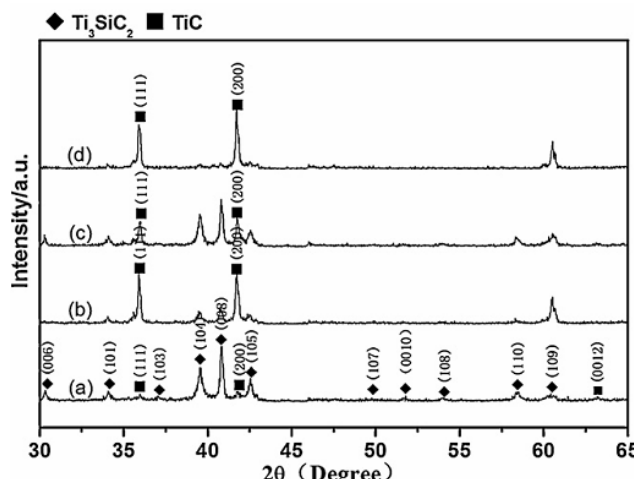


شکل ۹-الگوهای XRD پودرهای سینتر شده در دماهای مختلف با دو ترکیب: (a) $3\text{TiH}_2/\text{SiC/C}$ و (b) $3\text{TiH}_2/\text{Si}/2\text{C}$

اردن^۱ و همکارانش [۱۵] سینتر واکنشی تیتانیوم کاربید و سیلیسید تیتانیوم تهیه شده با دستگاه آسیاب پر انرژی را مورد بررسی قرار داده‌اند. این محققان از پودرهای Ti , Si , کربن سیاه و کاربید سیلیسیوم ($\text{SiC}-\text{TiC}$) به عنوان مواد اولیه استفاده کرده‌اند. آسیاب در یک دستگاه آسیاب لرزاننده 8000 SPEX مجهز به ۵ گلوله (قطر ۱۱ میلیمتر) و نسبت گلوله به پودر ۷:۱ انجام شد. پودرهای تیتانیوم، سیلیکون و کربن سیاه با یک نسبت مولی $3:1:2$ به منظور تولید Ti_3SiC_2 آسیا شدند. فرایند آسیا در ابتدا با یک واکنش گرمایش همراه بود و ماده اولیه عمدتاً مخلوطی از TiC و مقادیر کمی از TiSi_2 , $\text{Ti}_5\text{Si}_3\text{C}_x$ و Ti_3SiC_2 بود. استفاده از مخلوطهای غیر استوکیومتری و یا SiC به عنوان منبعی از سیلیکون روی مقدار TiC در محصول اثری نداشته است. به منظور به دست آمدن Ti_3SiC_2 , پودرهای آسیا شده پرس و به مدت زمان ۲ ساعت در دمای 1350°C سینتر شدند. عملیات حرارتی باعث شد که مقادیر زیادی از فاز Ti_3SiC_2 تشکیل شود. با افزودن Si اضافی در محدوده $30\%-10\%$ نمونه‌های خالصی از فاز سه تایی حاصل شدند.

پنگ^۲ و همکارانش [۱۶] سینتر پودر Ti_3SiC_2 از مخلوطهای پودری Ti-TiC-SiC-Al را با بالمیل با انرژی بالا و فرایند سینتر بدون فشار در خلاً مورد بررسی قرار داده‌اند. این محققان به منظور آشکار ساختن اثر دما و میزان کربن روی خلوص قطعات سینتر شده، مخلوطهای پودری Ti-TiC-SiC-Al را با نسبت‌های مولی $2:4:1:2:0:1/2$ با انرژی بالا بالمیل، فشرده و در خلاً سینتر نموده‌اند. نتایج نشان دهنده این است که بر روی سطح لایه قطعات سینتر شده در محدوده دمایی $1350^{\circ}\text{C}-1400^{\circ}\text{C}$ به مدت زمان ۱ ساعت، میزان Ti_3SiC_2 تقریباً به ۱۰۰ درصد وزنی رسیده است. شکل ۱۰ الگوهای XRD پودرهای سینتر شده در دمای 1380°C به مدت ۱ ساعت با مقادیر متفاوت گرافیت را نشان می‌دهد. با حرارت دهی قطعات سیز رنگ $4\text{Ti}-1\text{TiC}-2\text{SiC}-0.2\text{Al}$ فاقد گرافیت پودر شامل ۹۱ درصد وزنی Ti_3SiC_2 به طور موفقیت‌آمیزی سینتر شده است و میزان کربن بیش از اندازه نه تنها به بهبود خلوص پودر Ti_3SiC_2 کمکی ننموده بلکه آن را با شکست نیز مواجه نموده است. فاز TiC ناخالصی اصلی در فرایند تشکیل Ti_3SiC_2 بوده است.

¹ Orthner
² Peng



شکل ۱۰- الگوهای XRD پودرهای سینتر شده در دمای 1380°C به مدت ۱ ساعت با مقادیر متفاوت گرافیت: .۴wt.% (d) و ۳wt.% (c)، ۲wt.% (b) و ۰wt.% (a)

۴- نتیجه‌گیری

محققان بسیاری سنتز مکس فاز Ti_3SiC_2 به روش سینتر بدون فشار را مورد بررسی قرار داده‌اند. در این بین عوامل متعددی از قبیل شرایط سینتر، اصلاح نسبت مولی پودرهای اولیه، فشار پرس، اثر افزودنی‌های مختلف، دما و زمان عملیات حرارتی و ... بسیار تاثیرگذار هستند. برخی از محققان توانسته‌اند با استفاده از روش سینتر بدون فشار مکس فاز Ti_3SiC_2 را سنتز نمایند. این پژوهشگران با افزودن مقدار مناسبی از Al و بدلیل ایجاد یک فاز مذاب و همچنین افزایش سرعت واکنش جامد بین عناصر، افزودن Si اضافی به مواد اولیه برای جبران آن از طریق تبخیر شدن در دماهای بالاتر از نقطه یوتکتیک (حدود 1330°C)، ترکیب آلیاژسازی مکانیکی و سینتر بدون فشار، تنظیم زمان نگهداری و همچنین افزایش فشار اتمسفر آرگون؛ تشکیل مکس فاز Ti_3SiC_2 را به طور قابل توجهی افزایش داده‌اند.

مراجع

- [1] M. W. Barsoum, T. El-Raghy, The MAX Phases: Unique New Carbide and Nitride Materials Ternary ceramics turn out to be surprisingly soft and machinable, yet also heat-tolerant, strong and lightweight, *Am. Scientist*, Vol. 89, No. 4, pp. 334-43, 2001.
- [2] S. Amini, M. W. Barsoum, On the effect of texture on the mechanical and damping properties of nanocrystalline Mg-matrix composites reinforced with MAX phases, *Materials Science and Engineering: A*, Vol. 527, No. 16-17, pp. 3707-3718, 2010/06, 2010.
- [3] M. W. Barsoum, M. Radovic, Elastic and mechanical properties of the MAX phases, *Annual review of materials research*, Vol. 41, pp. 195-227, 2011.
- [4] T. Scabarozzi, S. Amini, O. Leaffer, A. Ganguly, S. Gupta, W. Tambussi, S. Clipper, J. Spanier, M. Barsoum, J. Hettinger, Thermal expansion of select M_nAX_n „M= early transition metal, A= A group element, X= C or N... phases measured by high temperature x-ray diffraction and dilatometry, *Journal of Applied Physics*, Vol. 105, pp. 013543, 2009.
- [5] M. Xue, H. Tang, C. Li, Synthesis of Ti_3SiC_2 Through Pressureless Sintering, *Powder Metallurgy and Metal Ceramics*, Vol. 53, No. 7-8, pp. 392-398, 2014/11, 2014.
- [6] H. Li, D. Chen, J. Zhou, J. Zhao, L. He, Synthesis of Ti_3SiC_2 by pressureless sintering of the elemental powders in vacuum, *Materials Letters*, Vol. 58, No. 11, pp. 1741-1744, 2004.
- [7] H. Li, L. Peng, M. Gong, J. Zhao, L. He, C. Guo, Preparation and characterization of Ti_3SiC_2 powder, *Ceramics International*, Vol. 30, No. 8, pp. 2289-2294, 2004.
- [8] J.-F. Li, T. Matsuki, R. Watanabe, Fabrication of highly dense Ti_3SiC_2 ceramics by pressureless sintering of mechanically alloyed elemental powders, *Journal of materials science*, Vol. 38, No. 12, pp. 2661-2666, 2003.
- [9] F. Sato, J.-F. Li, R. Watanabe, Reaction synthesis of Ti_3SiC_2 from mixture of elemental powders, *Materials Transactions, JIM*, Vol. 41, No. 5, pp. 605-608, 2000.
- [10] S.-B. Li, H.-X. Zhai, Y. Zhou, Z.-L. Zhang, Synthesis of Ti_3SiC_2 powders by mechanically activated sintering of elemental powders of Ti, Si and C, *Materials Science and Engineering: A*, Vol. 407, No. 1, pp. 315-321, 2005.
- [11] K. Sato, M. Mishra, H. Hirano, C. Hu, Y. Sakka, Pressureless Sintering and Reaction Mechanisms of

- Ti₃SiC₂ Ceramics, *Journal of the American Ceramic Society*, Vol. 97, No. 5, pp. 1407-1412, 2014.
- [12] X. Liu, H. Zhang, Y. Jiang, Y. He, Factors affecting the property of porous Ti₃SiC₂ metal ceramic fabricated through pressureless sintering, *Journal of Porous Materials*, pp. 1-6, 2015.
- [13] B. Panigrahi, M.-C. Chu, A. Balakrishnan, S.-J. Cho, Synthesis and pressureless sintering of Ti₃SiC₂ powder, *Journal of Materials Research*, Vol. 24, No. 02, pp. 487-492, 2009.
- [14] L. Li, A. G. Zhou, L. B. Wang, F. X. Hu, Synthesize Ti₃SiC₂ from TiH₂ by Pressureless Sintering, in *Proceeding of*, Trans Tech Publ, pp. 676-680.
- [15] H. Orthner, R. Tomasi, Reaction sintering of titanium carbide and titanium silicide prepared by high-energy milling, *Materials Science and Engineering: A*, Vol. 336, No. 1, pp. 202-208, 2002.
- [16] M. Peng, X. Shi, Z. Zhu, M. Wang, Q. Zhang, Facile synthesis of Ti₃SiC₂ powder by high energy ball-milling and vacuum pressureless heat-treating process from Ti-TiC-SiC-Al powder mixtures, *Ceramics International*, Vol. 38, No. 3, pp. 2027-2033, 2012.

سرامیک اپتیکی ایتریا؛ خواص و کاربردها

الناز آیرم^{*}، محمد ذاکری، علی صداقت

پژوهشگاه مواد و انرژی، پژوهشکده سرامیک



e.irom@merc.ac.ir

مهندس الناز آیرم، نویسنده‌ی
مسئول مقاله، پژوهشگاه مواد و
انرژی

چکیده: ایتریا یا ایتریم اکسید (Y_2O_3) یک سرامیک اکسیدی با ساختار بلوری مکعبی می‌باشد. کاربرد ایتریا با وجود خواص فیزیکی و شیمیایی عالی مخصوصاً عبور بالا در محدوده امواج مادون قرمز ($0.3-9 \mu\text{m}$) به صورت تک بلور، به دلیل نقطه ذوب بالای آن (1430°C) و تبدیل به پلی مورف هگراگونال در دمای حدود 2280°C ، بسیار مشکل بوده و به همین جهت اخیراً محققان به ساخت سرامیک‌های پلی کریستال شفاف ایتریا روی آورده‌اند. این سرامیک‌ها کاربردهای وسیعی به عنوان پنجره مادون قرمز، میزبان یون‌های عناصر فعال خاکی نادر مانند نئودیمیوم و ایتریوم در لیزرهای حالت جامد داشته و در صنعت تولید نیمه‌هادی‌ها به عنوان پنجره مقاوم به خوردگی پلاسما نیز به کار می‌روند. تاکنون روش‌های گوناگونی برای ساخت این سرامیک‌ها به کار گرفته شده است. در این مقاله قصد داریم به بررسی ایتریا، خواص و کاربردهای آن پردازیم.

کلمات کلیدی: ایتریا، خواص اپتیکی، سرامیک‌های شفاف، لیزرهای سرامیکی.

۱- مقدمه

فناوری امواج مادون قرمز کاربرد گسترده‌ای در صنعت و فناوری‌های پیشرفته (نظمی و غیرنظمی) داشته و مواد عبوردهنده امواج مادون قرمز از اجزای اصلی این فناوری به حساب می‌آیند. یکی از مهم‌ترین قسمت‌های این فناوری، حسگرهای مادون قرمزی هستند که با استفاده از امواج مادون قرمز تابش شده از جسم هدف کار می‌کنند. این حسگرهای در هوایپیماهای نظامی و موشک‌های ردياب حرارتی به منظور رهگیری هوایپیمای هدف خود (از طریق رديابی حرارت خارج شده از اگزوز داغ آن) و همچنین در هوایپیماهای غیرنظمی به کار می‌روند. حسگرهای مادون قرمز با توجه به محیط به کارگیری آنها در معرض باد، باران، گرد و خاک، تنش‌های مکانیکی و حرارتی قرار داشته و به همین جهت به پنجره‌هایی نیازمندیم که در عین محافظت از حسگر، هم امواج مادون قرمز را به خوبی عبور دهند و هم خواص مکانیکی و حرارتی عالی داشته باشند. همچنین خواص نوری این پنجره‌ها باید به گونه‌ای باشد که تمام سیگنال‌های اپتیکی با کمترین تداخل از آن‌ها عبور کنند [۱ و ۲]. در سال‌های اخیر پرکاربردترین مواد پنجره‌های مادون قرمز در محدوده طول موج مادون قرمز متوسط ($3-5 \mu\text{m}$)^۱، سافایر^۲ (تک بلور رشدیافتہ آلومینیا)، آلومینیوم اکسی نیترید یا AlON و اسپینل MgAl_2O_4 بوده‌اند. اما در این مواد به دلیل داشتن پیوند شیمیایی Al-O که جاذب امواج مادون قرمز است، عبور امواج مادون قرمز در طول موج‌های بیشتر از ۵ میکرون افت کرده و موجب تضعیف سیگنال مورد نیاز می‌شود [۳].

متاسفانه هیچ ماده‌ای تمام خواص موردنیاز را به طور بهینه ندارد. هنگامی که سافایر بهترین خواص مکانیکی را دارد، ایتریا خواص اپتیکی بهتری دارد. به خصوص تابش آن به طور قابل توجهی کمتر از دیگر مواد است. در حال حاضر، شرکت‌های آمریکایی چون سرانوا^۳، ریتئون^۳ پنجره‌های اپتیکی مختلفی را با توجه به نیاز خود با ابعاد و شکل‌های گوناگون تولید می‌کنند. امروزه، با توجه به نیاز صنایع مختلف کشور، پژوهش و مطالعه و همچنین ساخت و تولید این قطعات لازم به نظر می‌رسد. با توجه به مطالب فوق الذکر، در ادامه به بررسی خواص و انواع کاربردهای ایتریا می‌پردازیم.

¹ sapphire

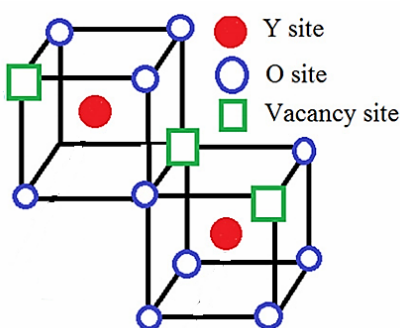
² Ceranova

³ Reytheon

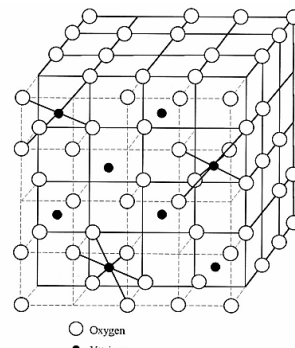
۲- ایتریای مکعبی

ایتریا یا ایتریم اکسید (Y_2O_3) یک اکسید عناصر خاکی کمیاب با ساختار مکعبی می‌باشد. ایتریا خواص فیزیکی و شیمیایی عالی مخصوصاً عبور بالا در محدوده ($0\text{--}3\text{ }\mu\text{m}$) داشته ولی به کارگیری آن به صورت تک بلور به دلیل نقطه ذوب بالای آن (2430°C) و تبدیل به پلی مورف هگزاگونال در دمای حدود 2280°C ، بسیار مشکل بوده و محققان از دهه ۷۰ میلادی به بعد به ساخت قطعات پلی‌کریستال آن روی آورده‌اند [۲].

ایتریم اکسید یک ماده مکعبی با ساختار bcc می‌باشد [۴]. سلول واحد ایتریای مکعبی از ۳۲ اتم ایتریم و ۴۸ اتم اکسیژن تشکیل شده است که می‌توان آن را به سادگی به صورت ۶۴ مکعب کوچکتر، همان طور که در شکل ۱ می‌بینید، تصور کرد. در این ساختار اتم‌های ایتریم مرکز هر مکعب کوچکتر را اشغال می‌کنند. هر اتم ایتریم توسط ۶ اتم اکسیژن و ۲ جای خالی اکسیژن (۲ جای خالی از ۸ موقعیت اتمی در گوش‌های مکعب) احاطه شده است. نصف مکعب‌های کوچکتر در یک سلول واحد، ۲ جای خالی اکسیژن در انتهای قطرهای سطحی و نصف دیگر ۲ جای خالی اکسیژن در انتهای قطر اصلی مکعب همان طور که در شکل ۲ مشخص است، دارند [۵].



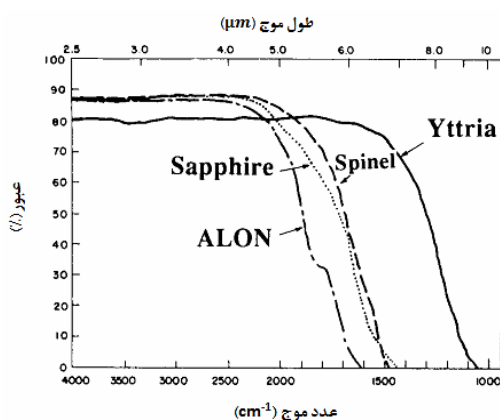
شکل ۲-موقعیت جای خالی اکسیژن در ساختار بلوری [۶]



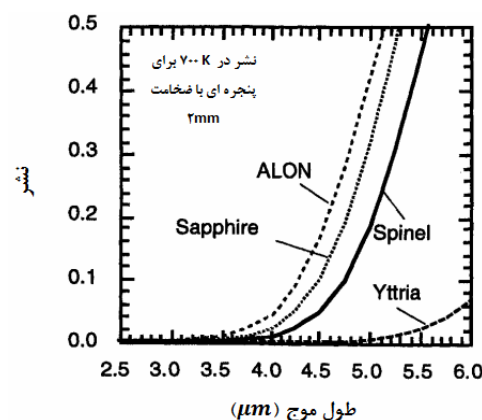
شکل ۱-ساختار سلول واحد ایتریای مکعبی [۵]

۳- خواص فیزیکی و اپتیکی ایتریا

همان طور که پیش تر اشاره شد ایتریا یک سرامیک اکسیدی با نقطه ذوب بالا بوده و به همین دلیل پایداری حرارتی عالی دارد و تا بیش از 1000°C پایدار می‌باشد [۷]. ظاهر آن پودری سفید رنگ است و دانسیته آن برابر 5.31 g/cm^3 می‌باشد. شکل ۳ نشر ماده ایتریا را با نشر مهم‌ترین مواد مادون قرمز متوسط مقایسه کرده‌است. همان‌طور که می‌بینیم اسپینل MgAl_2O_4 ، AlON و سافایر در دماهای بالا نظری K_{200} نشر قابل توجهی در مقایسه با ایتریا دارند. به همین سبب تلاش بر این است تا ایتریا را جایگزین سافایر کنند. شکل ۴ طیف عبوری اسپینل MgAl_2O_4 ، AlON ، سافایر و ایتریا را نشان می‌دهد.



شکل ۴-طیف عبوری مواد مادون قرمز متوسط با ضخامت mm [۷] ۱/۵



شکل ۳- مقایسه نشر ایتریا با اسپینل MgAl_2O_4 , AlON و سافایر [۷].

علی‌رغم این که سافایر، اسپینل و AION در دمای 25°C جذب قابل توجهی در طول موج‌های کمتر از ۵ میکرون ندارند، لبه جذب در دماهای بالاتر به سمت طول موج‌های کوتاه‌تر منتقل می‌شود. بنابراین، این مواد در دماهای بالا، جذب و نشر قابل توجهی در طول موج ۴ تا ۵ میکرون دارند. نشر ایتریا در طول موج‌های کمتر از ۵ میکرون حتی در دماهای بالا نیز قابل چشم‌پوشی است.^[۷]

۴- قطعات ساخته شده تا به امروز

اولین تلاش‌ها برای ساخت قطعات شفاف ایتریا توسط شرکت جنرال الکتریک آمریکا جهت به کارگیری آن در لیزر حالت جامد در دهه ۱۹۷۰ آغاز شد و اولین قطعه ایتریا را که حاوی ۱۰٪ توریم اکسید بود را با موقفيت ساختند و نام آن را ایترالوکس^۱ گذاشتند. پس از جنرال الکتریک، شرکت GTE آمریکا با استفاده از لاثانم اکسید به عنوان افزودنی، اقدام به ساخت ایتریای شفاف نمود. در سال ۱۹۸۵ شرکت ریتئون و GTE به طور همزمان بر روی ساخت دماغه و پنجرهای مادون قرمز از جنس ایتریا که دارای شفافیت کامل در محدوده ۳ تا ۵ میکرون بود، سرمایه گذاری کردند. شرکت ریتئون با استفاده از سیستر معمولی در دمای 180°C به مدت یک ساعت و سپس پرس ایزواتستاتیک گرم به مدت ۳ تا ۱۰ ساعت در فشار 200 MPa و در دمایی مشابه دمای سیستر توانست قطعه شفاف و بدون عیوب از ایتریا بسازد. شکل ۵ یک دماغه ۳ اینچی ساخته شده توسط این شرکت را نشان می‌دهد.

کاربرد دیگر ایتریا، پنجرهای مادون قرمز بدون نیاز به خنک کننده در هواپیماهای رهگیری کننده مافوق صوت می‌باشد. حذف سیستم خنک کننده موجب کاهش وزن و هزینه ساخت این هواپیماها می‌گردد. به همین سبب شرکت ریتئون اقدام به طراحی و توسعه سیستم‌های مادون قرمز بر مبنای این پنجرهای نمود. شکل ۶ نمونه‌ای از محافظ سنسور مادون قرمز به کار گرفته شده در این هواپیماها بوده و پنجره ایتریای مورد استفاده در آن "۲.۳۷ قطر و ۰.۱۶" ضخامت دارد.



شکل ۶- محافظ سنسور مادون قرمز در هواپیماهای رهگیری کننده مافوق صوت [۲].



شکل ۵- دماغه ایتریا [۳].

ایتریا با وجود خواص نوری فوق العاده در محدوده امواج مادون قرمز متوسط، استحکام مکانیکی قابل توجهی نداشته و همواره تلاش بر این بوده تا بتوانند استحکام آن را افزایش دهند. از آنجا که استحکام مکانیکی خاصیتی ذاتی نبوده، می‌توان با کاهش اندازه دانه‌های ساختار آن را افزایش داد. افزایش استحکام تا ۲ الی ۳ برابر و حتی برای برخی مواد تا ۵ برابر امکان پذیر است. مقاومت به شوک حرارتی نیز با افزایش استحکام، افزایش می‌یابد. برای سیستم‌های سرامیکی معمول اندازه دانه‌هایی در حدود ۱-۱۰ میکرون منجر به بیشینه استحکام می‌گردد. به همین جهت با به کارگیری نانوپودر ایتریا (100 nm) و کنترل رشد دانه‌هایی درین سیستر، دست یابی به خواص مکانیکی مطلوب مورد انتظار است. به همین سبب شرکت ریتئون با سرمایه گذاری نیروی دریایی آمریکا مطالعاتی در خصوص تهیه قطعه از نانو پودر ایتریا انجام داد. با استفاده از نانوپودرهای مختلف و با سیستر نمونه‌ها در دمای 165°C به مدت ۴ ساعت در هوا، متعاقباً پرس ایزواتستاتیک گرم در آرگون به مدت ۴ ساعت در همان دما و در فشار 200 MPa ، آبیل در دمای 140°C و به مدت ۲ ساعت به قطعاتی با اندازه دانه‌های در حدود $10-50$ میکرون دست یافتند. اما با وجود این که اندازه دانه به میزان قابل توجهی کاهش یافته اما باز هم کافی نیست و هدف غایی اندازه دانه‌هایی در حدود ۱

^۱ Ytralox

میکرون و دو برابر نمودن استحکام شکست است. همچنین نانوپودرهای مورداستفاده خلوص کافی نداشته و این مسئله موجب حصول ایتریای نیمهشفاف^۱ شد. به همین جهت اهداف بعدی این مطالعات استفاده از نانوپودرهای با خلوص بالاتر، سنتز نانو پودر با استفاده از روش سنتز احتراقی، کاهش دمای سیتر و در نهایت حصول اندازه دانه در حدود ۱ میکرون انتخاب شدند [۳].

در سال ۲۰۰۹ آژانس پروژه‌های تحقیقاتی پیشرفتی دفاعی آمریکا^۲ با همکاری شرکت ریتلون مطالعاتی در خصوص بهبود خواص مکانیکی ایتریا انجام داده و هدف خود را رسیدن به استحکام مکانیکی سافایر (۴۰۰ MPa) قراردادند. همان طور که قبل اگتفتیم اکثر پنجره‌های مادون قرمز به دلیل پیوند Al-O در محدوده طول موج‌های بالای ۴ میکرون دارای جذب بوده و این مسئله ردیابی اهداف را دچار مشکل می‌کند. از طرف دیگر ایتریا به عنوان ماده‌ای با خواص نوری مناسب دارای استحکام مطلوبی نمی‌باشد. راه حل این مشکل، استفاده از نانوکامپوزیت‌های بدون پیوند Al-O₃, MgO و ZrO₂ مانند Y_2O_3 ^۳ باشد. از طرف دیگر، برای افزایش استحکام ناچار هستیم که اندازه دانه را کاهش دهیم. اما شرایط سیتر موجود مانند دما و فشار بالا که برای رسیدن به دانسیته بالا و شفافیت مناسب اجتناب ناپذیرند، رشد دانه را افزایش می‌دهند. راه حل این موضوع استفاده از کسر حجمی قابل توجهی از دو یا چند فاز سرامیک‌های شفاف نامحلول در یکدیگر مانند ایتریا و منیزیا می‌باشد. اما تفاوت ضرایب شکست این دو فاز متفاوت موجب پراکندگی امواج می‌شود. به همین جهت باید اندازه دانه‌ها از $0.8\text{ }\mu\text{m}$ کمتر باشد تا پراکندگی کاهش یافته و شفافیت حفظ شود. در نتیجه با توجه به $\lambda = 4\text{ }\mu\text{m}$ اندازه دانه‌ها باید از 200 nm کمتر باشد. محققان برای سنتز نانو پودر ایتریا: منیزیا به نسبت $50:50$ از روش تجزیه حرارتی پاشش شعله‌ای^۴ استفاده کردند. برای جلوگیری از رشد دانه و نگه داشتن نانوساختار از روش سیتر جرقه پلاسما استفاده شد و توانستند دیسکی به قطر ۳ اینچ و با ریزساختاری همگن با اندازه دانه در حدود 150 nm سینتر کنند. همچنین استحکام این نانوکامپوزیت بیش از 600 MPa بوده و با سافایر برابری می‌کند و می‌تواند جایگزین مناسبی برای آن باشد [۸].

از ایتریا می‌توان به عنوان پنجره چشمی کوره‌ها، پنجره مقاوم به خوردگی پلاسمای در صنعت تولید نیمه هادی‌ها و محفظه لامپ‌های بخار سدیمی فشار بالا استفاده نمود [۹, ۱۰]. یکی دیگر از کاربردهای سرامیک‌های اپتیکی، استفاده آن‌ها در لیزرهای حالت جامد است. لیزرهای حالت جامد به دلیل کارایی عالی، ابعاد کوچکتر و داشتن قابلیت حمل و نقل بسیار مفیدتر از لیزرهای گازی و لیزرهای الکترون آزاد می‌باشند و به شکل لوح^۵، میله و قرص بر پایه بلورهای عناصر خاکی کمیاب می‌باشند. ماده رایج مورد مطالعه و مورد استفاده در صنعت، در حال حاضر YAG^۶ یا ایتریم آلومینیوم گارنت است که با یون Nd³⁺ (نئودیمیوم) یا Yb^{3+} (ایتریوم) که یون‌های فعالی هستند و در صورت برانگیخته شدن لیزر تولید می‌کنند، آن را دوپ می‌کنند. اخیراً، لیزرهای YAG:Nd³⁺^۷ با توان خروجی 67 kW و حتی بیشتر از 100 kW در طول موج 1064 nm توسط شرکت کونوشیما (Konoshima) ژاپن با استفاده از سینتر معمولی نانوپودر با خلوص بالا و در اتمسفر خلا ساخته شده‌اند. اما با این حال، YAG به دلیل ضریب انبساط حرارتی بالا و هدایت حرارتی نسبتاً کم، بهترین ماده میزبان برای لیزرهای حالت جامد پرتوان نیست. اکسیدی هم چون Y_2O_3 ماده میزبان قابل اعتمادی برای به کارگیری در لیزرهای پرتوان به خاطر هدایت حرارتی بالاتر و ضریب انبساط حرارتی کمتر می‌باشد [۱۱-۱۳]. تحقیقاتی در رابطه با ساخت سرامیک لیزری از جنس ایتریا به روش سینتر معمولی در خلا و پرس گرم انجام گرفته است. در این پژوهش‌ها عناصر نئودیمیوم و ایتریوم به ساختار ایتریم اکسید دوپ شده و خواص لیزرزایی^۸ آن جهت به کارگیری در لیزرهای حالت جامد مورد بررسی قرار گرفته است. سانگهرا^۹ و همکارانش بدنه ایتریای دوپ شده با ایتریوم به روش پرس گرم ساخته‌اند که بازده لیزرزایی 45% دارد [۱۳, ۱۴]. شرکت Coorstek ژاپن نیز توانسته است Nd:Yttria را تولید کند و شکل ۷ و 8 nm نمونه‌هایی از سرامیک لیزری Nd:Yttria^{۱۰} ساخته شده را نشان می‌دهد [۱۳ و ۱۶]. شرکت Brimrose آمریکا لیزر حالت جامدی با استفاده از Nd:Yttria^{۱۱} پلی‌کریستال ساخته که می‌تواند جهت سنجش از راه دور با رادار لیزری^{۱۲}، آشکارسازی شیمیایی^{۱۳} و تحقیقات علمی به کار گرفته شود [۱۷]. در

¹ translucent

² DARPA

³ Flame spray pyrolysis

⁴ slab

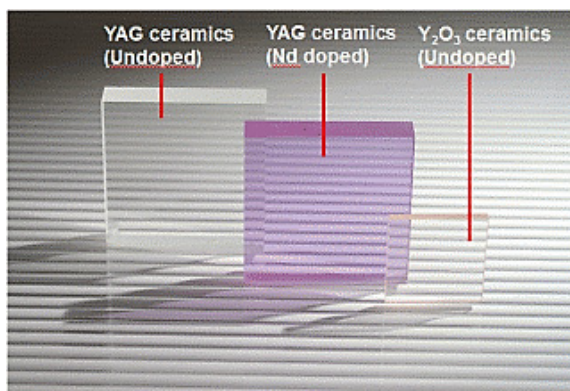
⁵ lasing

⁶ Sanghera

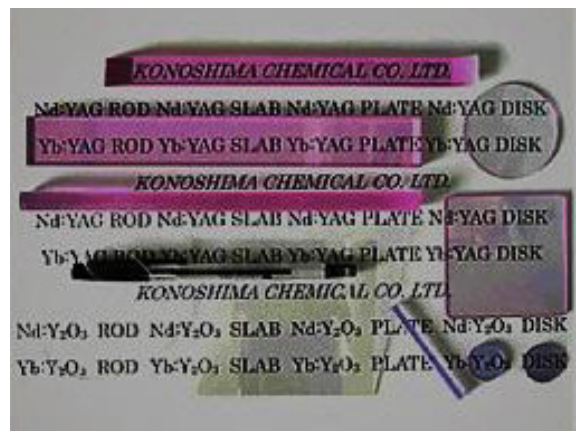
⁷ LIDAR and DIAL

⁸ Chemical Detection

ایران نیز ساخت سرامیک ایتریا به روش سینتر با جرقه پلاسمای تحت فشارها و دماهای اعمالی مختلف مورد مطالعه قرار گرفته است و تاکنون قرص‌هایی به قطر ۴ سانتی‌متر با موفقیت ساخته شده‌اند [۱۸].



شکل ۸- ایتریا و YAG ساخته شده توسط Coorstek [۱۶].



شکل ۷- ایتریا و YAG شفاف ساخته شده توسط Konoshima [۱۴].

۵- نتیجه‌گیری

با توجه به مطالب گفته شده پیشرفت‌های خوبی در زمینه ساخت ایتریای پلی‌کریستال شفاف صورت گرفته است و بدنده‌های بسیار ریزدانه با اندازه دانه متوسط ۱۵۰ nm تاکنون به روش سینتر جرقه پلاسمای ساخته شده است. اما با توجه به نیاز به خواص مکانیکی مطلوب‌تر، ساخت ایتریای نانوساختار با اندازه دانه‌های کمتر از ۱۰۰ nm مورد نیاز است. همچنین انتظار می‌رود تا بازده لیزرهای سرامیکی ایتریا در آینده بهبود پیدا کند و به بهینه مقدار خود برسد.

مراجع

- [1] Zhan, G., A. K. Mukherjee, and S. H. Risbud, *Polycrystalline optical window materials from nanoceramics*. 2006, Google Patents.
 - [2] Gupta, Y. M., et al., *Characterization and Development of Advanced Materials: Role & Understanding of Interfacial Phenomena (Congressional)*. 2007, DTIC Document.
 - [3] Hogan, P., et al., *Transparent Yttria for IR Windows and Domes-Past and Present*. 2004, DTIC Document.
 - [4] Palik, E. D., *Handbook of Optical Constants of Solids*. Vol. 2. 1998: Academic Press. 1079-1096.
 - [5] Deutsch, S., *High pressure phase transformations in polycrystalline yttrium oxide*. 2012.
 - [6] Som, S. and S. Sharma, *Eu³⁺/Tb³⁺-codoped Y₂O₃ nanophosphors: Rietveld refinement, bandgap and photoluminescence optimization*. Journal of Physics D: Applied Physics, 2012. **45**(41): p. 415102.
 - [7] Harris, D. C., *Materials for infrared windows and domes: properties and performance*. 1999: SPIE press.
 - [8] Nordahl, C.S., et al., *Optical and Mechanical Properties of Nano-Composite Optical Ceramics*. 2009, DTIC Document.
 - [9] Bernard-Granger, G. and C. Sinet, *A sintered and doped yttrium oxide product*. 2007, Google Patents.
 - [10] Rhodes, W. H. and F. J. Reid, *Transparent yttria ceramics and method for producing same*. 1979, Google Patents.
 - [11] Serivalsatit, K., et al., *Synthesis, Processing, and Properties of Submicrometer-Grained Highly Transparent Yttria Ceramics*. Journal of the American Ceramic Society, 2010. **93**(5): p. 1320-1325.
 - [12] Kim, W., et al., *Ceramic windows and gain media for high-energy lasers*. Optical Engineering, 2013. **52**(2): p. 021003-021003.
 - [13] Sanghera, J., et al., *Transparent ceramics for high-energy laser systems*. Optical Materials, 2011. **33**(3): p. 511-518.
 - [14] Ueda, K., et al., *Scalable ceramic lasers*. Laser Physics-Lawrence, 2005. **15**(7): p. 927.
 - [15] http://www.coorstek.co.jp/eng/rd/detail_04.html
 - [16] <http://www.brimrosetechnology.com/rd.html>
- [۱۷] آیرم، الف."بررسی خواص نوری و مکانیکی ایتریای سینتر شده به روش SPS". پایان‌نامه کارشناسی ارشد مهندسی مواد- سرامیک، پژوهشکده سرامیک، پژوهشگاه مواد و انرژی، ۱۳۹۴.

اکسیدهای ردلزدن پاپر بر پایه نیکلات لانتانیدها به عنوان کاتد پیل های سوختی دمای متوسط

محمد خوشکلام، محمد علی فقیهی ثانی

دانشکده مهندسی و علم مواد، دانشگاه صنعتی شریف



دکتر محمد علی فقیهی ثانی،
نویسندهٔ مسئول مقاله، عضو
هیات علمی دانشگاه صنعتی
شریف

چکیده: امروزه استفاده از کاتدهای هادی مخلوط یونی و الکترونی به منظور کاهش دمای کاری پیل های سوختی اکسید جامد به شدت مورد توجه پژوهشگران قرار گرفته است. برای ساخت این کاتدها معمولاً از موادی که دارای ناهمسانگردی در ساختار بلوری هستند، مانند اکسیدهای ردلزدن پاپر بر پایه نیکلات لانتانیدها، استفاده می شود. مطالعات تجربی نشان داده اند که خواص الکتروشیمیابی این دسته از اکسیدهای پروسکایتی متداول بهتر است، ولذا استفاده از این اکسیدها به عنوان کاتد پیل سوختی اکسید جامد، یکی از مهمترین راهکارها برای کاهش دمای کاری این سیستمها به محدودهٔ دمای متوسط می باشد. در این مقاله مروری، ابتدا ساختار بلوری اکسیدهای ردلزدن پاپر نیکلات لانتانیدها و مکانیزم نفوذ یون اکسیژن در آنها مورد بحث و بررسی قرار گرفته و سپس خواص الکتروشیمیابی این دسته از مواد با اکسیدهای پروسکایتی متداول مقایسه می گردد.

کلمات کلیدی: کاتد، پیل سوختی اکسید جامد دمای متوسط، ساختار ردلزدن پاپر، نیکلات لانتانیدها.

۱- مقدمه

تامین پایدار انرژی پاک، یک چالش بزرگ جهانی است. برای رسیدن به آیندهای همراه با انرژی پاک و پایدار، ضرورت کاهش وابستگی به سوختهای فسیلی امری ضروری به نظر می رسد. به منظور تحقیق این موضوع، پژوهش های فراوانی بر روی استراتژی های جدید تولید، انتقال و ذخیرهٔ انرژی از منابع تجدید بذری که به محیط زیست آسیب کمتری می رسانند صورت گرفته است. پیل های سوختی اکسید جامد^۱ به عنوان ابزاری الکتروشیمیابی که انرژی شیمیابی ذخیره شده در سوخت را مستقیماً به انرژی الکتریکی تبدیل می کنند به شدت مورد توجه قرار گرفته اند. حذف فرایند سوختن در این تبدیل انرژی مزایای فراوانی همچون بازده بالا، کاهش انتشار گازهای گلخانه ای و کاهش آلودگی صوتی را به همراه دارد [۱]. پیل های سوختی اکسید جامد همانطور که از نامشان بر می آید دارای اجزایی جامد بوده و دمای کارکرد بالا (۶۰۰ تا ۱۰۰۰ درجه سانتی گراد) دارند. مهمترین مزیت این دمای کارکرد بالا، قابلیت استفاده از سوختهای گوناگون مانند هیدروژن و انواع سوختهای هیدروکربنی از جمله گاز طبیعی در این پیل های الکتروشیمیابی است [۲، ۳]. بازدهی تبدیل انرژی پیل های سوختی اکسید جامد در محدودهٔ دمایی ۶۰۰ تا ۱۰۰۰ درجهٔ سانتی گراد بیش از ۵۵٪ می باشد. علاوه بر این به دلیل تولید حرارت با کیفیت بالا، در صورت ترکیب این پیل ها با سایر سامانه های بازیابی گرما و انرژی می توان به بازدهی در حدود ۸۵٪ رسید که در میان سایر فناوری های تبدیل انرژی بی همتا است [۳]. به دلیل وجود اجزای زیاد در پیل های سوختی اکسید جامد، دمای کارکرد بالا می تواند علاوه بر مزایای ذکر شده معایب متعددی را نیز برای ما ایجاد کند. از مهمترین این عیوب می توان به واکنش اجزای مختلف سیستم در حین سیکل های حرارتی، تخریب^۴ شیمیابی و ریز ساختاری و نیاز به اتصال دهنده ها و ادوات تبادل حرارتی گران قیمت اشاره نمود [۴، ۵].

¹ Solid Oxide Fuel Cells (SOFC)

² High Quality Heat

³ Degradation

امروزه مانع اصلی برای تجاری سازی گستردگی پیل‌های سوختی اکسید جامد، همچنان هزینه‌ی بالای ساخت و عمر مفید کوتاه آن‌هاست [۱]. لذا بحث پایداری و افزایش طول عمر پیل‌های سوختی اکسید جامد باید در اولویت کارهای پژوهشی قرار گیرد. طول عمر پیل سوختی اکسید جامد به مطابقت اجزای پیل، پایداری شیمیایی تمامی اجزا و نهایتاً پایداری ریزساختاری الکترودهای متخلخل تحت شرایط کاری وابسته است [۱]. با توجه به اینکه اکثر مکانیزم‌های کاهش دهنده‌ی طول عمر پیل‌های سوختی اکسید جامد، در دمای بالا تشدید می‌شوند، لذا یکی از راههای اصلی برای مقابله با تمامی این چالش‌ها کاهش دمای کاری پیل‌های سوختی اکسید جامد به محدوده‌ی دمایی متوسط^۱ یعنی ۵۰۰ تا ۷۰۰ درجه سانتی‌گراد می‌باشد [۲]. با کاهش دمای کاری، سینتیک واکنش‌های کاتدی و آندی در الکترودها و همچنین قابلیت هدایت الکتروولیت به شدت کاهش می‌یابد. رخ داد این پدیده‌ها اتفاق شدید در عملکرد پیل سوختی اکسید جامد را به همراه دارد. امروزه با کاهش ضخامت الکتروولیت تا حدود ۱۰ الی ۱۵ میکرومتر، کاهش مقاومت اهمی الکتروولیت‌ها در محدوده‌ی دمایی ۵۰۰ تا ۷۰۰ درجه سانتی‌گراد به خوبی محقق شده است. علاوه بر این، احیای الکتروشیمیایی اکسیژن بر روی کاتد در مقایسه با واکنش اکسیداسیون سوخت بر روی آند به مراتب کندر بوده و لذا اثر مهمتری روی کاهش بازده سیستم دارد. بنابراین توسعه‌ی کاتدهای دارای عملکرد بالا در محدوده‌ی دمایی متوسط، به بزرگترین چالش پژوهشگران برای کاهش دمای کاری پیل‌های سوختی اکسید جامد تبدیل شده است [۱].

کلید رسیدن به محدوده‌ی دمای کاری متوسط، افزایش نرخ واکنش احیای اکسیژن و تسريع در فرایند انتقال یون اکسیژن در درون کاتد می‌باشد. با توجه به این موضوع، با وجود اینکه کاتدهای متداول مانند^۲ LSM رساناهای الکترونی خوبی هستند، به دلیل هدایت یونی حجمی^۳ ضعیفی که از خود به نمایش می‌گذارند، انتخاب قابل قبولی نمی‌باشند. از طرف دیگر واکنش احیای اکسیژن در این مواد مشخصاً به ناحیه سه فازی الکتروولیت-کاتد-هوای^۴ (TPB) محدود می‌گردد. یک راهکار منطقی برای حل این مشکل استفاده از هادی‌های مخلوط یونی و الکترونی^۵ MIEC به عنوان کاتد می‌باشد که در آن‌ها سطح موثر واکنش احیا، به دلیل وجود همزمان هدایت یونی و الکترونی، به ناحیه‌ای فراتر از TPB و در درون حجم ماده گسترش می‌یابد [۳-۱].

معمولًا باید این ترکیبات را از میان ساختارهایی با ناهمسانگردی^۶ ساختاری، که در آن‌ها مسیرهای ترجیحی برای حرکت یون اکسیژن وجود دارند، برگزید [۲]. یکی از مهمترین ساختارها که چنین خصوصیاتی را به طور همزمان دارا می‌باشد، ترکیبات ردلزن پاپر^۷ درجه یک از نیکلات لانتانیدها، با ترکیب شیمیایی Ln_2NiO_4 هستند (Ln = Pr, La, Nd) که به دلیل قابلیت هدایت یون اکسیژن ذاتی (بدون نیاز به ایجاد جای خالی اکسیژن با افزودن دوپانت) مورد توجه قرار گرفته‌اند. در این ترکیبات یک لایه پروسکایت^۸ LnNiO_3 بین دولاپیدی LnO با ساختار سنگ نمک^۹ ساندویچ شده است. این مواد این قابلیت را دارند که اکسیژن اضافی را توسط لایه‌ی LnO و به صورت بین نشین جذب نمایند. این پدیده به نوبه‌ی خود می‌تواند خاصیت هدایت ناهمسانگرد یون اکسیژن را در این ساختار لایه‌ای ایجاد نماید. [۱, ۶].

در این مقاله‌ی موروری سعی شده است تا با معرفی ساختار بلوری اکسیدهای ردلزن پاپر بر پایه نیکلات لانتانیدها، استفاده از آن‌ها به عنوان کاتدهای پیل سوختی اکسید جامد در دمای متوسط مورد بحث و بررسی قرار گیرد.

۲- ساختار و مکانیزم هدایت یونی در کاتدهای ردلزن پاپر نیکلاتی

همانطور که گفته شد استفاده از کاتدهای MIEC بواسطه‌ی افزایش سطح فصل مشترک بین سوخت گازی، الکترود و الکتروولیت یا همان TPB، سینتیک انتقال بار الکتریکی را تا حد زیادی ارتقاء می‌بخشد. با توجه به این موضوع، نیکلات لانتانیدها با فرمول

¹ Intermediate Temperature Range

² High Performance Cathodes

³ Lanthanum strontium manganite

⁴ Bulk Ionic Conductivity

⁵ Triple Phase Boundary (TPB)

⁶ Mixed Ionic Electronic Conductor (MIEC)

⁷ Anisotropy

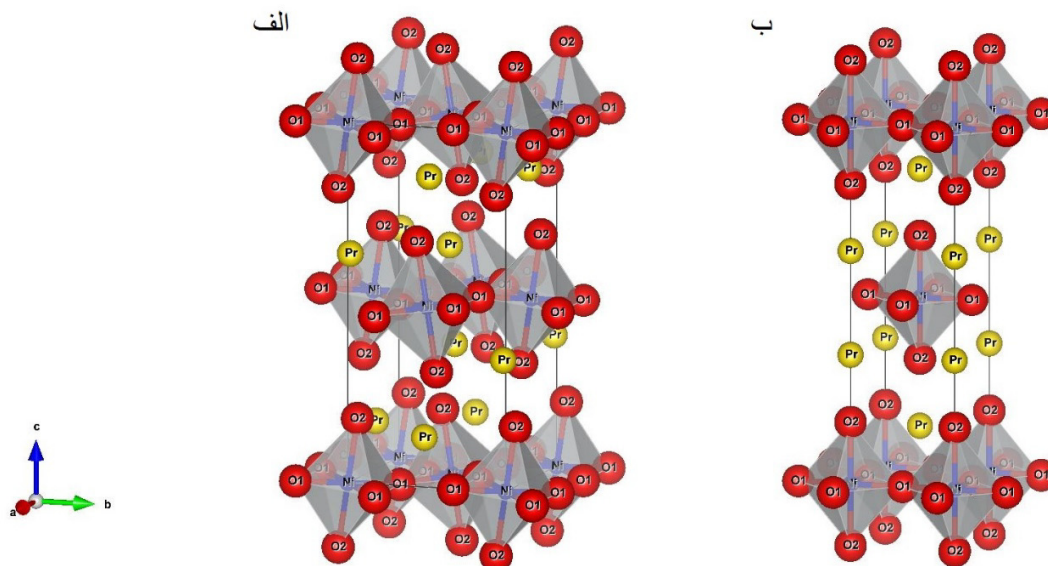
⁸ Ruddlesden-Popper

⁹ Pervoskite

¹⁰ Rock-Salt

کلی $A_{n+1}MnO_{3n+1}$ ($A=La, Nd, Pr$) A_2NiO_{4+5} به عنوان مواد کاتدی MIEC، کاندیدای بسیار مناسبی برای کاربردهای دمای متوسط در پیلهای سوختی اکسید جامد به شمار می‌روند. این اکسیدها به سری اول ($n=1$) از خانواده ردلزدن پاپر ($A_{n+1}MnO_{3n+1}$) با ساختار K_2NiF_4 تعلق دارند. این ساختار لایه‌ای، از چینش متناظر یک لایه‌ی پروسکایتی (که در آن هشت وجهی‌های MO_6 از گوشه به هم متصل هستند) و دو لایه با ساختار سنگ نمک در دو طرف آن، تشکیل شده است. در حالت ایده‌آل یعنی ساختار تتراترونال^۱ دمای بالا، تطابق کاملی بین لایه‌های پروسکایت و سنگ نمک وجود دارد و این باعث می‌شود که هشت وجهی‌ها در راستای چینش لایه‌ها جهت گیری نمایند. اما در حین سرد کردن، به دلیل عدم انتظامی بین لایه‌ها، هشت وجهی‌ها دچار چرخش^۲ شده و فازهای جدیدی با ساختارهای تتراترونال (با تقارن متفاوت نسبت به دمای بالا) و یا ارتورومبیک^۳ به وجود می‌آید [۷].

ترکیبات ردلزدن پاپر بر پایه نیکلات لاتنیدها با تغییرات دما دچار استحاله‌های فازی می‌گردند. این مواد در دمای اتفاق ساختاری ارتورومبیک با گروههای فضایی^۴ $Bmab$ و یا $Fmmm$ دارند که به آن‌ها ارتورومبیک دمای پایین^۵ (LTO) گفته می‌شود. در دمای حدود ۱۵۰۰ کلوین، این ساختار دچار استحاله‌ی فازی شده و به ساختاری تتراترونال با گروه فضایی $14/mmm$ (تتراترونال دمای بالا^۶ (HTT)) تبدیل می‌گردد [۸]. دو ساختار تتراترونال دمای بالا و ارتورومبیک دمای پایین در شکل ۱ به صورت شماتیک نمایش داده شده‌اند.



شکل ۱- (الف) ساختار ارتورومبیک دمای پایین Bmab (ب) ساختار تتراترونال دمای بالا $14/mmm$ در ماده‌ی Pr_2NiO_4 (ساختارها با نرمافزار VESTA و بر اساس اطلاعات ساختاری از [۸] و [۹] رسم شده‌اند).

تقریباً مشخص شده است که در شرایط معمول، اکسیدهای K_2NiF_4 به دلیل پذیرفتن یون اکسیژن بین نشین در درون لایه سنگ نمک، به صورت هایپراستوکیومتری^۷ هستند. باز الکتریکی این یون بین نشین به وسیله‌ی حفره‌های الکترونی در موضع فلز واسطه^۸ خنثی می‌گردد [۷]. رابطه‌ی (۱) واکنش اکسیداسیون شبکه در این ساختار را به نمایش می‌گذارد [۶].

$$\frac{1}{2}O_2 \rightsquigarrow O_i^{\bullet\bullet} + 2h^{\bullet} \quad (1)$$

^۱ Tetragonal

^۲ Tilt

^۳ Orthorhombic

^۴ Space Group

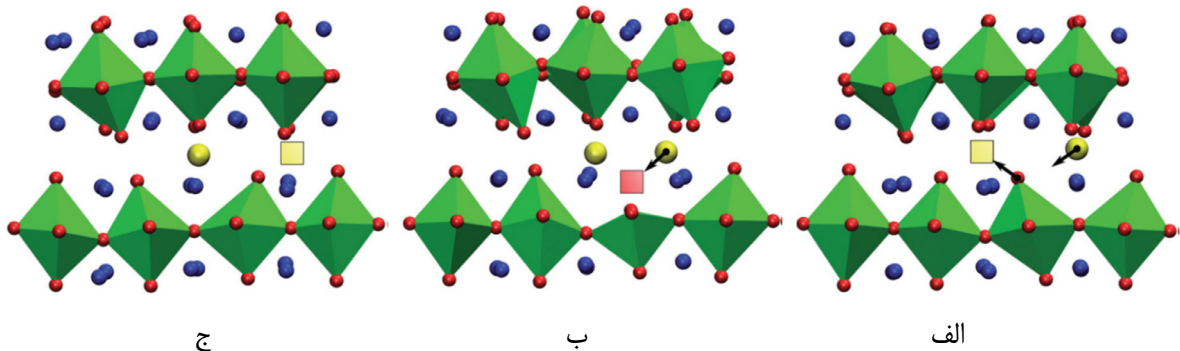
^۵ Low Temperature Orthorhombic (LTO)

^۶ High Temperature Tetragonal (HTT)

^۷ Hyper-stoichiometric

^۸ Transition Metal

شبیه سازی های دینامیک مولکولی^۱ انجام شده بر روی مواد ردلزدن پاپر بر پایه نیکلات لانتانیدها پیش بینی کردند که نفوذ پذیری^۲ یون اکسیژن در این مواد به وسیله ای مکانیزم میان نهادهای^۳ ناهمسانگرد به وقوع می پیوندد. با توجه به این مکانیزم تقریباً کل نفوذ یون اکسیژن در لایه سنگ نمک (صفحه ای a-b) انجام می گیرد [۲]. اکسیژن رأس^۴ هشت وجهی^۵ NiO₆ در فرایند مهاجرت یون اکسیژن بین نشین، مطابق آنچه در شکل ۲ نشان داده شده، مشارکت می نماید. در آرایش اولیه، هشت وجهی های NiO₆ در مجاورت یون اکسیژن بین نشین (شکل ۲(الف)) دچار چرخش شده و کرنش شدید موضعی در شبکه ایجاد می کند. یون اکسیژن رأس یکی از این هشت وجهی ها به فضای خالی بین نشین منتقل شده، و متعاقباً یون اکسیژن بین نشین جای آن را می گیرد تا به این ترتیب کرنش موضعی از بین برود. آرایش نهایی (شکل ۲(ج)) دقیقاً مشابه حالت اول است با این تفاوت که یون اکسیژن بین نشین در لایه ای سنگ نمک جا بجا شده است [۱۰].



شکل ۲- مکانیزم میان نهادهای نفوذ یون اکسیژن در ساختار ردلزدن پاپر (الف) موقعیت اولیه، فاصله گرفتن هشت وجهی ها از یون اکسیژن بین نشین (ب) موقعیت ناپایدار میانی پس از جابجایی اکسیژن رأس با فضای خالی بین نشین (ج) موقعیت نهایی، جابجایی یون اکسیژن بین نشین با جای خالی اکسیژن رأس [۱۰].

مقادیر محاسبه شده ی نفوذ پذیری یون اکسیژن در این اکسیدها با در نظر گرفتن این مکانیزم، برای هایپراستوکیومتری های (۵) مختلف تطابق بسیار بالایی را با نتایج تجربی از خود نشان داده اند [۱۱، ۱۲]. از طرف دیگر، مقادیر محاسبه شده برای انرژی فعال سازی نفوذ، حاکی از وابستگی شدید آنها به درجه های پر استوکیومتری می باشد (از $0.49 / 0.25$ الکترون ولت برای $0.25 / 0.64$ الکترون ولت برای $0.2 = 5$ [۱۱]). این وابستگی ضریب نفوذ یون اکسیژن به غلظت یون بین نشین، اطلاعات بسیار مفیدی را درباره مکانیزم نفوذ به ما ارائه می دهد. ضریب نفوذ اکسیژن بین نشین (D) بر حسب دما (T) در رابطه (۲) ارائه شده است [۲].

$$D = D_i [O_i] \exp\left(-\frac{E_m}{k_B T}\right) \quad (2)$$

که در اینجا $[O_i]$ غلظت اکسیژن بین نشین، (D_i) مقداری ثابت، (E_m) انرژی فعال سازی نفوذ و (k_B) ثابت بولتزمن^۶ می باشند [۲]. در ابتدا با افزایش غلظت اکسیژن بین نشین، نفوذ پذیری به شدت افزایش می یابد که با توجه به اینکه این یون ها عامل اصلی نفوذ می باشند امری منطقی به نظر می رسد. اما با رسیدن ۵ به حدود $0.2 / 0$ ، ضریب نفوذ به حالت اشیاع رسیده و بیش از این افزایش پیدا نمی کند. از لحاظ فیزیکی این امر را می توان به این شکل تفسیر کرد که با افزایش غلظت یون بین نشین، مقاومت شبکه در برابر حرکت آنها افزایش می یابد. اکسیژن های بین نشین اولیه به دلیل ایجاد کرنش موضعی، موجب قفل شدن^۷ هشت وجهی های NiO₆ گردیده و لذا قابلیت چرخش آنها به منظور تسهیل نفوذ یون اکسیژن کاهش می یابد [۲].

¹ Molecular Dynamic

² Diffusivity

³ Interstitialcy

⁴ Apical Oxygen

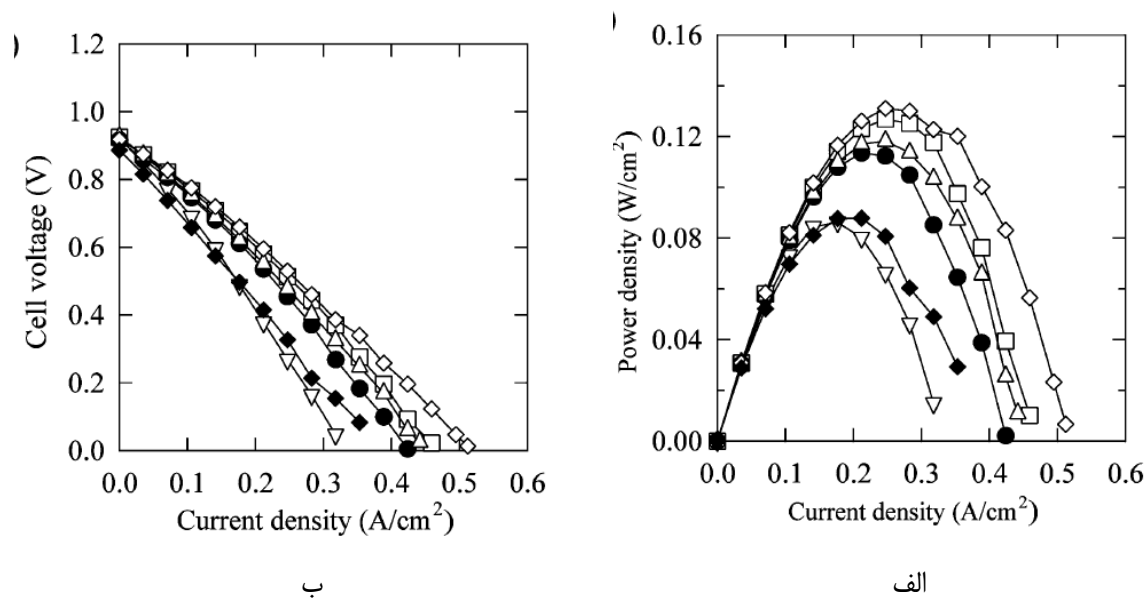
⁵ Boltzmann Constant

⁶ Pinning

۳- مقایسه خواص الکتروشیمیایی اکسیدهای ردلزدن پاپر و پروسکایتی

همانطور که گفته شد با توجه به ساختار بلوری اکسیدهای ردلزدن پاپر و همینطور نتایج به دست آمده از شبیه سازی، انتظار می رود که این مواد در مقایسه با کاتدهای پروسکایتی متداول خواص الکتروشیمیایی به مرتبه بهتری داشته باشند. تعدادی از محققین با توجه به این موضوع، با انجام آزمایش های تجربی، این امر را مورد بحث و بررسی قرار داده اند.

نومورا^۱ و همکارانش [۱۳] در یک کار تحقیقاتی، خواص الکتروشیمیایی ترکیبات Pr_2NiO_4 را با اکسید پروسکایتی^۲ LSCF، که یکی از کاتدهای متداول برای پیل سوختی اکسید جامد می باشد، مقایسه کردند. همانطور که در شکل ۳ نشان داده است، تمامی ترکیبات بر پایه Pr_2NiO_4 ، نسبت به LSCF دانسیته توان^۳ و ولتاژ پیل بالاتری را تولید می نمایند. نومورا و همکارانش این اختلاف را به ضریب نفوذ بالاتر یون اکسیژن² O²⁻ در ترکیبات ردلزدن پاپر نیکلاتی و متعاقبا هدایت یونی بالاتر آنها نسبت می دهند. طبق گزارش این پژوهشگران، بیشینه دانسیته توان تولیدی ۱۳۱ mW/cm² در دمای ۷۰۰ درجه سانتیگراد به پیل منفرد ($[\text{Pr}_{1.91}\text{Ni}_{0.71}\text{Cu}_{0.24}\text{Ga}_{0.05}\text{O}_4]/[\text{SDC}]/[\text{Ni-SDC}]$) تعلق دارد [۱۳].



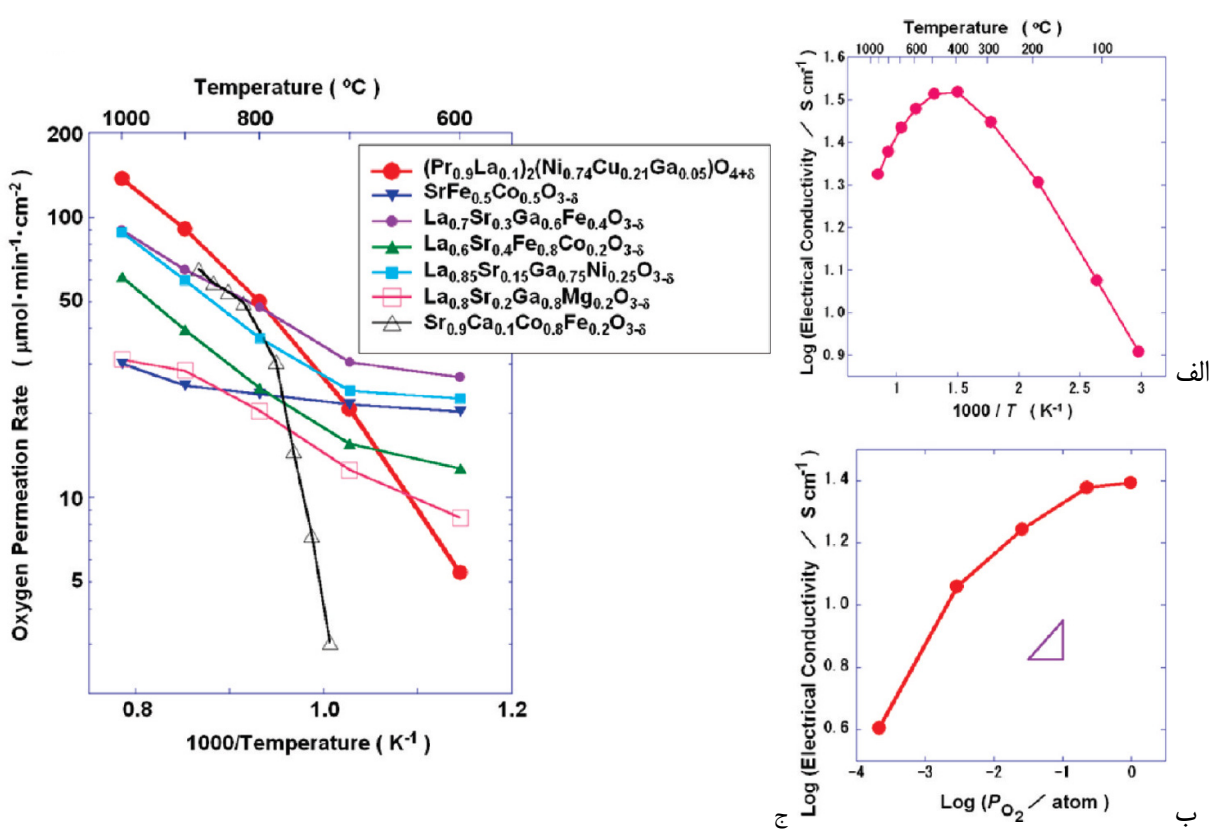
شکل ۳- (الف) دانسیته توان بر حسب دانسیته جریان و (ب) ولتاژ پیل بر حسب دانسیته جریان در ۷۰۰ درجه سانتیگراد برای Pr_2NiO_4 (دایره)، $\text{Pr}_{2\text{Ni}_{0.9}\text{Cu}_{0.1}\text{O}_4}$ (مثلث)، $\text{Pr}_{2\text{Ni}_{0.75}\text{Cu}_{0.25}\text{O}_4}$ (مربع)، $\text{Pr}_{1.91}\text{Ni}_{0.71}\text{Cu}_{0.24}\text{Ga}_{0.05}\text{O}_4$ (لوژی توخالی) و $\text{Pr}_{2\text{Ni}_{0.9}\text{Co}_{0.1}\text{O}_4}$ (مثلث وارونه) و LSCF (لوژی توپر) [۱۳].

یاشیما و همکارانش [۱۴] در یک کار پژوهشی دیگر نشان دادند که ترکیبات ردلزدن پاپر نیکلاتی از هدایت الکتریکی بسیار خوبی برخوردار بوده و مقدار این هدایت الکتریکی در بازه ۰°C تا ۳۹۴°C با افزایش دما، افزایش می یابد (رفتار مشابه نیمه هادی ها). با افزایش دما تا ۴۹۰°C، هدایت الکتریکی شروع به کاهش می نماید (رفتار شبه فلزی). نکته جالب دیگر اینکه هدایت الکتریکی کل با افزایش فشار جزیی اکسیژن افزایش یافته که طبق نظر نویسندها ناشی از تشکیل زوج الکترون-حفره می باشد (با توجه به رابطه (۱)، افزایش فشار جزیی اکسیژن علاوه بر هدایت الکترونی، هدایت یونی را نیز افزایش می دهد). در شکل ۴ نرخ عبوردهی اکسیژن در PLNCG (با ساختار ردلزدن پاپر K_2NiF_4) با برخی از هادی های MIEC متداول (با ساختار پروسکایتی ABO_3) مقایسه شده است. نرخ عبوردهی در PLNCG با افزایش دما افزایش یافته و مقدار آن در مقایسه با کاتدهای پروسکایتی متداول به طور قابل توجهی بالا می باشد ($137 \mu\text{mol cm}^{-2} \text{min}^{-1}$ در دمای ۱۰۰۰°C) [۱۴].

¹ Nomura

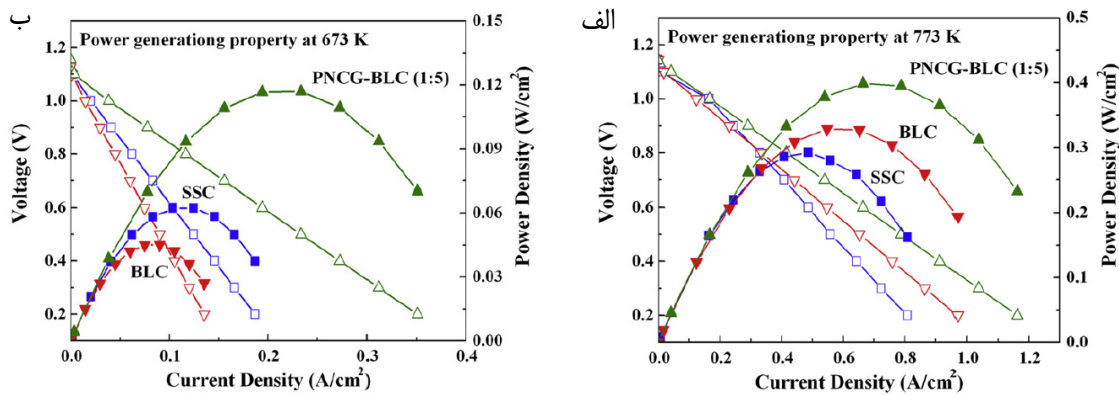
² Lanthanum Strontium Cobalt Ferrite

³ Power Density



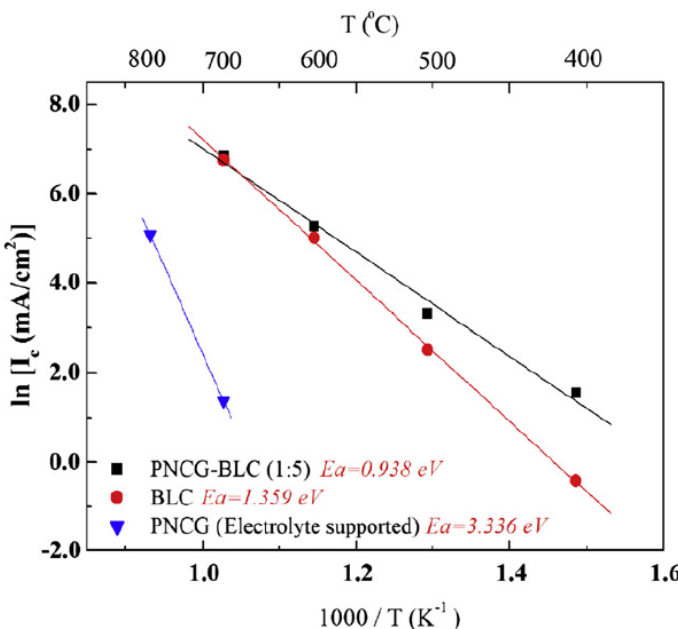
شکل ۴- (الف) هدایت الکتریکی PLNCG بر حسب دما در اتمسفر هوا (ب) هدایت الکتریکی PLNCG با هادی های MIEC پروسکایتی متداول [۱۴].

در عین حال می توان با استفاده از اکسیدهای ردلزن پاپر نیکلاطی خواص الکتروشیمیایی اکسیدهای پروسکایتی را بهبود بخشد. در این راسته، شی و همکارانش [۱۵]، اکسید ردلزن پاپر نیکلاطی (PNCG) $\text{Pr}_{1.9}\text{Ni}_{0.71}\text{Cu}_{0.24}\text{Ga}_{0.05}\text{O}_{4+\delta}$ را با اکسیدهای پروسکایتی $\text{Sm}_{0.5}\text{Sr}_{0.5}\text{CoO}_3$ (SSC)، $\text{Ba}_{0.5}\text{La}_{0.5}\text{CoO}_3$ (BLC) مخلوط کرده و خواص کاتدی لایه ضخیم کامپوزیتی را مورد بررسی قرار دادند. همانطور که در شکل ۵ نشان داده شده است، با افزودن PNCG به BLC، خواص الکتروشیمیایی کامپوزیت حاصل به طور قابل توجهی از اکسید پروسکایتی خالص بالاتر است. شی دلیل این امر را به حضور فاز PNCG با هدایت یونی بالای یون اکسیژن نسبت داده و معتقد است در مقایسه با BLC موضع احیای یون اکسیژن از مرزهای سه فازی (هوا، کاتد، الکتروولیت) به حجم کاتد گسترش بیشتری می یابند [۱۵].



شکل ۵- منحنی های ولتاژ و دانسیته ای جریان برای پیل منفرد دارای الکتروولیت LSGM با ضخامت ۵ میکرومتر و کاتدهای لایه نازک [۱۵] PNCG-BLC (1:5) و SSC.

شی و همکارانش با محاسبه‌ی شب منحنی‌های آرنیوسی^۱ لگاریتم دانسیته‌ی جریان بر حسب معکوس دما در پتانسیل مازاد ۷/۰/۰/۵ (شکل ۶)، پارامتری تحت عنوان انرژی فعال سازی ظاهری برای واکنش کاتدی (Ea) را مورد بررسی قرار دادند. این انرژی فعال سازی برای لایه نازک کامپوزیتی PNCG-BLC در حدود ۰/۹۳۸ در حدود ۰/۹۳۸ الکترون ولت تخمین زده می‌شود که نشان می‌دهد، پس از اختلاط PNCG و BLC، انرژی اکتیواسیون ظاهری واکنش کاتدی کامپوزیت نسبت به اکسیدهای مادر^۲ به شدت کاهش پیدا کرده است [۱۵].



شکل ۶- منحنی‌های آرنیوسی لگاریتم دانسیته‌ی جریان بر حسب معکوس دما در پتانسیل مازاد ۷/۰/۰/۵ [۱۵].

ژو^۳ و همکارانش [۱۶] در یک کار پژوهشی، پایداری عملکرد^۴ در کاتد Pr₂NiO₄ را مورد بررسی قرار داده و متعاقباً رفتار این ماده را با سایر کاتدهای متداول مقایسه کردند. همانطور که در شکل ۷ نشان داده شده است، اگرچه پیل بر پایه کاتد کامپوزیتی LSM/SDC پس از گذشت بیش از ۱۰۰۰ ساعت همچنان از لحاظ عملکرد پایدار است، اما دانسیته‌ی توان تولیدی آن نسبتاً پایین (۰/۳ W/cm²) می‌باشد. در سیستم‌های BSCF^۵ و LSCF^۶ (کاتدهای MIEC متداول) مطابق انتظار، توان تولیدی اولیه در دمای ۷۵۰°C بسیار بالا بوده و در مورد BSCF حتی از Pr₂NiO₄ نیز بالاتر است. اما در هر دوی این کاتدها با گذشت زمان، توان تولیدی با نرخ نسبتاً زیادی کاهش می‌یابد. ژو ضمن اشاره به ناشناخته بودن مکانیزم تخریب، کاهش در توان تولیدی را به جدایش Sr در حین اعمال پتانسیل الکتروشیمیایی نسبت می‌دهد. در پیل‌های ساخته شده از کاتد Pr₂NiO₄، اگرچه دانسیته‌ی توان تولیدی اولیه با LSCF مشابه است، اما بر خلاف LSCF و BSCF، با گذشت ۱۰۰۰ ساعت در دمای ۷۵۰°C، کاهش در دانسیته‌ی توان تولیدی تنها در حدود ۱ تا ۳ درصد است [۱۶].

نکته‌ی دیگری که باید به آن اشاره کرد، مقاومت بالای ساختارهای ردلزدن پاپر بر پایه نیکلات لانتانیدها مانند Nd₂NiO₄ در برابر اثرات منفی ایجاد شده توسط گونه‌های گازی حاوی کروم ناشی از اتصال دهنده‌ها است. یانگ^۷ و همکارانش [۱۷] در یک کار پژوهشی اثر مسمومیت کرومی بر روی ضریب تبادل سطحی اکسیژن (K_{chem}) در (La_{0.6}Sr_{0.4}CoO₃) و Nd₂NiO₄ را در دمای ۶۰۰°C با یکدیگر مقایسه کردند. این پژوهشگران در این مطالعه، کروم فلزی را با ضخامت ۱۰ تا ۳۰ نانومتر بر روی سطح اکسیدهای مورد بررسی لایه نشانی نمودند (با استفاده از روش رسوب دهی از فاز بخار فیزیکی PVD^۸). در عین حال

¹ Arrhenius Plots

² Activation Energy For Apparent Electrode Reaction

³ Parent Oxides

⁴ Zhou

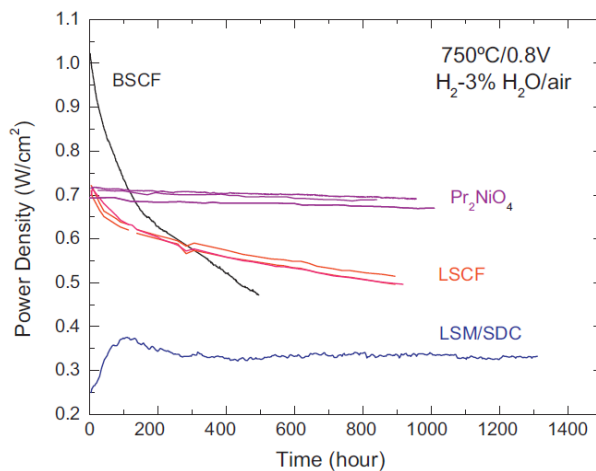
⁵ Performance Stability

⁶ Barium Strontium Cobalt Ferrite

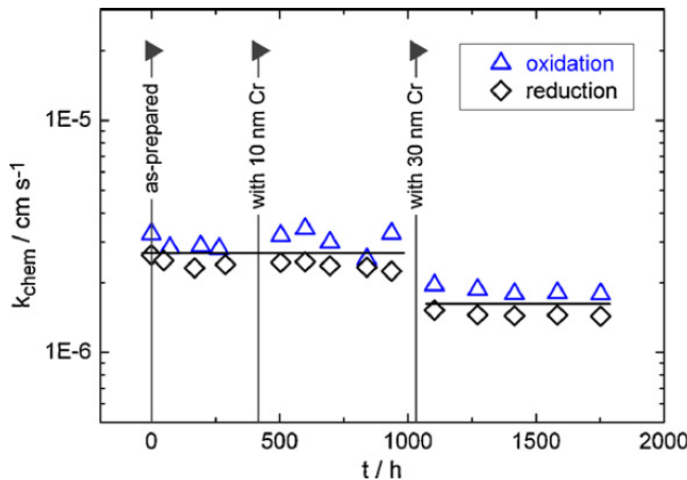
⁷ Yang

⁸ Physical Vapor Deposition

ضریب تبادل سطحی اکسیژن بوسیله‌ی ایجاد تعییرات ناگهانی در فشار جزیی اکسیژن (در محدوده‌ی ۱/۰ تا ۱/۱۵ بار) و متعاقباً تعییرات هدایت الکتریکی اندازه‌گیری شد (با برآش منحنی مقادیر هدایت الکتریکی اندازه‌گیری شده بر حسب زمان، به روش کمترین مجموع مربعات غیر خطی^۱، با مدل ارائه شده توسط پرایز^۲ و زیته^۳ [۱۸] می‌توان ضریب تبادل سطحی اکسیژن را محاسبه نمود). یانگ و همکارانش نشان دادند در حضور این لایه ۱۰ نانومتری، k_{chem} در مورد LSC حدود ۵۰ درصد کاهش می‌یابد، ولی وجود همین مقدار کروم بر روی سطح Nd_2NiO_4 تقریباً هیچ اثری بر k_{chem} ندارد. همانطور که شکل ۸ نشان می‌دهد، تنها در ضخامت‌های بالای کروم (بیش از ۳۰ نانومتر) است که ضریب تبادل سطحی اکسیژن در ماده‌ی Nd_2NiO_4 اندکی تحت تاثیر قرار می‌گیرد [۱۷].



شکل ۷- عملکرد الکتروشیمیایی پیل منفرد با کاتدهای BSCF، LSCF، Pr_2NiO_4 و LSM در دمای 750°C و ولتاژ $0.8/\text{V}$ (الکترولیت SDC) [۱۶].



شکل ۸- تغییرات ضریب تبادل سطحی اکسیژن برای ماده‌ی Nd_2NiO_4 در دمای 600°C در ضخامت‌های مختلف لایه‌ی کرومی [۱۷].

۴- نتیجه‌گیری

دمای بالا در پیل‌های سوختی اکسید جامد، عامل اصلی تخریب خواص الکتروشیمیایی در این سیستم‌ها می‌باشد. بدین منظور کاهش دمای کاری پیل‌های سوختی اکسید جامد به محدوده‌ی دمای متوسط یعنی 500°C تا 700°C درجه سانتیگراد، به اولیت

^۱ Non-Linear Least Squares Method

^۲ Preis

^۳ Sitte

اصلی کارهای پژوهشی در این زمینه تبدیل شده است. با توجه به کاهش شدید هدایت یونی با کاهش دما در کاتدهای متداول پروسکایتی، امروزه استفاده از ترکیبات هادی مخلوط الکترونی و یونی که دارای ناهمسانگردی در ساختار بلوری می‌باشند به شدت مورد توجه قرار گرفته است. ناهمسانگردی در ساختار بلوری، منجر به ایجاد مسیرهای ترجیحی برای هدایت یون اکسیژن شده، و متعاقباً می‌توان هدایت یونی بالایی را در محدوده دمای متوسط بدست آورد. اکسیدهای ردلزدن پاپر بر پایه نیکلات لانتانیدها، از جمله مهمترین اکسیدهایی هستند که چنین خواصی را از خود به نمایش می‌گذارند. مطالعات تجربی نشان داده‌اند که خواص الکتروشیمیابی این دسته از اکسیدها به مرتب از اکسیدهای پروسکایتی متداول بالاتر است، ولذا استفاده از این اکسیدها به عنوان کاتد پیل سوختی اکسید جامد، یکی از مهمترین راهکارها برای کاهش دمای کاری این سیستم‌ها به محدوده دمای متوسط می‌باشد.

مراجع

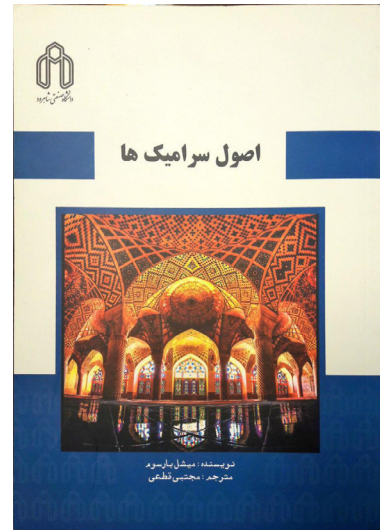
- [1] Y. Chen, W. Zhou, D. Ding, M. Liu, F. Ciucci, M. Tade, Z. Shao, Advances in cathode materials for solid oxide fuel cells: complex oxides without alkaline earth metal elements, *Advanced Energy Materials*, 5 (2015) 1500537.
- [2] A. Chroneos, B. Yildiz, A. Tarancón, D. Parfitt, J. A. Kilner, Oxygen diffusion in solid oxide fuel cell cathode and electrolyte materials: mechanistic insight from atomistic simulations, *Energy and Environmental Science*, 4 (2011) 2774-2789.
- [3] N. H. Perry, T. Ishihara, Roles of bulk and surface chemistry in the oxygen exchange kinetics and related properties of mixed conducting perovskite oxide electrodes, *Materials*, 9 (2016) 858.
- [4] J. Larminie, A. Dicks, *Fuel cell systems explained*, second ed, John Wiley and Sons Ltd, (2003).
- [5] R. O'Hayre, S.W. Cha, W.G. Colella, F.B. Prinz, *Fuel cell fundamentals*, third ed, John Wiley and Sons Inc, (2016).
- [6] A. Tarancón, M. Burriel, J. Santiso, S.J. Skinner, J.A. Kilner, Advances in layered oxide cathodes for intermediate temperature solid oxide fuel cells, *Journal of Materials Chemistry*, 20 (2010) 3799-3813.
- [7] T. Broux, C. Prestipino, M. Bahout, S. Paofai, E. Elkaim, V. Vibhu, J.C. Grenier, A. Rougier, J.M. Bassat, O. Hernandez, Structure and reactivity with oxygen of $\text{Pr}_2\text{NiO}_{4+\delta}$: an in situ synchrotron X-ray powder diffraction study, *Dalton Transactions*, 45 (2016) 3024-3033.
- [8] S. M. Aspera, M. Sakaue, T. D. K. Wungu, M. Alaydrus, T. P. T. Linh, H. Kasai, M. Nakanishi, T. Ishihara, Analysis of structural and electronic properties of Pr_2NiO_4 through first-principles calculations, *Journal of Physics Condensed Matter*, 24 (2012) 405504.
- [9] M. T. Fernandez-Diaz, J. Rodriguez-Carvajal, J. L. Martinez, G. Fillion, F. Fernandez, R. Saez-Puche, Structural and magnetic phase transitions in Pr_2NiO_4 , *Zeitschrift fur Physik B Condensed Matter*, 82 (1991) 275-282.
- [10] A. Chroneos, D. Parfitt, J. A. Kilner, R. W. Grimes, Anisotropic oxygen diffusion in tetragonal $\text{La}_2\text{NiO}_{4+\delta}$: molecular dynamics calculations, *Journal of Materials Chemistry*, 20 (2010) 266-270.
- [11] D. Parfitt, A. Chroneos, J. A. Kilner, R. W. Grimes, Molecular dynamics study of oxygen diffusion in $\text{Pr}_2\text{NiO}_{4+\delta}$, *Physical Chemistry Chemical Physics*, 12 (2010) 6834-6836.
- [12] E. Boehm, J. M. Bassat, P. Dodor, F. Mauvy, J. C. Grenier, P. Stevens, Oxygen diffusion and transport properties in non-stoichiometric $\text{Ln}_{2-x}\text{NiO}_{4+\delta}$ oxides, *Solid State Ionics*, 176 (2005) 2717-2725.
- [13] T. Nomura, S. Nishimoto, Y. Kameshima, M. Miyake, Electrode properties of doped Pr_2NiO_4 based oxide cathode for intermediate temperature SOFCs, *Journal of the Ceramic Society of Japan*, 120 (2012) 534-538.
- [14] M. Yashima, N. Sirikanda, T. Ishihara, Crystal structure diffusion path and oxygen permeability of a Pr_2NiO_4 based mixed conductor $(\text{Pr}_{0.9}\text{La}_{0.1})_2(\text{Ni}_{0.74}\text{Cu}_{0.21}\text{Ga}_{0.05})\text{O}_{4+\delta}$, *Journal of American Chemical Society*, 132 (2010) 2385-2392.
- [15] J. Xie, Y. W. Ju, M. Matsuka, S. Ida, T. Ishihara, Synergy effects of $\text{Pr}_{1.91}\text{Ni}_{0.71}\text{Cu}_{0.24}\text{Ga}_{0.05}\text{O}_4$ and $\text{Ba}_{0.5}\text{La}_{0.5}\text{CoO}_3$ composite on cathodic activity for intermediate temperature solid oxide fuel cells, *Journal of Power Sources*, 228 (2013) 229-236.
- [16] X. D. Zhou, J. W. Templeton, Z. Nie, H. Chen, J. W. Stevenson, L. R. Pederson, Electrochemical performance and stability of the cathode for solid oxide fuel cells: V high performance and stable Pr_2NiO_4 as the cathode for solid oxide fuel cells, *Electrochimica Acta*, 71 (2012) 44-49.
- [17] M. Yang, E. Bucher, W. Sitte, Effects of chromium poisoning on the long-term oxygen exchange kinetics of the solid oxide fuel cell cathode materials $\text{La}_{0.6}\text{Sr}_{0.4}\text{CoO}_3$ and Nd_2NiO_4 , *Journal of Power Sources*, 196 (2011) 7313-7317.
- [18] W. Preis, E. Bucher, W. Sitte, Oxygen exchange kinetics of $\text{La}_{0.4}\text{Sr}_{0.6}\text{FeO}_{3-\delta}$ by simultaneous application of conductivity relaxation and carrier gas coulometry, *Solid State Ionics*, 175 (2004) 393-397.

قازه‌های نشر

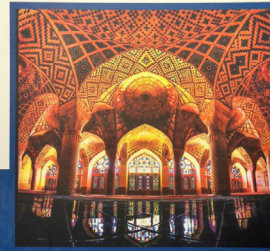
اصول سرامیک‌ها

مترجم: مجتبی قطعی

سرامیک‌ها برای هزاران سال به انسان‌ها خدمت کرده‌اند اما تکنولوژی‌های پیشرفته و نیاز به مواد نو، مجدداً تحقیقات را به سمت این مواد معطوف کرده‌اند و اکنون می‌توان گفت که قدیمی‌ترین ماده مورد استفاده بشر به ماده‌ای برای آینده تبدیل شده است. سرامیک‌ها بی‌شک کلیدی ترین مواد در سال‌های آینده خواهد بود. کتاب حاضر مجموعه‌ای ارزشمند به منظور آشنایی با اصول و مفاهیم اولیه سرامیک از جمله ساختار سرامیک‌ها، ترمودینامیک و سیستمیک سرامیک‌ها، عیوب در سرامیک‌ها، نفوذ و رسانایی الکتریکی، تعادل فازی، ایجاد، ساختار و خواص شیشه‌ها، خوش و خستگی در سرامیک‌ها، خواص مکانیکی، حرارتی، دی‌الکتریک، مغناطیسی و نوری سرامیک‌ها می‌باشد.



اصول سرامیک‌ها



نویسنده: میشل بارلار
مترجم: مجتبی قطعی

معرفی پایان‌نامه‌های دانشجویی

پایان‌نامه دکترا

سنتز نانوکامپوزیت‌های دما بالای سیستم سه تایی ZrB₂-SiC-ZrC به روش SPS و سینتر آن‌ها به روش MA-SHS



دانشجو: سید محسن امامی
اساتید راهنما: محمد ذاکری، اسماعیل صلاحی
استاد مشاور: سید علی طبیی فرد
پژوهشگاه مواد و انرژی

چکیده: در این رساله روش جدیدی برای سنتز کامپوزیت سیستم سه تایی دما بالای ZrB₂-SiC-ZrC ارایه شده است. پودر کامپوزیت مذکور از مواد اولیه زیرکن، اکسید بور، کربن و منزیم با استفاده از جرقه پلاسمای (SPS) به روش سنتز خوداختراقی دما بالا (SHS) در چهار ترکیب گوناگون دارای ع. ۱۰، ۱۵ و ۲۰ درصد ZrC سنتز شد و فازهای ترکیبات حاصل توسط پراش پرتو ایکس تایید شدند. روند سنتز پودرها توسط نمودارهای جابجایی (انقباض نمونه) و دما بر حسب زمان (DTT) و نیز نمودارهای سرعت جابجایی (انقباض) بر حسب دما و زمان مستخرج از فرایند SPS بررسی شد که دمای بهینه ۴۰۰°C و زمان بهینه ۱۵min برای سنتز پودر کامپوزیتی ZrB₂-SiC-ZrC ZrC به دست آمد. سپس برای سینتر پودرهای حاصل از این روش دوباره از فرایند SPS در دمای ۱۱۰۰°C و زمان ماندگاری ۵ min در دمای بیشینه استفاده شد. در این مرحله نیز برای بررسی فرایند سینتر نمودارهای مورد استفاده قرار گرفتند که مشخص شد نمونه‌ها در دمای بهینه ۱۷۵۰°C و زمان بهینه ۱۷ min به طور کامل سینتر می‌شوند. اثر ترکیب، دما و زمان فرایند سینتر نیز بر خواص و ساختار نمونه‌های سینتر شده مورد بررسی قرار گرفت. تعیین ریزساختار نمونه‌های گوناگون و خواص فیزیکی (چگالی) و مکانیکی (استحکام، سختی و چفرمگی) آنها نشان داد که با افزایش چگالی و خواص مکانیکی نمونه‌ها تا مقدار ZrC ۱۵٪ به دلیل اثر مفید ZrC بر سینترپندری و پیوستگی مناسب ذرات فازهای گوناگون در ساختار، افزایش داشته و پس از آفت شدیدی می‌کند. بنابراین در دما و زمان سینتر یکسان، نمونه دارای ZrC ۱۵٪ با چگالی نسبی ۹۹/۷٪ دارای بالاترین خواص مکانیکی (استحکام ۱۹ GPa، سختی ۱۹/۳۸ GPa و چفرمگی ۱۵/۹۴ GPa) و نمونه دارای ZrC ۲۰٪ با چگالی نسبی ۹۴/۴۳٪ دارای کمترین خواص مکانیکی (استحکام ۳۶۹ MPa، سختی ۱۵/۹۴ GPa و چفرمگی ۱۵/۹۴ GPa) بود. در مورد اثر دما و زمان سینتر نیز مشخص شد که با افزایش هر یک از این عامل‌ها چگالی و خواص نمونه بهبود یافته و همچنین دما نسبت به افزایش زمان سینتر، تأثیر بیشتری در بهبود خواص نمونه دارد. در نتیجه نمونه دارای ۲۰٪ ZrC که پایین‌ترین خواص را داشت، در دمای C ۱۸۵۰ و زمان ماندگاری ۱۵ min به چگالی نسبی ۹۹/۵٪، استحکام ۲۰/۶۵ GPa، سختی ۲۰/۶۵ GPa و چفرمگی ۱/۱ MPa.m^{1/2} رسید.

کلمات کلیدی: سرامیک‌های فوق دما بالا، دی‌بورایید زیرکنیم، کاربید سیلیسیم، کاربید زیرکنیم، سنتز خوداختراقی دما بالا، سینتر با جرقه پلاسمای، کامپوزیت، ریزساختار، خواص مکانیکی.

پایان نامه کارشناسی ارشد

تأثیر پارامترهای ساخت و مواد افزودنی بر خواص اپتیکی قطعات سرامیکی اسپینل آلومینات منیزیم

دانشجو: علی شفیعی کهنموبی

استاد راهنما: محمد حسین عنایتی

استاد مشاور: امیرالحاجی

دانشگاه صنعتی اصفهان

چکیده: اسپینل آلومینات منیزیم جز مواد سرامیک‌های شفاف با عبور دهی خیلی بالا (۱/۷ درصد) می‌باشد که خواص مکانیکی مناسبی هم (استحکام شکست ۳۷۰ مگا پاسکال) دارد. از جمله موارد مهمی که روی میزان عبور سرامیک‌های شفاف تأثیرگذار است، تخلخل‌ها می‌باشند که باعث پراکنش نور می‌شوند. برای اینکه نمونه‌ای به شفافیت برسد باید چگالی آن برابر چگالی تصوری بشود برای مثال وجود ۵٪ درصد تخلخل در نمونه اسپینل آلومینات منیزیم باعث افت شدید شفافیت می‌شود علاوه بر آن توزیع تخلخل نیز تأثیر بسزایی در میزان عبور نور دارد. هر چه اندازه تخلخل به طول موج عبوری نزدیک باشد بیشترین افت شفافیت را منجر می‌شود؛ بنابراین باید از روش‌هایی برای ساخت سرامیک‌های شفاف استفاده کرد که حداقل میزان تخلخل باقی‌مانده با توزیع مناسب تخلخل را داشته باشد. اخیراً استفاده از روش‌های شکل دهی کلوئیدی برای ساخت سرامیک‌های شفاف رایج شده‌اند که در بین آن‌ها روش شکل دهی ریخته‌گری دوغابی به دلیل هزینه پایین و توزیع مناسب تخلخل یک روش پرکاربرد برای ساخت سرامیک‌های شفاف می‌باشد. در این پژوهش به بررسی تأثیر روش ریخته‌گری دروغابی بر میزان عبور نور پرداخته شد. پودرهایی با اندازه ذرات مختلف تهیه و خواص رئولوژیکی در مقادیر مختلفی از پراکنده‌ساز دولابیکس ۶۴ CE آن‌ها مورد بررسی قرار گرفت. مشاهده گردید که با اضافه کردن پراکنده‌ساز مقدار ویسکوزیتی در یک مقدار خاصی که بستگی به اندازه پودر دارد کمترین مقدار می‌شود که مقدار بهینه پراکنده‌ساز می‌باشد علاوه بر آن با افزایش اندازه ذره به دلیل کاهش سطح درصد بهینه پراکنده‌ساز کاهش می‌یابد به طوری که با افزایش اندازه ذره از ۹۰ نانومتر به ۵۰۰ نانومتر میزان بهینه پراکنده‌ساز از ۲/۵ به ۵٪ درصد وزنی باز جامد کاهش یافت. سپس در شرایط بهینه از پراکنده‌ساز و در بارهای جامد مختلف نمونه‌هایی با پودرهای مختلف ریخته‌گری شد. مشاهده گردید که با افزایش بار جامد چگالی خام افزایش می‌یابد که برای دوغاب ۵۶ درصد وزنی با نیم درصد وزنی پراکنده‌ساز از پودر ۵۰۰ نانومتری، چگالی خام ۱۵ درصد به دست آمد. برای نمونه‌های ریخته‌گری شده از پودرهای مختلف مشاهده شد که با کاهش اندازه ذره (کمتر از ۱۵۰ نانومتر) چگالی خام به دلیل آکلومراسیون به شدت کاهش می‌یابد. نمونه‌های بهینه (نمونه ساخته شده با بار جامد ۵۶ درصد وزنی و نیم درصد پراکنده‌ساز و چگالی خام ۱۵ درصد) پس از ریخته‌گری با آزمون تخلخل سنجی، اندازه و توزیع تخلخل آن‌ها مورد بررسی قرار گرفت. مشاهده گردید که توزیع اندازه تخلخل برای نمونه‌ها به صورت تک پیک و در نصف اندازه ذره می‌باشد. نمونه‌های بهینه تحت فرایند تفجیشی با پلاسمای جرقه‌ای قرار گرفتند. مشاهده شد نمونه ساخته شده با فرایند ریخته‌گری دوغابی نسبت به نمونه تفجیشی شده به صورت پودری با یک درصد وزنی LiF به عنوان کمک زینتر، ۱۰ درصد در ناحیه مرئی و ۱۵ درصد در ناحیه مادون‌فروز عبور بیشتری دارد. علاوه بر آن با کاهش دمای تفجیشی از ۱۵۰۰ به ۱۴۰۰ درجه سانتی‌گراد میزان عبور نور تا ۲۰ درصد افزایش یافت که به دلیل کاهش رشد دانه می‌باشد.

اعضاي حقوقی انجمن سراميك ايران

اعضاي حقوقی ویژه انجمن سراميك ايران



شرکت پویا همراه سرام (بازرگانی و مهندسین مشاور)

مدیر عامل: مهندس محسنی طارمی

آدرس دفتر مرکزی: تهران، تهرانپارس،
خیابان رشید، بخش خیابان ۱۴۴ غربی، ساختمان امیرکبیر، طبقه ۲،
واحد ۱۰

تلفن دفتر مرکزی: ۰۲۱-۷۷۲۹۵۴۹۸

نشانی سایت: www.phceram.com



تهپیه و تولید مواد نسوز کشور

مدیر عامل: مهندس باقری

آدرس دفتر مرکزی: تهران، یوسف آباد،
خیابان ابن سینا، بخش خیابان ۳۱،
شماره ۸۲

تلفن دفتر مرکزی: ۰۲۱-۸۸۷۱۲۵۶۲

نشانی سایت: www.irrep.com



مجتمع کارخانجات تولیدی

توس چینی

مدیر عامل: مهدی کاملان نجار

آدرس دفتر مرکزی: مشهد،
صلع غربی میدان احمد آباد، پلاک ۱۲

تلفن دفتر مرکزی: ۰۵۱۳-۸۴۱۶۸۸۰

نشانی سایت: www.toosporcelain.com



کاشی نیلو

مدیر عامل: مهندس بلوجی

آدرس دفتر مرکزی: اصفهان،
خیابان حکیم نظامی، ابتدای محتشم
کاشانی، ساختمان کاشی نیلو

تلفن دفتر مرکزی: ۰۳۱۳-۶۲۵۴۱۲۶

نشانی سایت: www.NilouTile.com

Glassworks Hounsell Ltd

مدیر عامل:

Mr. William Brinkman

آدرس دفتر مرکزی: Glassworks Hounse, Park Lane,
Halesowen, West Midlands, United Kingdom

تلفن دفتر مرکزی:

۴۴-(۰)-۱۳۸۴۵۶۰۶

فاکس:

۴۴-(۰)-۱۳۸۴۵۶۱۳۶

نشانی سایت:

<http://www.glassworkshounsell.co.uk>

اعضای حقوقی ممتاز انجمن سرامیک ایران

دانشگاه آزاد اسلامی واحد دزفول

مدیریت: دکتر متین

آدرس: دزفول، کوی آزادگان، دانشگاه آزاد اسلامی



تلفن دفتر مرکزی:

۰۶۴-۱۶۲۶۲۰۹۰

نشانی سایت:

www.iaud.ac.ir

چینی بهداشتی آرمیتاژ

مدیر عامل: مهندس محمدحسین وکیلی مقدم

آدرس دفتر مرکزی: تهران، میدان ونک، خیابان ونک، پاساز تک،

طبقه دوم، آپارتمان شماره ۷

تلفن دفتر مرکزی: ۰۲۱-۸۸۷۹۰۲۲۷

نشانی سایت: <http://www.armitagesw.com>



چینی بهداشتی



شاپیراد تجارت پارس

مدیر عامل: مهندس محمدرضا

آجرلو

آدرس: تهران، خیابان آفریقا،

خیابان فرزان غربی، پلاک ۸۰، واحد ۱۱

تلفن: ۰۲۱-۸۸۶۴۸۳۱۰

نشانی سایت: www.shyrad.com



دانشگاه آزاد اسلامی واحد علوم و

تحقیقات خوزستان

مدیریت: دکتر لک

آدرس: اهواز، سهراه فرودگاه، دانشگاه آزاد

واحد علوم و تحقیقات

تلفن دفتر مرکزی: ۰۶۱-۳۴۴۵۷۱۷۴

نشانی سایت: www.khouzestan.srbiau.ac.ir



کاشی گرانیت و کاشی لعاب زهره

مدیر عامل: مهندس خیاط

آدرس دفتر مرکزی: خراسان رضوی، کاشمر، کیلومتر ۱۲ محور

کاشمر به مشهد، جنب

شهرک صنعتی، شرکت کاشی

زهره کاشمر

تلفن دفتر مرکزی: ۰۵۱-۵۵۳۸۳۵۹۱

نشانی سایت: www.zohretille.com



کاشی کسری

مدیر عامل: مهندس روشنفکر

آدرس دفتر مرکزی: تهران، خیابان آفریقا،

خیابان ناهید شرقی، پلاک ۱۲، طبقه ۳ و ۵

تلفن دفتر مرکزی: ۰۲۱-۲۲۰۱۰۱۴۰

نشانی سایت:

www.kasratileco.com

فرآورده‌های نسوز آذر

مدیر عامل: مهندس سلیمانی فرد

آدرس دفتر مرکزی: تهران، خیابان ولیعصر، بالاتر از پارک ساعی،

کوچه ساعی ۲، روبروی مدرسه پسرانه هاتف، پلاک ۳۱، واحد منطقه ۱

تلفن دفتر مرکزی:

۰۲۱-۸۸۸۲۰۹۵

نشانی سایت:

www.azarref.ir



اعضاي حقوقی انجمن سراميك ايران

آریا تهران سرام

مدیر عامل: محمد علی سلیمانی

آدرس دفتر مرکзи: تهران، خیابان ملاصدرا، خیابان شیرازی جنوبی، خیابان اتحاد، پلاک ۴، واحد ۱

تلفن دفتر مرکزی: ۰۲۱-۸۸۰۵۹۶۱۰



آپادانا سرام

مدیر عامل: دکتر صباغی

آدرس دفتر مرکزی: تهران، خیابان ملاصدرا، روبروی بیمارستان بقیه‌الله، کوچه گلداشت، گلداشت یکم، پلاک ۸

تلفن دفتر مرکزی: ۰۲۱-۸۴۳۱۰۰۰۰

نشانی سایت: www.apadanaceram.com

ایران آیمدی

مدیر عامل: مهندس مطلب لو



آدرس دفتر مرکزی: تهران، خیابان شیراز شمالی، نیش کوچه شهریار، ساختمان ۳۳، واحد ۱۲

تلفن دفتر مرکزی: ۰۲۱-۸۸۰۴۷۰۷۱

نشانی سایت: www.imdco.net

اشکان پارت آفرین

مدیر عامل: دکتر غفاری



آدرس دفتر مرکزی: کرج، گلشهر ویلا رودکی غربی، پلاک ۲۷۱

تلفن دفتر مرکزی: ۰۲۶۳-۶۶۷۰۸۳۶



پارس کائولون

مدیر عامل: مهندس صمدی

آدرس: طبس، نرسیده به جو خواه، معدن کائولون پارس

تلفن: ۰۲۱-۸۸۰۷۵۵۷۳

نشانی سایت: www.parskaolin.com

پاتروشان نیکتا



مدیر عامل: مهندس حسام ادیب

آدرس: تهران، خیابان ملاصدرا، پلاک ۱۶۲، طبقه چهارم

تلفن: ۰۲۱-۸۸۲۱۰۸۹۰

نشانی سایت: www.patron.group

پژوهشگاه مواد و انرژی

مدیریت: دکتر صالحی



آدرس دفتر مرکزی: تهران، میدان آزادی، انتهاي خيابان الوند، کوچه جوين، پلاک ۱۶

تلفن دفتر مرکزی: ۰۲۱-۸۸۷۷۱۶۲۶-۲۷

نشانی سایت: www.merc.ac.ir

پژوهشگاه علوم و فناوری رنج

مدیریت: دکتر رنجبر



آدرس دفتر مرکزی: بزرگراه صیاد شیرازی شمالی، خروجی لویزان، میدان حسین‌آباد، خیابان

وفامنش، نیش کوچه شمس، پلاک ۵۹

تلفن: ۰۲۱-۲۲۹۴۴۱۸۴

نشانی سایت: www.icrc.ac.ir



پيشگامان سراميك برسام

مدیر عامل: مهندس سرجهاني

آدرس دفتر مرکزی: شيراز، بلوار اميركبير برج صنعت ورودي ۳، طبقه ۴، واحد ۴۱۷

تلفن دفتر مرکزی: ۰۷۱-۳۸۳۸۵۴۴۴

نشانی سایت: www.barsamceram.com



پيشرو ذوب آتور

مدیر عامل: مهندس ملایی داریانی

آدرس دفتر مرکزی: تهران، خیابان احمد قصیر، کوچه یکم، پلاک ۶، واحد ۱۰

تلفن دفتر مرکزی: ۰۲۱-۸۸۵۴۹۸۸۴

نشانی سایت: www.pishrozob.com



SAMAN TILE

نashani سایت: www.samantile.com

تهیه و تولید خاک نسوز استقلال آباده

مدیر عامل: مهندس زارعی

آدرس دفتر مرکزی: آباده، چهارراه جوادیه

تلفن دفتر مرکزی: ۰۷۱-۴۴۳۳۷۹۹۷

تلفن دفتر مرکزی: ۰۲۱-۸۸۵۸۸۲۱



آدرس دفتر مرکزی: تهران، خیابان آفتاب، برج آفتاب، طبقه اول اداری، واحد ۱

مدیر عامل: مهندس سلطانی

آدرس دفتر مرکزی: تهران، خیابان ونک، خیابان آفتاب، برج آفتاب، طبقه اول اداری، واحد ۱

تلفن: ۰۲۱-۸۸۶۱۲۹۳۹

نashani سایت: www.terme.ir

تولیدی و مهندسی نسوزین

مدیر عامل: مهندس زرعیان

آدرس دفتر مرکزی: تهران، میدان آزادی، خیابان بیهقی، خیابان دوازدهم

شرقی، پلاک ۲، طبقه ۳، شماره ۶

تلفن دفتر مرکزی: ۰۲۱-۸۸۵۰۴۵۹۱

نashani سایت: www.nasoozin.com

چینی اصفهان

مدیر عامل: مهندس جهانبانی



آدرس: اصفهان، جاده دولت آباد، خیابان بهارستان، اولین فرعی سمت

چپ، خیابان خبوشانی

تلفن دفتر مرکزی:

۰۳۱-۴۵۸۳۶۲۰۰

تهیه و تولید مواد اولیه آریا کانی اسپادانا

مدیر عامل: دکتر پویامهر

آدرس دفتر مرکزی: اصفهان، خیابان ملاصدرا، خیابان پانزدهم، پلاک ۳۴، واحد ۳

تلفن دفتر مرکزی: ۰۳۱۳-۶۶۱۷۵۳۷-۸

چینی زرین ایران

مدیر عامل: مهندس قصاعی

آدرس دفتر مرکزی: تهران، میدان ونک،

خیابان ونک، ساختمان شماره ۲۵

تلفن دفتر مرکزی: ۰۲۱-۸۸۷۰۰۴۴

نashani سایت: www.zariniran.com



چینی بهداشتی اراس

مدیر عامل: مهندس حسین پور

آدرس دفتر مرکزی: تهران، خیابان ملاصدرا، خیابان شیخ بهایی،

میدان شیخ بهایی، برج صدف، طبقه ۴، واحد ۶۴

تلفن دفتر مرکزی: ۰۲۱-۸۸۶۰۶۵۰۸

نashani سایت: www.arasind.com



شرکت صنایع
خاک چینی ایران

خاک چینی ایران

مدیر عامل: مهندس نوروزی

آدرس دفتر مرکزی: خیابان ولی‌عصر، نرسیده به پل پارک وی، کوچه خاکزاد، پلاک ۲۱، طبقه اول

تلفن دفتر مرکزی: ۰۲۱-۲۲۰۱۸۱۰۷



دانشکده فنی و مهندسی گروه مهندسی مواد

مدیریت: دکتر علیرضا سوری

آدرس: دانشگاه ملایر، دانشکده فنی و مهندسی، گروه مهندسی مواد

تلفن: ۰۸۱-۳۲۳۵۵۴۶۵

نashani سایت: www.malayeru.ac.ir



رنگدانه‌های سرامیکی گهرفام

مدیر عامل: مهندس مهینی

آدرس دفتر مرکزی: یزد، شهرک صنعتی خضرآباد، بلوار اقامیه، خیابان زیتون

تلفن دفتر مرکزی: ۰۳۵۳-۷۷۷۲۴۴۸



درسا سرام ایستاتیس

مدیر عامل: مهندس ندافیان

آدرس دفتر مرکزی: سعادت آباد، بلوار فرهنگ، نبش خیابان ۲۰ شرقی، پلاک ۲، طبقه ۴ شمالی

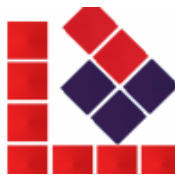
تلفن: ۰۲۱-۲۲۳۸۳۱۶۰

نashani سایت: www.Doramic.com



Sara Loab Maybod.co

سارا لاب مید
مدیر عامل: مهندس جعفری پور
مید
آدرس دفتر مرکزی: مید، شهرک
صنعتی جهان آباد، بلوار نسترن، انتهای
بلوار سمت راست
تلفن دفتر مرکزی: ۰۳۵۲-۷۷۷۷۲۲۲۸
[نشانی سایت:](http://www.saralaab.com)



سارا کاشی سپاهان
مدیر عامل: مهندس مجذون
آدرس دفتر مرکزی: اصفهان، خیابان
سجاد، ابتدای خیابان ارباب، جنب بانک
صادرات، مجتمع کسری، واحد ۱
تلفن دفتر مرکزی: ۰۳۱۳-۶۶۲۷۱۱۷
[نشانی سایت:](http://www.saratile.com)



سرامیک های صنعتی اردکان
مدیر عامل: مهندس برهانی
آدرس دفتر مرکزی: اصفهان،
میدان آزادی، ابتدای خیابان
سعادت آباد، پلاک ۱، طبقه ۴، واحد ۸
تلفن دفتر مرکزی: ۰۳۱۳-۶۶۸۷۷۷۷
[نشانی سایت:](http://www.aic.ir)



ساقار و قطعات نسوز
مدیر عامل: مهندس معرفتی
آدرس: مرند، کیلومتر ۵ جاده قدیم جلفا،
شهرک صنعتی سرامیکی
تلفن: ۰۴۱-۴۲۲۲۳۸۲
[نشانی سایت:](http://www.saggarmfg.com)



شرکت صنایع سرام آرا
مدیر عامل: مهندس آهنی ها
آدرس دفتر مرکزی: تهران،
خیابان سپهبد قرنی، بالاتر از چهارراه طالقانی، خیابان شاداب غربی،
پلاک ۳۳، طبقه ۶
تلفن دفتر مرکزی: ۰۲۱-۸۸۸۹۱۰۴۵
[نشانی سایت:](http://www.ceramara.ir)

شرکت بین المللی سارانگ تدارک
مدیر عامل: مهندس اتحادی

آدرس دفتر مرکزی: تهران، خیابان ظفر، پلاک ۱۷۸، طبقه ۱،
واحد ۴
تلفن دفتر مرکزی: ۰۲۱-۲۲۶۵۱۸۰
[نشانی سایت:](http://www.sis-company.com)



شرکت مهندسی بازرگانی درداران سریر
مدیر عامل: مهندس طهماسبی
آدرس دفتر مرکزی: تهران،
خیابان ولیعصر، خیابان فتحی شقاوی، میدان سلماس، پلاک ۳، طبقه ۳
تلفن دفتر مرکزی: ۰۲۱-۸۸۳۳۷۳۶۶-۸
[نشانی سایت:](http://www.sarirco.com)



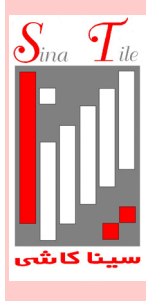
شرکت فیبرونا
مدیر عامل: مهندس شاهپوری
آدرس دفتر مرکزی: تهران،
خیابان میرزا شیرازی، نیش استاد
مطهری، شماره ۲۱۱
تلفن دفتر مرکزی: ۰۲۱-۸۸۷۲۳۳۵۵
[نشانی سایت:](http://www.fiberona.com)



صناعی کاشی نیلوفر
مدیر عامل: مهندس نوربخش
آدرس دفتر مرکزی: مشهد، بلوار
فردوسي، مجتمع تجاری اسکان، طبقه ۱،
واحد ۲
تلفن دفتر مرکزی: ۰۵۱۳-۷۶۲۳۳۳۶
[نشانی سایت:](http://www.nilooftatile.com)



صناعی کاشی زرین خراسان
مدیر عامل: مهندس عمید متشر
آدرس دفتر مرکزی: تهران، خیابان
مالصدرا، خیابان شیراز جنوبی، پلاک ۹۹،
طبقه اول
تلفن دفتر مرکزی: ۰۲۱-۸۸۰۶۷۶۸۱
[نشانی سایت:](http://www.zarrintile.com)



صنایع کاشی و سرامیک سینا

مدیر عامل: مهندس عزیزان

آدرس دفتر مرکزی: تهران، بلوار میرداماد، بعد از
میدان مادر، پلاک ۲۳

تلفن دفتر مرکزی: ۰۲۱-۲۲۷۷۳۰۱

نشانی سایت: www.sinatile.ir



صنایع کاشی و سرامیک الوند

مدیر عامل: مهندس هوشیاری

آدرس دفتر مرکزی: تهران، خیابان آفریقا، بالاتر از چهارراه اسفندیار، کوچه شهید سعیدی، پلاک ۲۳

تلفن دفتر مرکزی: ۰۲۱-۵۷۸۱۱

نشانی سایت: www.alvancer.com



فرآوردهای نسوز آذر شهاب تبریز

مدیر عامل: مهندس صدیقی

آدرس دفتر مرکزی: تبریز، خیابان راه آهن، ایستگاه سرچشمه،
مجتمع تجاری میلاد، طبقه ۳، آذربایجان شرقی

واحد ۳۰۵

تلفن دفتر مرکزی: ۰۴۱-۳۵۵۱۸۴۴۱

نشانی سایت: www.azarshahab.com



صنعت سرام

مدیر عامل: مهندس غفاری

آدرس دفتر مرکزی: تهران، خیابان فرجام، بین چهارراه خاور و ولی‌عصر، پلاک ۱۱

واحد ۶۰

تلفن دفتر مرکزی: ۰۲۱-۷۷۷۲۳۵۸۹

فرآوردهای نسوز پارس

مدیر عامل: مهندس ابریشمی

آدرس دفتر مرکزی: تهران، میدان ونک، خیابان ونک، برج آبین
ونک، طبقه ۷، واحد ۷۱

تلفن دفتر مرکزی: ۰۲۱-۸۸۷۸۶۶۹۲

نشانی سایت: www.pars-ref.ir



فرآوردهای نسوز ایران

مدیر عامل: مهندس لقمانی

آدرس دفتر مرکزی: تهران، خیابان بهار شیراز، خیابان
سلیمان خاطر، بعد از ملایری پور، پلاک ۵۱، واحد ۳

تلفن دفتر مرکزی: ۰۲۱-۸۸۳۴۳۴۰۸

نشانی سایت: www.irefco.ir



کاشی ایرانا

مدیر عامل: مهندس حاصل طلب

آدرس دفتر مرکزی: تهران، کیلومتر ۱۳

جاده مخصوص کرج، روپرتو ایران خودرو

تلفن دفتر مرکزی: ۰۲۱-۴۴۹۰۵۰۰۱-۵

نشانی سایت: www.irana-tile.com



کائولین و خاک‌های نسوز

خراسان

مدیر عامل: مهندس زیارت نیا

آدرس دفتر مرکزی: مشهد، بلوار فلسطین، فلسطین، پلاک ۲۸

تلفن دفتر مرکزی: ۰۵۱۳-۷۶۷۳۰۳۴۵

نشانی سایت: www.kaolin-co.com



کاشی ستاره مبید

مدیر عامل: مهندس خالقیه

آدرس دفتر مرکزی: تهران، خیابان

مالصدرا، شیزار جنوبی، گرسار غربی، کوچه بهار، پلاک ۲۶، طبقه ۴، واحد ۷

تلفن دفتر مرکزی: ۰۲۱-۸۰۴۴۷۴۴

نشانی سایت: www.setarehtile.com



کاشی تیما

مدیر عامل: دکتر ناصری

آدرس دفتر مرکزی: مشهد، شهرک صنعتی

توضیح: فاز ۲، اندیشه ۲، انتهای داش ۲

تلفن دفتر مرکزی: ۰۵۱۳-۵۴۱۳۹۹۰

نشانی سایت: www.tima-tile.com



کاشی فیروزه مشهد

مدیر عامل: مهندس سقاء رضوی

آدرس دفتر مرکزی: مشهد، بلوار سجاد، خیابان بیستون ۲، مجتمع

تجاری طوس، طبقه ۵ و ۶

صندوق پستی: ۹۱۳۷۵-۴۴۳۷

تلفن دفتر مرکزی: ۰۵۱۳-۷۶۷۰۰۰۱

نشانی سایت: www.firoozehtile.com



کاشی طوس

مدیر عامل: مهندس توکلی فرد

آدرس دفتر مرکزی: مشهد

خیابان ستاباد، جنب داروخانه ستاباد، ساختمان ۴۶۵، طبقه ۳

تلفن دفتر مرکزی: ۰۵۱۳-۸۴۱۶۴۱۸

نشانی سایت: www.toostileco.com



کاشی مرجان

مدیر عامل: مهندس معصومی

آدرس دفتر مرکزی: اصفهان، خیابان

چهار باغ بالا، کوچه کاویان، پلاک ۴۱

تلفن دفتر مرکزی: ۰۳۱۳-۶۲۴۸۰۱۹

نشانی سایت: www.marjantileco.com



کاشی کرد

مدیر عامل: مهندس چنگیزی

آدرس دفتر مرکزی: تهران، شهروردی شمالی، هویزه شرقی، پلاک ۳۴

تلفن دفتر مرکزی: ۰۲۱-۸۳۵۲۳۳۳۳

نشانی سایت: www.cordgroup.com



کاشی نواوران

مدیر عامل: مهندس طباطبایی

آدرس دفتر مرکزی: یزد، میبد،

شهرک صنعتی جهان آباد، بلوار مریم

تلفن: ۰۳۵۳-۲۳۷۲۱۹۳

نشانی سایت: www.noavaranceramics.ir



کاشی مسعود ایران

مدیر عامل: مهندس فرشادپور

آدرس دفتر مرکزی: تهران، خیابان آفریقای شمالی، ساختمان

مرکز تجارت ایران، طبقه ۹، واحد ۶

تلفن دفتر مرکزی: ۰۲۱-۲۶۲۱۲۶۳۵-۳۷

نشانی سایت: www.masoudtile.com



گلسار فارس

مدیر عامل: مهندس فرجمند

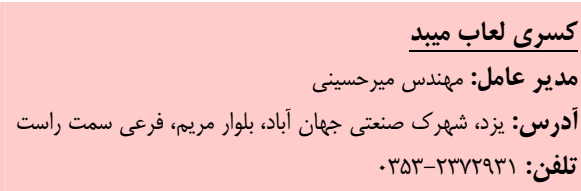
آدرس دفتر مرکزی: تهران، خیابان کریم خان

زند، خیابان سپهبد قرنی، خیابان برادران شاداب،

پلاک ۳۳، طبقه ۲

تلفن دفتر مرکزی: ۰۲۱-۸۸۹۰۰۸۰۴۴

نشانی سایت: www.golsarfars.com

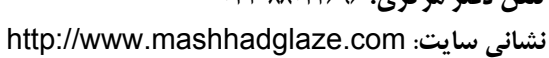


کسری لعب مبید

مدیر عامل: مهندس میرحسینی

آدرس: یزد، شهرک صنعتی جهان آباد، بلوار مریم، فرعی سمت راست

تلفن: ۰۳۵۳-۲۳۷۲۹۳۱



لعاد مشهد

مدیر عامل: دکتر یوسفی

آدرس دفتر مرکزی: تهران، خیابان ملاصدرا،

خیابان شیراز جنوبی، کوچه اتحاد، پلاک ۱۴، طبقه ۲

تلفن دفتر مرکزی: ۰۲۱-۸۸۰۴۳۶۹۶

نشانی سایت: <http://www.mashhadglaze.com>



مجتمع تولید چینی بهداشتی نوین سرام

مدیر عامل: مهندس حقی

آدرس دفتر مرکزی: مشهد، چهارراه

ابوالطالب، مجتمع برجهیں، طبقه دوم، واحد ۳

تلفن دفتر مرکزی: ۰۵۱-۱۷۲۷۶۰۳۳

نشانی سایت: www.novinceram.com



لعاپریان

مدیر عامل: دکتر نعمتی

آدرس دفتر مرکزی: تهران، میدان ونک، خیابان

گاندی شمالی، کوی شهید صانعی، شماره ۲۵

تلفن دفتر مرکزی: ۰۲۱-۸۸۷۹۵۱۴۱-۲

نشانی سایت: www.loabiran.com



مجتمع صنعتی اردکان (چینی درز)

مدیر عامل: مهندس ضرایبیه

آدرس دفتر مرکزی: یزد، چهارراه یزد

با، ساختمان یزدباف، طبقه ۲

تلفن دفتر مرکزی: ۰۳۵۳-۵۲۲۹۷۶۰

نشانی سایت: www.chinirose.com



مجتمع تولیدی چینی مقصود

مدیر عامل: مهندس ایمانی

آدرس دفتر مرکزی: تهران، خیابان

ولیعصر، بالاتر از پارک ساعی، نبش

کوچه ۳۴، پلاک ۱۱۵۹، طبقه ۲

تلفن دفتر مرکزی: ۰۲۱-۸۸۸۶۹۸۵

نشانی سایت: www.maghsoudporcelain.com



مفید شیشه

مدیر عامل: مهندس موسوی کریمی
آدرس دفتر مرکزی: تهران، خیابان
ولیعصر، پایین تر از میدان ونک، شماره
۲۵۴۰، طبقه ۷

تلفن دفتر مرکزی: ۰۲۱-۸۸۶۶۴۸۱۱

نشانی سایت: www.mofidglass.com



معدنی و صنعتی سوراوجین عقیق

مدیر عامل: مهندس معصومی
آدرس دفتر مرکزی: تهران، سعادت
آباد، خیابان علامه شمالي، انتهای کوچه
اقبال ملی، پلاک ۱، واحد ۲

تلفن دفتر مرکزی: ۰۲۱-۲۲۰۸۱۳۷۳

نشانی سایت: www.iranclay.com

مهقام جام (سهامی خاص)

مدیر عامل: مهندس دهقان

آدرس دفتر مرکزی: تهران، میدان آزادی، خیابان احمد قصیر،
چهاردهم غربی، پلاک ۲۶، طبقه ۳
تلفن دفتر مرکزی: ۰۲۱-۸۸۵۱۵۰۱۵



شرکت مقره سازی ایران
«مانه»
Iran Insulator Co.

مقره سازی ایران

مدیر عامل: دکتر کورنگی

آدرس دفتر مرکزی: تهران،
خیابان بهار جنوبی، کوچه نیلوفر،
شماره ۴

تلفن دفتر مرکزی: ۰۲۱-۷۷۵۲۸۶۴۲

نشانی سایت: www.iraninsulator.com

تقویم رویدادهای سلامیک

هفتمین کنفرانس بین‌المللی نانوساختارها
پژوهشکده علوم و فناوری نانو، دانشگاه صنعتی شریف
۱۳۹۶ اسفند ۱۰-۹
icns7.sharif.ir

هفتمین کنگره بین‌المللی رنگ و پوشش
دانشکده مهندسی پلیمر و رنگ، دانشگاه صنعتی امیرکبیر
۱۳۹۶ آذر ۳۰-۲۸
ICCC2017@aut.ac.ir

ششمین کنفرانس بین‌المللی مواد فوق ریزدانه و نانوساختار
جزیره کیش
۱۳۹۶ آبان ۲۲-۲۱
ufgnsm17@ut.ac.ir

چهاردهمین همایش علمی دانشجویی مهندسی مواد و متالورژی ایران
دانشگاه شهر کرد
۱۳۹۶ مهر ۱۲-۱۱
cmat@iromes.ir

ششمین کنفرانس بین‌المللی مهندسی مواد و متالورژی
هتل المپیک، تهران
۱۳۹۶ آبان ۷-۶
www.imatconf.com

سومین کنفرانس ملی مهندسی مواد، مهندسی شیمی و ایمنی صنعتی
مجتمع آموزش عالی فنی و مهندسی اسفراین
۱۳۹۶ مهر ۲۰-۱۹
conf.isc.gov.ir/mcis96

برگزاری نخستین همایش بین‌المللی نانوالیاف ایران
دانشگاه علوم پزشکی تهران
۱۳۹۶ مهر ۳۰-۲۹
info@icnanofiber.com

اولین کنفرانس بین‌المللی مکانیک مواد و تجهیزات پیشرفته

دانشگاه شهید چمران اهواز

۱۳۹۶ بهمن ۱۱

<http://cmme2018.ir/>

12th Conference for Young Scientists in Ceramics

University of Novi Sad, Serbia

October, 18-21 2017

<http://www.tf.uns.ac.rs/sm/>

6th International Symposium on Advanced Ceramics and Technology for Sustainable Energy Applications toward a Low Carbon Society (ACTSEA 2017)

Kaohsiung, Taiwan

November, 5-8 2017

<http://actsea2017.web2.ncku.edu.tw>

PACRIM13 the 13th Pacific Rim conference of Ceramic Societies

Okinawa Convention Center, Japan

October, 27-31 2017

<http://www.ceramic.or.jp/pacrim13/>

Ceramics China

Guangzhou, China

30 May-02 Jun 2017

Info@ceramicschina.net

42nd International Conference and Expo on Advanced Ceramics and Composites (ICACC,18)

Daytona Beach, Fla. USA

January, 21-26 2018

www.ceramics.org/icacc2018

4th Ceramics Expo

Cleveland, Ohio USA

May, 1-3 2018

www.ceramicsexpousa.com

12th International Conference on Ceramic Materials and Components for Energy and Environmental Applications (CMCEE2018)

Singapore

July, 22-27 2018

www.ceramics.org/meetings/acers-meetings

International Conference on Injection Molding of Metals, Ceramics and Carbides

Irvine, CA, United States

May, 5-7 2018

<http://www.mim2018.org>

